

## طراحی، ساخت و آزمایش متمرکزکننده نمایی به منظور اندازه‌گیری ویژگی‌های فرacoتوی محصولات کشاورزی

رسول معمار دستجردی<sup>۱</sup> - سعید مینایی<sup>۲\*</sup> - محمدهادی خوش تقاضا<sup>۳</sup>

تاریخ دریافت: ۹۰/۸/۱۸

تاریخ پذیرش: ۹۱/۱/۲۸

### چکیده

آزمون فرacoتوی یکی از روش‌هایی است که از آن می‌توان برای ارزیابی کیفیت محصولات کشاورزی استفاده کرد. تراکندهای مورد استفاده در آزمون‌های غیر مخرب فرacoتوی، صنعتی هستند و از آنجایی که محصولات کشاورزی تضعیف کننده شدید امواج فرacoتوی می‌باشند، نمی‌توان از این تراکندها در کشاورزی استفاده کرد و باید تعییراتی در آن‌ها ایجاد نمود. این کار با استفاده از هورن یا متمرکزکننده انجام می‌گیرد که وظیفه‌ی آن تمرکز انرژی در سطح کوچک و در فاصله‌ی معینی از تراکنده است. در این مقاله طراحی هورن نمایی با دو روش نظری و رایانه‌ای انجام شد و سپس ساخت و آزمایش آن برای اندازه‌گیری ویژگی‌های فرacoتوی محصولات کشاورزی ارائه شد. بررسی‌های اولیه نشان داد که می‌توان با استفاده از روش رایانه‌ای هورن‌های بسیار پیچیده را با دقت بالایی طراحی کرد. در تحلیل تأثیر تعداد المان‌ها بر بسامد طبیعی هورن معلوم شد که در تعداد المان‌های کم، تحلیل با خطأ همراه است و تا جایی که بسامد طبیعی هورن تقریباً ثابت شود باید تعداد المان‌ها را زیاد کرد که در این تحقیق تعداد المان لازم ۳۰۰ در نظر گرفته شد. همچنین مقایسه بین روش نظری و رایانه‌ای نشان داد که روش رایانه‌ای خطای بسیار کمی (کمتر از یک درصد) دارد و نیاز به حل معادلات بسیار پیچیده ندارد. طبق بررسی‌های آماری، اثر ضخامت محصول (سیب‌زمینی و هویج) بر سرعت امواج فرacoتوی در کاوشگر دارای هورن معنی‌دار نبود. در حالی که در کاوشگر بدون هورن با تعییر ضخامت نمونه، سرعت به طور معنی‌داری تعییر کرد که مطلوب نیست. بنابراین می‌توان گفت که تراکنده دارای هورن برای انجام آزمون‌های فرacoتوی مناسب‌تر است.

**واژه‌های کلیدی:** آزمون غیرمخرب، طراحی رایانه‌ای، فرacoتوی، هورن نمایی

### مقدمه

پژوهشکار و صنعت، برای اندازه‌گیری ویژگی‌های میوه مناسب نیستند؛ چون میوه‌ها دارای بافتی غیر همگن بوده و همچنین تضعیف کننده بسیار قوی امواج با بسامد بالا هستند. افزون بر آن اندازه‌گیری ویژگی‌های فرacoتوی در بسامدهای کم بسیار مشکل است. از این رو در برخی تحقیقات نیاز به برش میوه به طور یکنواخت برای تماس آن با سطح تراکنده است (Zaki Dizaji *et al.*, 2009). آزمون فرacoتوی در محدوده‌ی بسامدی ۲۰ kHz تا ۱۰۰ MHz صورت می‌گیرد. برای آزمون فلزات از بسامد ۲۰ MHz تا ۵۰۰ kHz استفاده می‌شود که این بازه برای محصولات کشاورزی مناسب نیست. تحقیقات نشان می‌دهد محدوده‌ی ۲۰ kHz تا ۱ MHz ۱ محدوده‌ای مناسب برای مواد کشاورزی می‌باشد (Sarker and Wolfe, 1983; Mizrach *et al.*, 1989; Kim *et al.*, 2004).

نخستین تلاش‌ها در دهه ۱۹۸۰ در این زمینه انجام گرفت که

در طی سال‌های اخیر توجه بسیاری از پژوهشگران جهان به تعیین کیفیت محصولات کشاورزی با روش‌های غیرمخرب معطوف شده است که محور اصلی تحقیقات پس از برداشت میوه‌ها و محصولات زراعی شده و حجم تحقیقات در این زمینه به صورت نمایی رو به افزایش است (Butz *et al.*, 2005). روش فرacoتوی روشنی است که به طور وسیعی در تحقیقات پژوهشکاری و مواد مهندسی مورد استفاده قرار گرفته است، اما پژوهش در زمینه بکارگیری آن برای تعیین رسیدگی و کیفیت محصولات کشاورزی بسیار اندک می‌باشد (Hedric *et al.*, 2005).

۱، ۲ و ۳- به ترتیب دانشجوی دکتری و دانشیاران گروه مکانیک ماشین‌های کشاورزی دانشکده کشاورزی، دانشگاه تربیت مدرس تهران  
(Email: minaee@modares.ac.ir) - نویسنده مسئول:

مدل‌های با هندسه پیچیده را امکان‌پذیر می‌سازد که با استفاده از روش حل دقیق غالباً غیر ممکن است. روش تجربی در طراحی هورن هنگامی به کار می‌رود که دستگاه فراصوت مورد استفاده قابلیت تنظیم و تولید بسامدها و توان‌های مختلف را داشته باشد. بسامد ارتعاش از آنالیز مodal و با استفاده از روش‌های لیزری و شتاب سنج قابل اندازه‌گیری است. مهم‌ترین مطلب در طراحی هورن، تعیین مود ارتعاشی (طولی، خمی و پیچشی) است که هورن می‌خواهد در آن ارتعاش کند. افزون بر آن، بسامد طبیعی، اندازه بزرگ‌ترین قطر، طول، جنس و شکل پروفیل نیز باید در طراحی هورن در نظر گرفته شود. برای ارزیابی پارامترهای فراصوتی در روش عبوری مودهای طولی هورن مهم می‌باشد (Julian, 1965). در حقیقت مود طولی هورن باید با بسامد مرکزی تراکنده یکسان باشد تا بتوان پس از نصب روی تراکنده موج فراصوتی را از خود عبور دهد. در این پژوهش ابتدا روش تحلیل المان محدود به عنوان روشی مناسب انتخاب گردید، سپس هورن نمایی با روش نظری طراحی شده و مودهای طولی آن با روش اجزاء محدود استخراج شد. همچنین پس از ساخت، آزمونی روی محصولات با کاوشگرهای دارای هورن و بدون هورن به منظور مقایسه آن‌ها در اندازه‌گیری زمان پرواز و سرعت امواج عوری، انجام شد.

### انتخاب روش اجزاء محدود

برای اطمینان از درستی تحلیل‌ها در مورد شکل مودهای ارتعاشی، آنالیز مodal روی هورن ساخته شده توسط ژاو و همکاران انجام گرفت. این پژوهشگران برای یافتن مودهای ارتعاشی، از روش تجربی استفاده کردند (Zhou et al., 2002). آنها از هورن مخروطی با قطر ابتدایی  $30\text{ mm}$  و قطر انتهایی  $15\text{ mm}$  و طول  $150\text{ mm}$  در تحقیق‌شان استفاده کردند. هورن مورد نظر بعد از مدل‌سازی، مش‌بندی شده و آنالیز مodal روی آن انجام گرفت. جنس هورن مطابق با مرجع یادشده، فولاد در نظر گرفته شد. ثابت‌های ماده عبارتند از: چگالی  $\rho = 7880 \text{ kgm}^{-3}$ ، مدول الاستیستیته  $E = 2 \times 10^{11} \text{ Pa}$  و ضریب پواسون  $\nu = 0.33$ .

برای تحلیل مodal در این قسمت از نرم‌افزار المان محدود ANSYS12 استفاده شد. در هر تحلیل FEM، مراحل انتخاب المان، مدل‌سازی هندسی، تعریف خواص ماده، شبکه بنده، شرایط مرزی، انتخاب نوع تحلیل و انتخاب حل گر انجام می‌گیرد. برای پیدا کردن مودهای طولی می‌توان از مدل‌های دو بعدی و سه بعدی استفاده کرد که در پژوهش حاضر، هر دو مورد بررسی قرار گرفت. از المان 92 TETRA با شکل SOLID برای تحلیل مodal مدل سه بعدی و المان PLANE42 برای مدل دو بعدی به کار برده شد. همچنین حل گر Lanczos Block User's Guide مورد استفاده قرار گرفت.

مشکلاتی در نفوذ امواج فراصوت در میوه و سبزی‌ها را آشکار ساخت دیگری نشان داده شد که چنانچه از بسامدهای در محدوده نیم تا یک مگاهرتز برای سیب‌زمینی و سیب استفاده شود، تضعیف بسیار زیادی رخ می‌دهد (Sarker and Wolfe, 1983). میزراک و همکاران در سال ۱۹۸۹ ابزاری فراصوت با بسامد کم و توان بالا ساختند و از آن برای اندازه‌گیری ویژگی‌های فراصوت (ضریب تضعیف و سرعت امواج فراصوت) بخشی از بافت میوه‌ای آوکادو استفاده کردند (Mizrach et al., 1989). بر اساس گزارش‌های ذکری دیزجی و همکاران، مشخص شد که برای اندازه‌گیری ویژگی‌های بسیاری از میوه‌ها نیاز به برداش زدن آن‌ها می‌باشد (Zaki Dizaji et al., 2009). بنابراین باید تراکندهای نوع صنعتی موجود به‌گونه‌ای تغییر داده شود که قابلیت استفاده برای میوه‌ها به صورت غیرمکرر را داشته باشند.

و اگرایی پرتو فراصوت باعث کاهش شدت صوت (انرژی بر واحد زمان) می‌گردد. همچنین با افزایش فاصله تراکنده، و اگرایی پرتو افزایش می‌یابد. در حقیقت و اگرایی باعث کاهش شدت پرتوهای انتقالی و انعکاسی می‌گردد. پرتو فراصوت را می‌توان متمنکر ساخت. این کار با تمرکز انرژی در سطح کوچک و در فاصله‌ی معینی از تراکنده انجام می‌گیرد. پرتو متمنکر شده در مقایسه با پرتو متمنکر نشده، قدرت تشخیصی بالاتری دارد. هورن یا متمنکر کننده، واسط میان تراکنده و جسم مورد نظر است. هورن‌ها در صنعت برای دامنه‌ی ارتعاشات ابزار و تطابق مرتش کننده با بار صوتی است. در پژوهشی نیز از متمنکر ساختن برای بهبود تکنیک پیزیزی جانبی تراکنده استفاده می‌شود. این کار با استفاده از عدسی‌های صوتی میسر می‌گردد که کاری شبیه به عدسی‌های نوری انجام می‌دهند. عدسی‌های صوتی از پلی استیرن، نایلون یا آلومینیوم ساخته می‌شوند و در جلوی کریستال پیزوکتریک نصب می‌گردند (Hedrick et al., 2005). در این مقاله طراحی هورن نمایی، ساخت و آزمایش آن برای اندازه‌گیری خواص فراصوتی محصولات کشاورزی مورد بحث قرار می‌گیرد.

## مواد و روش‌ها

### تحقیق نظری

به‌طور کلی برای طراحی هورن، سه روش حل تحلیلی دقیق، حل عددی و روش تجربی وجود دارد (Graham et al., 1999). در حل دقیق همانطور که از نام آن پیداست، به محاسبه‌ی دقیق پارامتری معادله دیفرانسیلی حاکم بر هورن پرداخته می‌شود. در حالی که در روش عددی، حل تقریبی و عددی این مسائل مورد نظر است. روش اجزاء محدود نیز یکی از روش‌های حل عددی می‌باشد که تحلیل

طولی kHz ۳۳/۷۶۹ است. با توجه به شکل ۱ اولين مود طولي هورن مخروطي توسيط ژاو و همكاران ۱۸/۱ kHz گزارش داده شده است که نشان مي دهد، استفاده از اين روش نيز در مقاييسه با روش تجربى خطای کمي دارد و در مقاييسه با مدل سه بعدی ميزان محاسبات آن نيز كمتر است. با توجه به اين که برای طراحی هورن مخصوص ميوه نياز به مود طولي است، در طراحی هورن مورد نظر از اين روش استفاده شد.

#### طراحی نظری هورن نمایی

برای هورن نمایی ناحیه تغییرات به صورت زیر است:

$$A_x = A_0 e^{-\frac{x}{l}}$$
 (۱)

که در آن  $A_x$ ،  $A_0$  و  $\frac{1}{l}$  به ترتیب سطح مقطع هورن به فاصله  $x$  از سطح مقطع بزرگ، سطح مقطع بزرگ، فاصله مقطع مورد نظر از مقطع بزرگ در طول هورن و ثابت مخروطی شدن است. شکل ۳ نشان دهنده‌ی يك هورن نمایی است (Markov, 1966).

.(Guide)

#### تحلیل با مدل‌سازی سه بعدی

نتایج حاصل از آنالیز مودال در شکل ۱ نشان داده شده است. مقایسات انجام شده با نتایج ژاو و همکاران مشخص کرد که اولين مود طولي هورن مخروطي به صورت آزمایشگاهی ۱۸/۱ kHz بوده و با استفاده از روش المان محدود ۱۷/۵۱۷ kHz به دست آمد. می‌توان گفت، تطابق خوبی میان روند داده‌های تحلیل شده با استفاده از روش اجزای محدود با نتایج تجربی آن‌ها وجود دارد و حداقل خطای درصد است و تحلیل از لحاظ مود قابل اطمینان است.

#### مدل‌سازی دو بعدی

برای مدل‌سازی دو بعدی همانطور که در شکل ۲ آمده است، مخروط مورد استفاده توسيط ژاو و همکاران با استفاده از المان Plane42 مشبندی شد و سپس آنالیز مودال انجام گرفت. در این روش فقط می‌توان مودهای متقارن (طولي) را استخراج کرد. نتایج حاصل نشان داد که اولين مود طولي ۱۷/۵۲ kHz و دومین مود

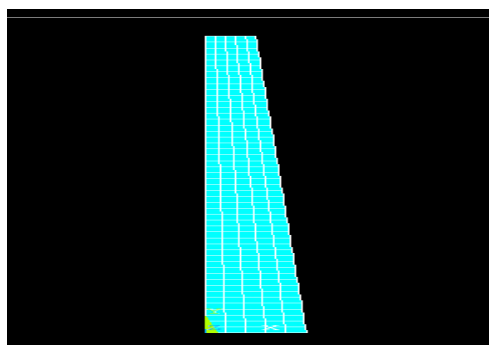
(kHz) طولي Longitudinal	(kHz) پیچنی Torsional	(kHz) مختس Flexural	(kHz) طولي Longitudinal	(kHz) پیچنی Torsional	(kHz) مختس Flexural
17.517	11.641	4.314	17.7	11.7	4.01
33.741	21.429	10.713	34.8	21.9	10.5
		31.380		32.4	18.7
	41.553	28.168		42.9	28.2
		37.991			37
					48
			18.1	12.1	4.60
				22.1	11.2
				32.6	19.1
				43.1	28.8
					38.3
					49.1

ب (b)

الف (a)

شکل ۱ - فرکانس‌های طبیعی هورن مخروطی برای مودهای ارتعاشی مختلف، (الف) ژاو و همکاران، (ب) اجزاء محدود (پژوهش حاضر)

Fig. 1. Conical horn Resonance frequencies for different vibrational modes, (a) Zhoa *et al.*, 2002, (b) finite element (This study)



شکل ۲- مشبندی هورن مخروطی با المان Plane42 (مخروط از دوران سطح فوق حول محور عمودی حاصل می‌شود.)

Fig. 2. Conical horn meshing with Plane42 (The cone is formed by rotation of this area around the vertical axis.)

$$\beta = \frac{\omega}{c} \left( \frac{\ln N}{\sqrt{\pi^2 + (\ln N)^2}} \right) \quad (6)$$

طول هورن  $\text{L}$  بر اساس نیم موج مقدار  $n$  برابر با یک یا تمام موج مقدار  $n$  برابر با دو از رابطه‌ی (۶) به دست می‌آید:

$$l = \frac{n}{2} \cdot \lambda \quad (7)$$

برای هورن نمایی مقدار  $\text{L}$  برابر است با:

$$l = \frac{nC}{2f} \sqrt{1 + \left( \frac{\ln N}{\pi} \right)^2} \quad (8)$$

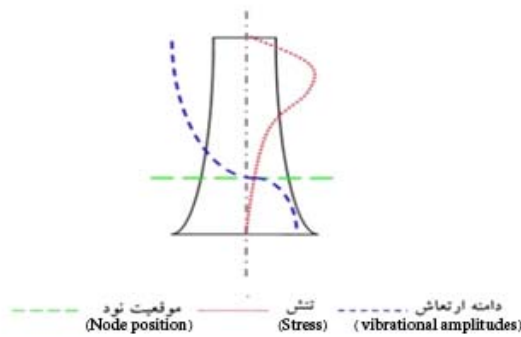
موقعیت گره ارتعاشی  $X_0$  عبارت است از:

$$u = 0 \Rightarrow x_0 = \frac{l}{\pi} \arccot \left( \frac{1}{\pi} \ln N \right) \quad (9)$$

معادله‌ی دامنه تنش در طول هورن مطابق رابطه‌ی (۱۱) می‌باشد:

$$\sigma = -Eu_0 e^{\beta x} \left( \frac{\beta^2 v_l}{\omega} + \frac{\omega}{v_l} \right) \sin \frac{\omega x}{v_l} \quad (10)$$

شکل ۴ تغییرات دامنه ارتعاش، دامنه تنش و موقعیت گره ارتعاشی در طول هورن با مقطع دایره‌ای به طول  $l$  را نشان می‌دهد.



شکل ۴- موقعیت گره، پروفیل تنش، و دامنه ارتعاش در هورن نمایی

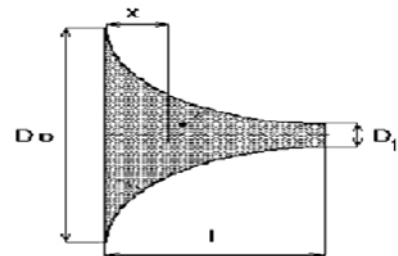
Fig. 4. Node position, stress profile, and vibrational amplitudes in the exponential horn

#### محاسبه ابعاد هورن طراحی شده برای تراکذر

هنگامی که یک موج از محیطی به محیط دیگر می‌رود، مقداری از آن گذر می‌کند، مقداری بازتابیده می‌شود و مقداری نیز جذب می‌گردد. ارتباط میان موج اولیه و موج برگشتی از معادله‌ی (۱۱) به دست می‌آید (Subramanian, 2006).

$$E_p = E_i \left[ \frac{\rho_1 c_1 - \rho_2 c_2}{\rho_1 c_1 + \rho_2 c_2} \right]^2 \quad (11)$$

در اینجا،  $E_p$ ، انرژی پرتو برگشتی،  $E_i$ ، انرژی پرتو اولیه،  $\rho_1$  و  $\rho_2$  به ترتیب چگالی محیط اول و دوم و  $c_1$  و  $c_2$  به ترتیب



شکل ۳- طرحواره هورن نمایی

Fig. 3. Schematic of exponential horn

بر اساس معادله‌ی حاکم بر میله‌های غیر یکنواخت می‌توان نوشت (Merkulov, 1957):

$$\frac{d^2 u}{dx^2} + \frac{1}{A} \frac{dA}{dx} \frac{du}{dx} + k^2 u = 0 \quad (2)$$

$$\frac{dA}{dx} = -2\beta A_0 \exp(-2\beta x) = -2\beta A$$

حل کلی معادله‌ی بالا با در نظر گرفتن شرایط مرزی به صورت زیر است:

$$u = u_0 \left( \cos \frac{\omega x}{v_l} - \beta \frac{v}{\omega} \sin \frac{\omega x}{v_l} \right) e^{\beta x} \quad (3)$$

که در آن:

$$v_l = \frac{c}{\sqrt{1 - \frac{\beta^2 c^2}{\omega^2}}} \quad (4)$$

در رابطه‌ی ۴:

۳: سرعت صوت در ماده‌ی بینهایت

۴: سرعت معادل انتشار صوت در هورن

ویستر در بررسی معادلات هورن نمایی به این نتیجه رسید که هنگامی که تغییر سطح مقطع ناگهانی نباشد انرژی صوتی به سمت تراکذر منعکس نشده و در سر هورن متمن کر می‌شود ولی اگر تغییر سطح مقطع ناگهانی باشد موج‌های فرماحتی به سمت تراکذر بر می‌گردند و باعث افت انرژی (افزایش دمای تراکذر) و در نتیجه کاهش سرعت ارتعاش سر هورن می‌گردد (Webster, 1919).

بنابراین در طراحی هورن باید از تغییر ناگهانی سطح جلوگیری به عمل آید و رابطه  $\frac{\omega}{c} \beta$  باید برای ضریب مخروطی شدن برقرار باشد.

ضریب تقویت هورن به صورت زیر تعریف می‌شود:

$$N = \sqrt{\frac{A_0}{A_1}} \quad (5)$$

اگر مقدار ضریب تقویت ( $N$ )، بسامد ارتعاشات ( $f$ )، و سرعت صوت در ماده ( $C$ ) معلوم باشد، آنگاه از رابطه‌ی (۵) به دست می‌آید:

یک جفت تراگذر ۷۵ kHz در حالت بدون هورن و دارای هورن به عنوان فرستنده و گیرنده امواج فراصوت استفاده شد. کاوشگرهای روی سامانه نگهدارندهای سوار شدند که به آن‌ها امکان حرکت افقی، عمودی و زاویه‌دار را می‌داد (شکل ۶). داده‌های خروجی با برنامه نوشته شده در محیط MATLAB 2008 تحلیل و پارامترهای سرعت و زمان عبور سیگنال از محیط (زمان پرواز) استخراج شد. در آزمایش نخست هورن‌ها در محیط هوا روبروی یکدیگر قرار داده شدند و شکل سیگنال‌ها بررسی شد. همچنین آزمایش دیگری به منظور بررسی اثر ضخامت (۱۰، ۱۵، ۲۰ و ۲۵ میلی‌متر) بر سرعت امواج فراصوت و زمان پرواز در دو محیط سیبزیمینی و هویج در قالب طرح کاملاً تصادفی با پنج تکرار انجام گرفت. برای بررسی رابطه‌ی بین زمان پرواز و ضخامت از ضریب همبستگی پیرسون استفاده شد. این آزمایش برای دو نوع تراگذر دارای هورن و بدون هورن به‌طور جداگانه انجام شد.

از سیگنال‌های ارسالی و دریافتی به منظور استخراج زمان پرواز و از رابطه‌ی (۱۲) برای محاسبه سرعت استفاده گردید:

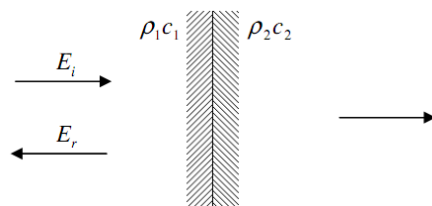
$$v = \frac{L}{TOF} \quad (12)$$

که در آن،  $v$ ، سرعت امواج فراصوت در میوه (m s<sup>-1</sup>)،  $L$  (m) و  $TOF$  (ms)، زمان پرواز امواج فراصوت (ms) می‌باشند (Rose, 2004).

## نتایج و بحث

برای اطمینان از اینکه هورن طراحی شده در بسامد مرکزی ۷۵ kHz دارای مود طولی است، از نرم‌افزار ANSYS12 کمک گرفته شد. همان‌گونه که گفته شد به‌دلیل شکل متقاضن هورن، مدل‌سازی دو بعدی مورد استفاده قرار گرفت. برای بررسی تأثیر تعداد المان بر جواب‌ها تعداد المان‌ها از ۵ تا ۶۰۰ انتخاب شد و با هریک از آن‌ها آنالیز انجام گرفت (شکل ۷). همانطور که در شکل نشان داده شده است با افزایش تعداد المان‌ها از ۳۰۰ به بالا تغییر چندانی در مود طولی مشاهده نمی‌شود. بنابراین تحلیل‌های بعدی برای کاهش حجم محاسبات با تعداد المان ۳۰۰ اجرا شد.

سرعت فراصوت در محیط اول و دوم می‌باشد (شکل ۵).



شکل ۵- بازگشت موج با تغییر محیط  
Fig. 5. Wave return with medium change

برای انجام آزمایشات از تراگذر با بسامد مرکزی ۷۵ kHz ساخت شرکت Airmar استفاده شد. قطر ابتدایی هورن یعنی جایی که به تراگذر وصل می‌شود، بایستی از قطر تراگذر، بزرگتر و یا با آن مساوی باشد تا هوا با انتهای تراگذر در تماس نباشد. زیرا در همان قسمتی که هوا با تراگذر در تماس است تمام موج باز می‌گردد و انرژی فراصوتی تبدیل به‌گرما شده و هدر می‌رود. از طرفی قطر بزرگ هورن باید کمتر یا مساوی با  $\frac{\lambda}{4}$  باشد تا ارتعاشات جانبی زیاد نشود (Markov, 1966). با توجه به‌اینکه تراگذر انتخابی دارای قطر ۳۸ mm است، قطر اولیه هورن باید از آن بزرگتر باشد. بنابراین بزرگترین قطر هورن ۴۰ mm در نظر گرفته شد. همچنین برای تماس بهتر هورن با میوه، قطر کوچک هورن ۵ mm در نظر گرفته شد. جنس متمرکز کننده از الومینیوم در نظر گرفته شد که ویژگی‌های آن در جدول ۱ آمده است.

با استفاده از روابط (۱)، (۵)، (۶) و (۸) خواهیم داشت:

$$N = \frac{40}{5} = 8$$

$$\beta = \frac{\omega}{c} \left( \frac{\ln N}{\sqrt{\pi^2 + (\ln N)^2}} \right) \Rightarrow \beta = \frac{2\pi \times 75000}{5134} \left( \frac{\ln 8}{\sqrt{\pi^2 + (\ln 8)^2}} \right) = 50.6617$$

$$t = \frac{nc}{2f} \sqrt{1 + \left( \frac{\ln N}{\pi} \right)^2} = \frac{5134}{2 \times 75000} \sqrt{1 + \left( \frac{\ln 8}{\pi} \right)^2} = 0.0411$$

$$A_x = A_0 s^{-2\beta t} \Rightarrow A_x = 125.66 \times 10^{-5} s^{-101.32t}$$

## تجهیزات و آزمایش‌ها

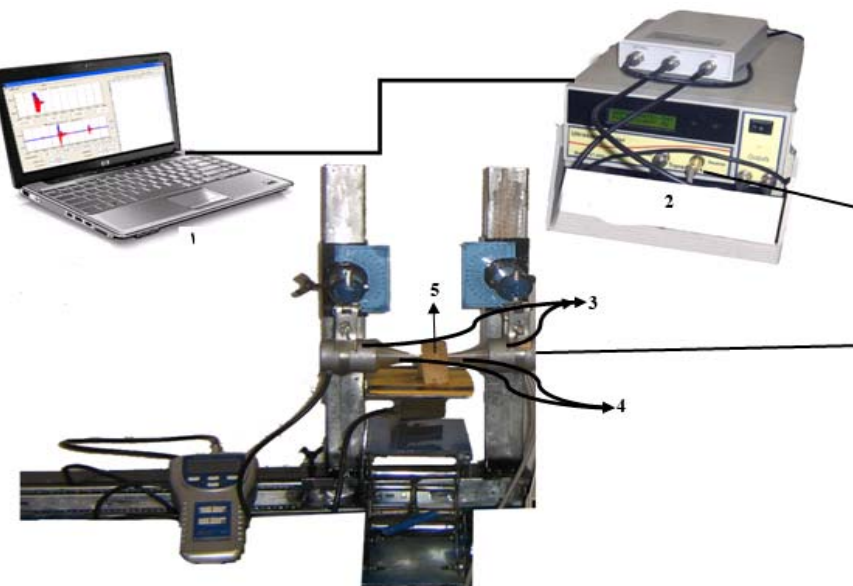
برای انجام آزمایش‌ها ابتدا دستگاه فرستنده و گیرنده امواج فراصوتی در دانشگاه تربیت مدرس تهران (سال ۱۳۹۰) ساخته شد. از

## جدول ۱- مشخصات ماده استفاده شده برای ساخت هورن

Table 1. Properties of the material used for fabricating the horn

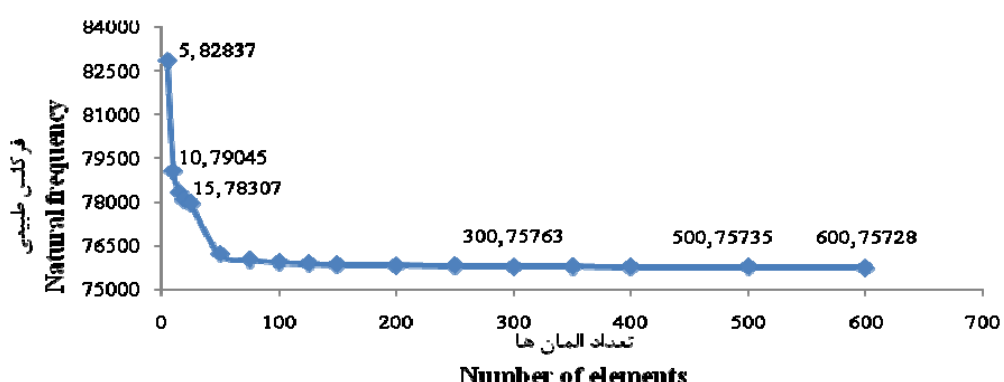
E (Pa)	$\rho$ (kg m <sup>-3</sup> )	c (m s <sup>-1</sup> )	$\lambda$ (m)	(Material)
$7.3 \times 10^{10}$	2770	5133.594	0.275	آلومینیوم (Aluminum)

۱- زمان پرواز، زمانی است که پالس فراصوت از یک طرف میوه به طرف دیگر آن انتقال می‌یابد.



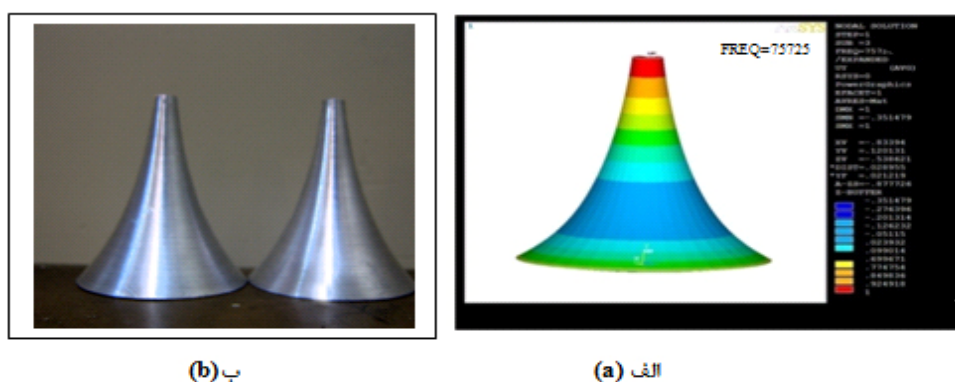
شکل ۶- سامانه اندازه‌گیری ویژگی‌های فرآصوتی میوه (۱- رایانه، ۲- فرستنده و گیرنده امواج فرآصوت، ۳- تراکنده، ۴- هورن، ۵- سیب زمینی)

**Fig. 6.** Ultrasonic system for measurement of fruit properties (1- Computer, 2- Ultrasonic pulser- receiver, 3- Transducer, 4- Horn, 5- Potato)



شکل ۷- تأثیر تعداد المان بر بسامد طبیعی هورن

**Fig. 7.** Effect of number of elements on the natural frequency of the horn



شکل ۸- (الف) مود طولی هورن نمایی، (ب) هورن ساخته شده

**Fig. 8.** (a) Longitudinal mode of the exponential horn, (b) The actual machined horn

یعنی در این حالت تمام موج بر می‌گردد و هیچ موجی وارد هوا نمی‌شود. با قرار دادن محیطی چگال (مانند هویج بین کاوشگرهای سیگنال دریافتی بهخوبی قابل مشاهده بود (شکل ۹).

**آزمون دوم: بررسی اثر ضخامت بر سرعت امواج فراصوت و زمان پرواز در حالت دارای هورن و بدون هورن**  
 مطابق رابطه‌ی ۱۳، انتظار آن است که با تغییر ضخامت نمونه، سرعت امواج فراصوت در محیط تغییر نکند ولی زمان پرواز افزایش یابد. نتایج نشان داد که در کاوشگر دارای هورن بین ضخامت‌های مختلف از نظر سرعت امواج فراصوتی در دو محیط سیبزمنی و هویج اختلاف غیرمعنی دار ( $P < 0.01$ ) بود (شکل ۱۰ و جدول ۳). همچین مشخص شد که در کاوشگر دارای هورن برای هر دو محصول با افزایش ضخامت، زمان پرواز به طور خطی افزایش می‌یابد و همیستگی خوبی ( $R^2 = 0.996$ ) بین ضخامت نمونه و زمان پرواز وجود دارد. این یافته‌ها با نتایج سایر پژوهشگران همخوانی خوبی داشت. محققین طی آزمایش‌هایی روی سیب، هل و سیب زمینی دریافتند که با افزایش ضخامت نمونه، زمان پرواز به طور خطی افزایش یافته و سرعت امواج تغییر چندانی نمی‌کند. (Kim et al., 2004, Zaki Dizaji et al., 2009)

پس از انجام آنالیز مشخص شد که نخستین مود طولی هورن طراحی شده  $75/6 \text{ kHz}$  است که خطای حدود  $0/8$  درصد را نشان می‌دهد (شکل‌های ۷ و ۸). در حقیقت می‌توان گفت این روش، روشی مناسب برای هورن‌های با شکل پیچیده است و با استفاده از آن می‌توان انواع مودهای هورن را استخراج نمود که کاربردهای مختلفی دارند. بعد از طراحی، هورن مورد نظر ساخته و با استفاده از چسب روی تراکنتر نصب و نتایج آن با حالت بدون هورن مقایسه شد (شکل ۸).

### آزمون نخست: بررسی تراکنتر بدون هورن و دارای هورن در محیط هوای

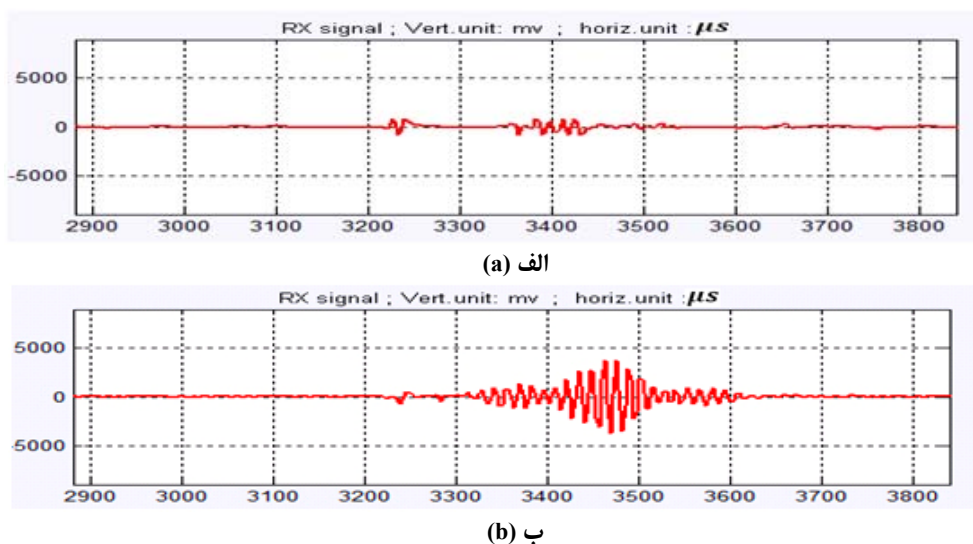
در این آزمون هورن‌های فرستنده و گیرنده در هوا روبروی یکدیگر قرار داده شدند. مشخص شد که سیگنال بسیار ضعیفی از هوا عبور می‌کند و با افزایش فاصله (تا  $2 \text{ mm}$ ) سیگنال مشاهده نشد. علت این امر اختلاف چگالی و سرعت امواج فراصوتی در آلومینیوم و هوا می‌باشد (جدول ۲). همانطور که پیش‌تر گفته شد با استفاده از رابطه‌ی (۱۱) نسبت انرژی‌های رفتی و برگشتی به دست می‌آید.

$$E_r = E_f \left[ \frac{2770 \times 5134 - 334 \times 1.285}{2770 \times 5134 + 334 \times 1.285} \right]^{\frac{1}{2}} \Rightarrow \frac{E_r}{E_i} \approx 1$$

### جدول ۲- خصوصیات فراصوتی آلومینیوم و هوا

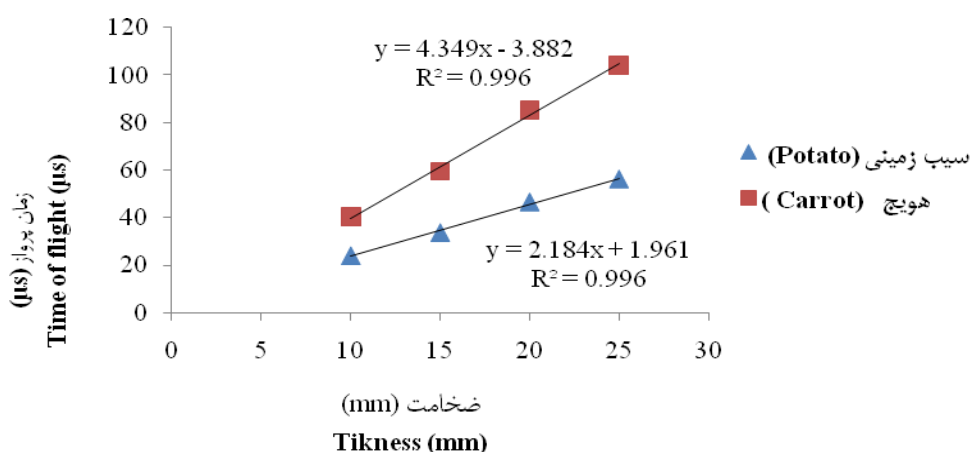
Table 2. Ultrasonic properties of air and aluminum

(kg m <sup>-3</sup> ) <b>(Density)</b>	سرعت امواج فراصوت (m s <sup>-1</sup> ) <b>(Velocity of ultrasonic wave)</b>	محیط <b>(Medium)</b>
2770	5134	آلومینیوم (Aluminum)
1.285	334	هوا (Air)



شکل ۹- سیگنال‌های عبور کرده از محیط (الف) هوا، (ب) هویج

Fig. 9. Signals transmitted through (a) Air, (b) Carrot sample



شکل ۱۰- رابطه بین ضخامت و زمان پرواز در تراگزد دارای هورن

Fig. 10. Relationship between sample thickness and time of flight using transducer with horn

جدول ۳- جدول تجزیه واریانس اثر ضخامت بر سرعت امواج فرماصوت و زمان پرواز در حالت دارای هورن

Table 3. Anova table for the effect of thickness on ultrasonic velocity and time of flight in transducer with horn

میانگین مربعات (Mean of squares)				منابع تغییرات (Source of variation)	
(Carrot) هویج		(Potato) سیب زمینی			
زمان پرواز (Time of flight)	سرعت امواج فرماصوتی (Ultrasonic velocity)	زمان پرواز (Time of flight)	سرعت امواج فرماصوتی (Ultrasonic velocity)		
33329.385**	11.335 <sup>ns</sup>	1058.83**	274.448 <sup>ns</sup>	بین گروهها (Between groups)	
0.296	6.722	0.584	100.265	داخل گروهها (Within groups)	

ns و \*\*، به ترتیب غیرمعنی دار و معنی دار در سطح احتمال ۰/۰۱

ns and \*\*, non-significant and significant at 0.01 level, respectively

با توجه به این آزمایش می‌توان گفت حتی در آزمون‌های مخبر فرماصوتی که برای عبور سیگنال از محصول نیاز به برش آن و تهییه نمونه می‌پاشد، تراگزد دارای هورن بسیار مناسب‌تر است، چون علاوه بر سطح مقطع کمتر که امکان تهییه نمونه‌های بسیار کوچک و با قطر ۵mm را می‌دهد، ویژگی‌های فرماصوتی را با دقت بیشتری اندازه‌گیری می‌کند. در تراگزد بدون هورن تهییه نمونه‌ها با قطر زیاد (برای مثال ۴۰mm در این تحقیق) و بافت یکسان از محصول ساده نیست، مانند هویج که در مرکز دارای بافت خشی است و جداسازی سیگنال عبوری از قسمت گوشته و مرکز مشکل است. ولی در تراگزد دارای هورن در هر نقطه از محصول می‌توان آزمون فرماصوتی را انجام داد.

در کاوشنگر بدون هورن، نتایج حاکی از اختلاف معنی دار (P<0.01) بین ضخامت‌های مختلف از نظر سرعت امواج فرماصوت بود (جدول ۴). در نتیجه به جای آن که سرعت تقریباً ثابت بماند، مطابق شکل ۱۱ با افزایش ضخامت، سرعت روند صعودی داشت. از طرفی با تغییر ضخامت، تغییرات زمان پرواز نیز مطلوب نبود. یعنی در همه نمونه‌ها مطابق انتظار با افزایش ضخامت نمونه، زمان افزایش نیافت (شکل ۱۲). در حقیقت در نمونه‌های کم ضخامت، استفاده از تراگزد بدون هورن همراه با خطأ بوده و پراکندگی داده‌ها زیاد است، که علت آن اغتشاشات امواج منتشره در جلوی تراگزد فرسنده (ناحیه مرده درون ناحیه نزدیک) است. می‌توان گفت هورن مانند یک لایه تأخیرانداز عمل نموده و اغتشاشات را فیلتر کرده است (Mizrach *et al.*, 1989).

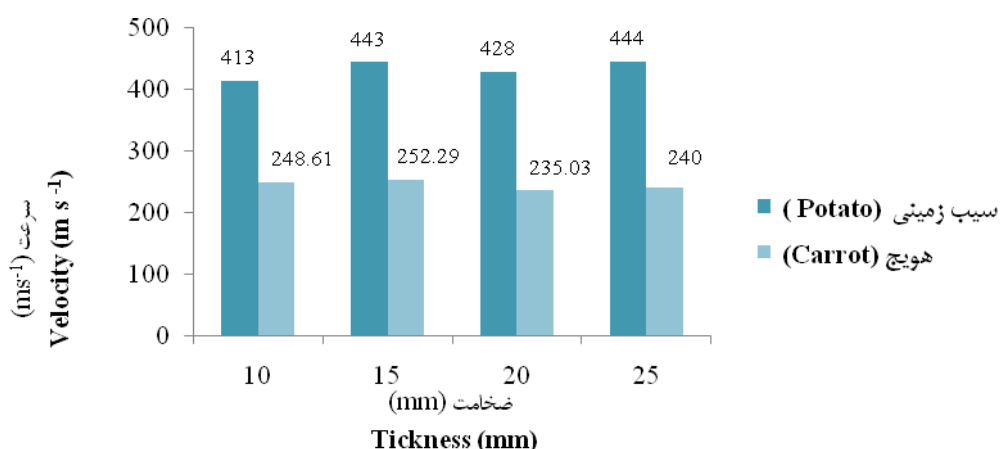
**جدول ۴**- جدول تجزیه واریانس اثر ضخامت بر سرعت امواج فرماصوت و زمان پرواز در حالت بدون هورن

**Table 4.** Anova table for the effect of thickness on ultrasonic velocity and time of flight in transducer without horn  
**(Mean of squares) میانگین مربعات**

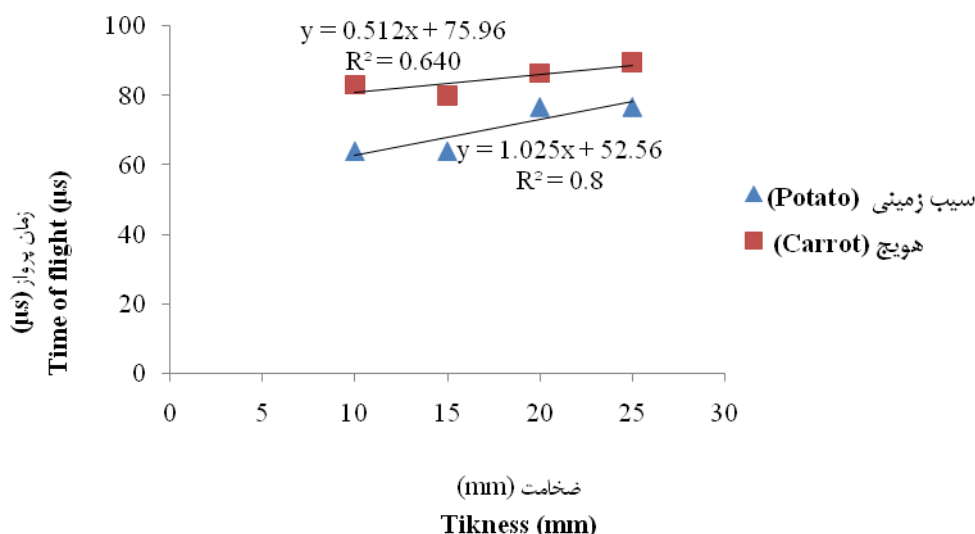
(Carrot) هویج		(Potato) سیب زمینی		منابع تغییرات (Source of variation)
زمان پرواز (Time of flight)	سرعت امواج فرماصوتی (Ultrasonic velocity)	زمان پرواز (Time of flight)	سرعت امواج فرماصوتی (Ultrasonic velocity)	
86.104**	22718.204**	275.29**	23878.24**	بین گروه‌ها (Between groups)
0.71	2.662	0.278	518.24	داخل گروه‌ها (Within groups)

\*\* معنی دار در سطح احتمال .۰۰۱

\*\*, significant at 0.01 level



شکل ۱۱- سرعت امواج عبوری در ضخامت‌های مختلف در حالت بدون هورن

**Fig. 13.** Effect of sample thickness on signal velocity using transducer without horn

شکل ۱۲- رابطه بین ضخامت و زمان پرواز در تراگذر بدون هورن

**Fig. 12.** Relationship between sample thickness and time of flight using transducer without horn

داد که در کاوش‌گر دارای هورن بین ضخامت‌های مختلف از نظر سرعت امواج فرماحتی در دو محیط سیب‌زمینی و هویج اختلاف غیرمعنی‌دار ( $P < 0.01$ ) و در کاوش‌گر بدون هورن این اختلاف معنی‌دار می‌باشد. به عبارت دیگر در کاوش‌گر دارای هورن در ضخامت‌های مختلف سرعت امواج ثابت است در حالی که در کاوش‌گر بدون هورن با تغییر ضخامت نمونه، سرعت تغییر می‌کند که مطلوب نیست. بنابراین می‌توان گفت تراگذر دارای هورن برای انجام آزمون‌های فرماحتی مناسب‌تر است.

### نتیجه‌گیری کلی

با توجه به تحقیق انجام شده مشخص شد که با استفاده از روش رایانه‌ای می‌توان هورن‌های بسیار پیچیده را با دقت بالایی طراحی کرد. در تحلیل تأثیر تعداد المان بر بسامد طبیعی معلوم شد که در تعداد کم المان، تحلیل با خطأ همراه است و تا جایی که بسامد طبیعی هورن تقریباً ثابت شود باید تعداد المان را زیاد کرد که در این تحقیق تعداد المان لازم ۳۰۰ بود. همچنین مقایسه بین روش نظری و رایانه‌ای نشان داد که روش رایانه‌ای خطای بسیار کمی (کمتر از یک درصد) داشته و نیاز به حل معادلات بسیار پیچیده ندارد. نتایج نشان

### منابع

1. Butz, P., C. Hofmann, and B. Tauscher. 2005. Recent developments in noninvasive techniques for fresh fruit and vegetable internal quality analysis. *Journal of Food Science*. 70 (9): 131-141.
2. Graham, G., J. N. Petzing, and M. Lucas. 1999. Modal analysis of ultrasonic block horns by ESPI. *Ultrasonics*, 37(2): 149-157.
3. Hedrick, R., L. Hykes, and E. Strachman. 2005. *Ultrasound physics and instrumentation*. Fourth edition. Elsevier Mosby.
4. Jullian, R. 1965. *Ultrasonic engineering*, John willy and Sons inc, USA.
5. Kim, K. B., H. M. Jung, M. S. Kim, and G. S. Kim. 2004. Evaluation of fruit firmness by ultrasonic measurement. *Advances in Nondestructive Evaluation*, Pt 1-3. Key Engineering Materials, 270-273. Trans Tech Publications Ltd., Zurich-Uetikon. 1049-1054.
6. Markov, A. 1966. *Ultrasonic machining of intractable materials*. Iliffe Books Ltd.
7. Merkulov, L. G. 1957. Design of Ultrasonic Concentrations, Soviet Physical Acoustics, 3: 230-238
8. Mizrach, A., U. Flitsanov, M. Akerman, and G. Zaberman. 2000. Monitoring avocado softening in low-temperature storage using ultrasonic measurements. *Comput. Electron. Agric.* 26: 199-207.
9. Mizrach, A., U., Flitsanov, R. El-Batsri, and C. Degani. 1999. Determination of avocado maturity by ultrasonic attenuation measurements. *Sci. Hortic.* 80:73-180.
10. Mizrach, A., N., Galili, G., Rosenhouse. 1989. Determination of fruit and vegetable properties by ultrasonic excitation. *Trans. ASAE* 32: 2053-2058.
11. Porteous, R. L., A. Y. Muir, R. L. Wastie. 1981. The identification of diseases and defect in potato tubers from measurements of spectral reflectance. *J. Agric. Eng. Res.* 26: 151-160.
12. Rose, J. L. 2004. *Ultrasonic Waves in Solid Media*. Cambridge university press. Cambridge. K.454.
13. Sarker, N., and R. R. Wolfe. 1983. Potential of ultrasonic measurements in food quality evaluation. *Trans. ASAE* 26: 624-629.
14. Subramanian, C.V. 2006. *Practical Ultrasonic*, Alpha science international Ltd, Oxford, UK.
15. Upchurch, B. L., G. E. Miles, R. L. Stroshine, E. S. Furgason, F. H. Emerson. 1987. Ultrasonic measurement for detecting apple bruises. *Trans. ASAE* 30:803-809.
16. Webster, A. G. 1919. Acoustical impedance, and the theory of horns and of the phonograph, *Proc.Natl. Acad. Sci. USA*, 5 (1919), pp. 275-282; reprinted in *J. Audio Engineering Soc.*, 25(1977): 24-28.
17. Zaki Dizaji, H., S. Minaei, M. Mokhtary, and T. Tavakkoli Hashtjin. 2009. Development of an ultrasonic device for investigation of agricultural product quality. *6<sup>th</sup> International Postharvest Symposium*. Antalya. Turkey.
18. Zhou G. P, Y. H, and B. F. Zhang Zhang. 2002. The complex-mode vibration of ultrasonic vibration systems. *Ultrasonics* 40: 907-911.

## بهینه سازی و تحلیل یک اهرم بندی ۸-شکل خط مستقیم برای طراحی گاوآهن بشقابی دوطرفه

سید ایمان ساعدی<sup>۱\*</sup> - محمدحسین آق خانی<sup>۲</sup> - عبدالعلی فرزاد<sup>۳</sup>

تاریخ دریافت: ۸۹/۷/۲۴

تاریخ پذیرش: ۹۰/۱۲/۲۳

### چکیده

گاوآهن بشقابی یکی از ادوات مهم خاکورزی اولیه می باشد که بکارگیری نوع دوطرفه آن بخاطر امکان انجام شخم با الگوی پیوسته موجب صرفه جویی در وقت و هزینه و افزایش بازده فرایندهای زراعی بعدی می گردد. در این مقاله یک اهرم بندی چهار میله ای ۸-شکل خط مستقیم (مکانیزم دانیل) برای تبدیل گاوآهن بشقابی یکطرفة به دوطرفه استفاده گردید. در این تبدیل، طراحی مکانیزم جابجایی شاسی حامل بشقابها و نیز چرخ شیار عقبی در راستای افق به میزان مناسب و تشییت حرکت گاوآهن به هنگام کار در خاک در کنار ایجاد قابلیت های جدیدی مثل مکانیزم تغییر زاویه تمایل طولی بشقابها و وضعیت تراپری لحاظ گردیده است. مقادیر مناسب جابجایی شاسی حامل بشقابها با تحلیل اعدادی مکانیزم دانیل و بدست آوردن یک رابطه ریاضی صورت پذیرفت. برای تأمین حرکت مناسب چرخ شیار عقبی یک رابطه به اهرم بندی موجود اضافه گردید. مکانیزم پنج رابطه حاصل سپس از لحاظ حرکتی و نیرویی تحلیل شد و نمودارهایی برای تحلیل های مذکور ترسیم گردید. گاوآهن جدید به سبب طراحی ساده و دارا بودن حداقل قطعات مکانیکی کمکی خصوصیات شاخصی مثل کاربری آسان، هزینه ساخت پایین، حداقل نیاز به سرویس و نگهداری و امکان اجرا بر روی گاوآهن های بشقابی یک طرفه موجود را خواهد داشت که این مزایا می تواند سبب افزایش اقبال کشاورزان در استفاده از گاوآهن دوطرفه گردد. در این مقاله مدل سازی و تحلیل مکانیزم به کمک نرم افزار CATIA صورت پذیرفته است.

**واژه های کلیدی:** بهینه سازی مکانیزم، تحلیل حرکتی، تحلیل نیرویی، گاوآهن بشقابی دوطرفه، مکانیزم دانیل

### مقدمه

یکی از زمینه های ماشین های کشاورزی عملیات خاکورزی است که هدف نهایی آن تهییه بستر مناسب برای انجام فرایندهای زراعی بعدی می باشد. از آنجا که بیشترین هزینه تولید محصولات زراعی مربوط به عملیات خاکورزی است، از این رو بهینه سازی عملکرد ادوات مربوطه، از جمله ابزارهای بشقابی که در زمرة ی مهتمرین ماشین های خاکورزی اولیه می باشند، می تواند نقش اساسی در کاهش هزینه های تولید داشته باشد.

پژوهش های فراوانی بر روی عملکرد ادوات بشقابی صورت گرفته است که بخشی از آنها معطوف به بررسی نیروهای وارد بر بشقابها در شرایط کاری متفاوت و نیز شرایط مختلف خاک می باشند (Abu-Hamdeh, 2003; Arvidsson *et al.*, 2004; Hettiaratchi, 1997; Godwin *et al.*, 1985; Hann *et al.*, 1998; O'Dogherty *et al.*, 1996) بخش دیگری از این پژوهشها تغییر در طراحی ادوات بشقابی برای بهبود عملکرد در هنگام شخم را شامل می گردد. از جمله این روشها به کارگیری انواع دوار

منتهی مانند گاوآهن بشقابی موتور گرد یکطرفة (Aghkhani, 1998) و هرس بشقابی دوار (Azadbakht, 1998) مزایایی از قبیل کاهش توان کششی، کاهش سرخوردگی چرخ های تراکتور، بهبود کیفیت خاکورزی، و غیره را ارائه می دهند. رویکرد دیگر بهینه سازی عملکرد گاوآنهای بشقابی استفاده از نوع دوطرفه آنها می باشد. این نوع گاوآنهایها با داشتن تنها یک سری خیش بشقابی که به موازات افق تغییر جهت می دهد از حالت چپ ریز به راست ریز و بالعکس تبدیل می شوند. از این رو به سبب ایجاد حداقل ناهمواری ها در زمین و حداقل نیاز به ادوات خاکورزی بعدی، موجب صرفه جویی در وقت و هزینه، افزایش راندمان آبیاری، حفظ ساختمان خاک و غیره خواهد شد.

مکانیزم های متعددی برای تغییر جهت خاکورز از حالت چپ ریز به راست ریز در گاوآنهای دو طرفه (با گردش افقی) بررسی و ارائه شده است. فاتحی یک مکانیزم و سیستم هیدرولیکی چرخانده برای گاوآهن دوطرفه مرکب ( بشقابی و قلمی ) طراحی کرد (Fatehi, 2009). در تحقیقی دیگر کیانمehr و همکاران یک گاوآهن دوطرفه سه خیش با خیش مستطیلی را ساخته و ارزیابی نمودند (Kianmehr, *et al.*, 2005) اما متدالو ترین مکانیزم توسط ویلیام و همکاران (William *et al.*, 1980) ارائه شده است. در این طرح

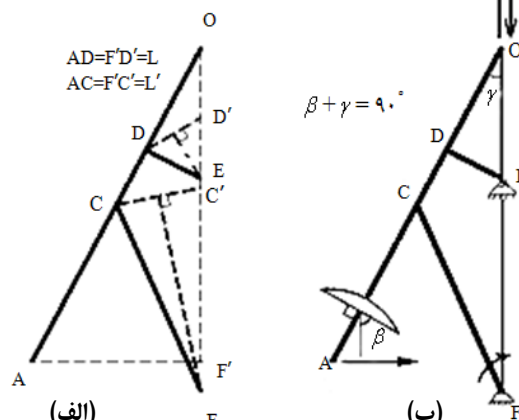
۱- مریب دانشکده کشاورزی دانشگاه صنعتی شاهرود  
۲- نویسنده مسئول: (Email: i\_saedi@yahoo.com)

۳- دانشیاران دانشکده کشاورزی، دانشگاه فردوسی مشهد

مکانیزم چهار رابطی  $\lambda$  شکل خط مستقیم دانیل انتخاب گردید (شکل ۱). این مکانیزم یک اهرم بندی ایجاد کننده حرکت مستقیم الخط بدون استفاده از کشویی و راهنمای است که توسط جیمز - آ - دانیل جونیور<sup>۱</sup> اختراع شد. این نوع اهرم بندی ها با حداقل مقدار اصطکاک به وجود آمده در لولاهای، در بسیاری از ماشین آلات، جایگزین قطعات لغشی و غلتشی که نیازمند راهنمایها و کشویی ها هستند، شده اند (Shirkhorshidian, 2002).

این مکانیزم با داشتن ویژگی های مفید و مطلوب، نیازهای طراحی را مرتفع ساخته است.

در این مکانیزم (شکل ۱ ب) رابط زمین است و AO امتدادیافته رابط واصل CD می باشد. بدین ترتیب برای حرکت این رابط، بازو های FC و DE (رابط های ورودی و خروجی مکانیزم) حول مفصل های F و E می کنند و در این حین نقاط A و O بر روی مسیرهای تقریباً مستقیم الخط افقی و عمودی حرکت می کنند (شکل ۱ ب). وقتی که نقطه O پس از یک رفت و برگشت به محل اول بر می گردد نقطه A از موقعیت فعلی (متنهای الیه سمت چپ) به متنهای الیه سمت راست در موقعیت متقاضن قرار می گیرد (و بالعکس). این حرکت های مستقیم الخط بدون نیاز به کشویی یا راهنمای و با حداقل اصطکاک در لولاهای انجام می شود که از مزایای این مکانیزم محاسبه می شود. ویژگی دیگر این اهرم بندی این است که می تواند وزنه ای که در نقطه متحرک این مکانیزم (A) آویزان شده است را در حالت تعادل نگه دارد. این پدیده نشان دهنده "تعادل خنثی" در این مکانیزم می باشد.



شکل ۱ - مکانیزم چهار رابطی دانیل برای تغییر جهت شاسی حامل بشتاب (AO) در یک مرحله، بدون نیاز به مکانیزم ثانویه تنظیم زاویه تمایل طولی بشتاب (β).

**Fig. 1.** Daniel Four-bar mechanism for displacement of disk carrying frame (AO) in one step, without the secondary disk angle adjustment mechanism ( $\beta$ )

دیرک حامل بشتاب ها که حول نقطه مرکزی قاب اصلی قابلیت گردش دارد، ۳۰ تا ۴۰ درجه دوران می کند (مرحله اول) سپس به منظور تنظیم زاویه تمایل طولی، یک مکانیزم ثانویه هر بشتاب را حول ساقه خود می چرخاند (مرحله دوم). هم‌مان، چرخ شیار عقبی نیز با سیستم اهرم خاص خود گردش می کند و وضعیت جدید و متناسبی می یابد. عمل تغییر وضعیت اغلب به وسیله یک جک هیدرولیکی دوطرفه انجام می پذیرد.

سنگین و گران بودن گاوآهن های دو طرفه کمی سازی شده در کشور و عدم هم خواهی اکثر آنها با تراکتورهای موجود باعث شده است کشاورزان از آنها استقبال چندانی نکنند (Kianmehr, et al., 2006). از این رو، در این مقاله یک مکانیزم دوطرفه کننده بسیار ساده، براساس اهرم بندیهای مکانیکی برای گاوآهن بشتابی دوطرفه ارائه شده است. اهرم بندیهای مکانیکی قادرند بدون نیاز به بکارگیری قطعات مکانیکی مثل یاتاقان، چرخ دنده، قطعات غلتشی و لغشی، راهگاه و غیره که هم هزینه بالاتری دارند و هم سرویس و نگهداری و حتی احتمال خرابی زیادی دارند، مسیرهای حرکتی مختلفی را تولید کنند. هدف این مقاله ارائه یک مکانیزم چند میله ای دوطرفه کننده با شرایط ذکور است که با توجه به شرایط کاری مذکور این مکانیزم بتواند گاوآهن بشتابی دوطرفه بهینه سازی و ارزان تر خواهد بود.

## مواد و روش ها

برای بدست آوردن حرکات مورد نیاز گاوآهن بشتابی دوطرفه،

از آنجا که مثلث قائم الزاویه اولیه مکانیزم دایل (AOF) را با داشتن زاویه رأس (۷۰°) و وتر می توان ترسیم کرد، رابطه فوق بر حسب زاویه رأس نوشته شده است. این رابطه در واقع نسبتی از طول وتر AO بعنی  $L$  را (که در طراحی مکانیزم دایل مورد نیاز است) بر حسب زاویه رأس محاسبه می کند. مثلث بدست آمده از رابطه فوق به گونه ای خواهد بود که با طراحی اهرم بندی به کمک آن، قابلیت باز شدن تا زاویه  $= 48^\circ$  یا  $= 42^\circ = \beta$  (حداکثر زاویه تمایل طولی برای بشقابها) را داشته باشد بدون اینکه زاویه DEO (زاویه خروجی مکانیزم) از  $85^\circ$  درجه تجاوز کند (شکل ۱ ب). انتخاب این زاویه حداکثری ( $DEO_{max} = 85^\circ$ ) که در استخراج رابطه (۱) از آن استفاده شده است با توجه به این نکته صورت گرفته است که برای عملکرد صحیح مکانیزم، طول رابطها به گونه ای باید انتخاب شود که مکانیزم در بازترین موقعیت، باعث نشود یکی از رابطهای ورودی یا خروجی (FC) یا (DE) به حالت افقی برسد. با توجه به شرایط طراحی، رابطه DE زودتر می تواند به حالت افقی برسد. از این رو، باید نسبت طول رابطها به گونه ای انتخاب شود که زاویه DEO هرگز به  $90^\circ$  درجه نرسد. برای ایجاد اطمینان زاویه  $85^\circ$  درجه بین منظور انتخاب شده است. این نکته در تحلیل حرکتی و فیلم تهییه شده از عملکرد مکانیزم که توسط نرم افزار CATIA P3V5R15 انجام پذیرفت نیز تأیید گردید.

در کاربردهایی که این مکانیزم در آن استفاده شده است مثل جایجا کردن فیلم در دوربین (Shirkhorshidian, 2002) عموماً حرکت مستقیم الخط کامل نقطه A مدد نظر است. در این شرایط زاویه  $70^\circ$  (شکل ۱ الف) باید بسیار کوچک انتخاب شود ( $10^\circ$  تا  $15^\circ$  درجه) و از این رو دامنه حرکتی رابط AO کوچک خواهد بود. بکارگیری این شرایط در طراحی مکانیزم برای گاوآهن بشقابی دوطرفه مناسب نیست. چراکه قرار دادن بشقابها بر روی رابط AO باعث می شود زاویه تمایل طولی بشقابها حتی در بازترین حالت مکانیزم مناسب نباشد (شکل ۱ ب)، بنابراین از آنجا که حرکت مستقیم الخط کامل خیش اول بشقابی چندان مورد نظر نیست می توان زاویه طراحی را بزرگتر انتخاب کرد (گرچه به خاطر ابعاد بزرگ گاوآهن، در عمل حرکت آن مستقیم الخط دیده می شود). با استفاده از رابطه (۱) برای زوایای مختلف و به دست آوردن طولهای مختلف اهرم بندی و بررسی عملکرد هریک در نرم افزار CATIA، نهایتاً  $45^\circ = 70^\circ$  برای طراحی مکانیزم انتخاب گردید و از روی آن طول نسبی رابطها محاسبه شد. پس از محاسبه  $L$  بر حسب AO به روش فوق، طول  $L'$  را می توان به صورت اختیاری لحاظ کرد. تنها محدودیت انتخاب  $L'$  زمانی است که حرکت مستقیم الخط کامل مدد نظر باشد به طوری که هرچه این طول تفاوت کمتری با نصف طول AO داشته باشد حرکت نقطه A به مستقیم الخط نزدیک تر خواهد بود (Shirkhorshidian, 2002).

نسبت طول بازوها و محل قرارگرفتن لولاها با اهمیت هستند. در حالت کلی می توان گفت که مکانیزم دایل با رسم یک مثلث قائم الزاویه AOF (شکل ۱ الف) به دست می آید که بر روی اضلاع  $AC=F'C'=L'$  و  $AD=F'D'=L$  طول های AO و OF' می شوند. نقاط C و D و نیز محل تلاقی عمود منصف پاره خط های F'O با DD' (نقطه E) لولاها این مکانیزم را تشکیل خواهند داد (شکل ۱ ب).

همانطور که در شکل ۱ ب مشاهده می شود، در نظر است از رابط AO به عنوان شاسی متحرك حامل بشقابها در گاوآهن بشقابی دوطرفه استفاده شود. برای ایجاد تقارن در هر دو حالت راست و چپ ریز، لازم است که صفحه بشقابها به صورت ثابت و عمود بر محور حامل باشد (شکل ۱ ب). همین امر نیاز به مکانیزم ثانویه تنظیم زاویه تمایل طولی بشقابها که در طرح های متداول وجود دارد مرتفع می سازد. برای بهینه سازی این مکانیزم، شرایط کاری گاوآهن بشقابی دوطرفه مدد نظر می باشند. این شرایط شامل موارد ذیل می گردد:

(الف) مکانیزم چرخش یک مرحله ای شاسی حامل بشقابها از موقعیت راست ریز به چپ ریز (و بالعکس) در سطح افقی به صورت متقاضی به طوری که زوایای تمایل طولی متعارف بشقابها ( $42^\circ$  تا  $47^\circ$  درجه) قابل حصول باشد.

(ب) مکانیزم چرخش چرخ شیار عقبی با داشتن مقداری تمایل طولی چرخ.

(ج) مکانیزم توقف برای تثیت گاوآهن به هنگام شخم (قفل شدن مکانیزم) که بتواند نقش بک مکانیزم اینمی را نیز ایفا کند.

(د) مکانیزم تغییر زاویه تمایل طولی بشقابها.  
 (ه) حالت حمل و نقل دستگاه در خارج از مزروعه (ترابری).  
 موارد الف و ب مکانیزمهای اصلی و موارد ج تا ه مکانیزمهای مکمل گاوآهن بشقابی دوطرفه خواهند بود که برای عملکرد بهتر و مؤثرتر و نیز کاربری راحت تر اضافه شده اند. بنابراین، مراحل طراحی مکانیزم گاوآهن بشقابی دوطرفه به صورت زیر خواهد بود:

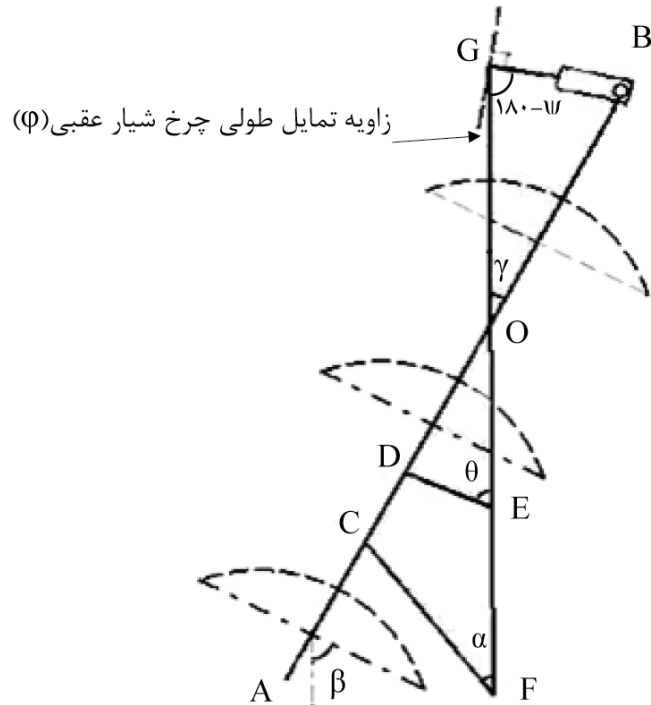
### الف) مکانیزم های اصلی

۱- مکانیزم شاسی حامل بشقابها: با توجه به مطالب فوق الذکر، یعنی مراحل طراحی اهرم بندی اولیه و ادغام آن با شرایط کاری گاوآهن بشقابی دوطرفه، رابطه (۱) با بررسی روابط هندسی حاکم استخراج شده است (Saedi, 2008).

$$L = AO \left( 1 - \frac{1 - \cos \gamma_0}{1.746 - \cos \gamma_0 - \sqrt{0.8868 - \sin^2 \gamma_0}} \right) \quad (1)$$

$$(\gamma_0 = AOF)$$

در این رابطه  $70^\circ$  زاویه مکانیزم در مرحله طراحی یا "زاویه طراحی" می باشد.



شکل ۲- مکانیزم پنج رابطی گاوآهن بشقابی دوطرفه و زوایای تعیین کننده طراحی ( $\psi$  زاویه تمایل طولی چرخ شیار عقبی است).

**Fig. 2.** Five-bar mechanism of reversible disk plow with important design angles ( $\psi$  is the angle between link BG and upward direction of link OG)

متقارن نسبت به حالت اولیه درآید.

#### ب) مکانیزم های مکمل

همانگونه که بیان گردید، در حین تغییر مسیر رابط AB مکانیزم (شاسی متحرک حامل بشقاب ها)، نقطه O در یک مسیر نسبتاً مستقیم عمودی حرکت رفت و برگشتی انجام می دهد تا دواره به حالت اولیه برگردد. از این ویژگی سه خاصیت مهم دیگر برای طراحی گاوآهن بشقابی دوطرفه به دست خواهد آمد که قابلیتهای جدیدی به حساب می آیند:

۱- با مهار مناسب نقطه O در واقع می توان قفل مناسبی در مقابل حرکت مکانیزم دوطرفه کننده منظور نمود.

۲- با بالا و پایین بردن جزئی نقطه O در حقیقت می توان زاویه تمایل طولی<sup>۱</sup> گاوآهن بشقابی را تغییر داد.

۳- با متوقف کردن نقطه O در موقعیت نهایی بالایی و ضعیت حمل و نقل (ترابری)<sup>۲</sup> مناسب ایجاد خواهد شد.

در شکل ۳ نمای بالایی و در شکل ۴ نمای جانبی و پشتی گاوآهن بشقابی دوطرفه مدل شده توسط نرم افزار CATIA

۲- مکانیزم چرخ شیار عقبی: مرحله بعدی بهینه سازی مکانیزم لحاظ کردن چرخ شیار عقبی می باشد. این چرخ در پشت آخرین خیش بشقابی بایستی به گونه ای قرار گیرد که با دیواره شیار تماس داشته باشد. معمولاً برای آن یک زاویه تمایل طولی هم نسبت به راستای حرکت درنظر می گیرند (Shafiei, 1992) (شکل ۲). همانگونه که در این شکل مشاهده می شود، برای استقرار چرخ شیار عقبی در موقعیت درست، طول های AO و FO مکانیزم دانیل از سمت O به اندازه کافی امتداد داده شده اند تا به ترتیب، نقاط B و G به دست آیند. رابط پنجم (BG) به طریقه نشان داده شده به مکانیزم چهار رابطی اولیه افزوده می شود. محل در نظر گرفته شده برای چرخ شیار عقبی در نقطه G انتخاب می گردد. انتخاب ابعاد مناسب برای طول های OB و OG به روش ترسیمی می باشد. با تحلیل حرکت مکانیزم در نرم افزار CATIA مشاهده شد که مکانیزم پنج رابطی به دست آمده قابلیت حرکت ندارد، یعنی درجه آزادی آن صفر است. برای رفع این مشکل، رابط جدید BG به صورت شیار دار طراحی شده است تا یک درجه آزادی به آن داده شود (شکل ۲). در این صورت با حرکت مکانیزم، نقطه B نیز با حرکتی که تلفیقی از حرکت رابط های BG و AB می باشد به گونه ای تغییر موقعیت خواهد داد که پس از اتمام حرکت در موقعیت

1- Disk angle  
2- Transport

به صورت ریلی درآمده و قطعه طراحی شده ای که به وسیله سوراخ‌هایی درجه بندی شده است در جایگاه ریلی ایجاد شده قرار خواهد گرفت. با تغییر موقعیت سوراخ‌ها و محکم کردن آن از طریق پیچ و مهره، زاویه تمایل طولی تغییر کرده و تثبیت می‌شود (شماره ۲ در شکل ۳). همچنین با دقت در شکل ۳ مشاهده می‌شود که جک هیدرولیکی دوطرفه که محرک مکانیزم است وقتی به اندازه نیمی از مسیر خود باز می‌شود، شاسی حامل بشقاب‌ها از مسیر خود را طی می‌کند و در حالتی قرار می‌گیرد که صفحه بشقاب‌ها (و چرخ شیار عقبی) عمود بر راستای حرکت واقع می‌شوند. این حالت برای وضعیت حمل و نقل گاوآهن در خارج از مزرعه (ترابری)، مذکور می‌باشد. (شکل ۴ (ج)).

## نتایج و بحث

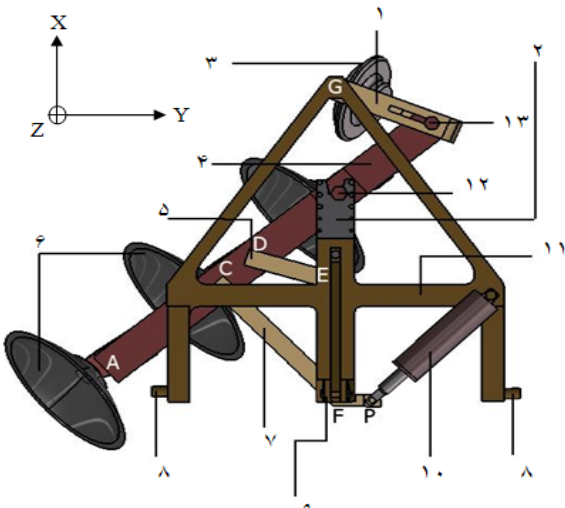
### تحلیل مکانیزم

تحلیل مکانیزم برای بررسی عملکرد و حصول اطمینان از کارایی اهرم بندی در شرایط مختلف امری اجتناب ناپذیر است. این تحلیل مشتمل بر تحلیل سینماتیکی (حرکتی) و تحلیل نیرویی می‌باشد.

P3V5R15 نشان داده شده است. مکانیزم‌های توقف (پین O) و تغییر زاویه تمایل طولی بشقاب‌ها را در این تصاویر می‌توان مشاهده نمود.

به هنگامی که گاوآهن در خاک مشغول شخم است، کلیه نیروهای وارد بر شاسی متحرک حامل بشقاب‌ها از طرف خاک به گونه‌ای است که تمایل دارد زاویه تمایل طولی بشقاب‌ها را کم کند، به عبارت دیگر این نیروها در جهت فشار دادن نقطه O به سمت مفصل‌های E و F عمل می‌کنند. دلیل این مسئله این است که از بین نیروهای سه گانه‌ای که در سه راستای مختصات به بشقاب وارد می‌شوند، تنها نیرویی که در راستای حرکت وارد می‌شود (نیروی مقاومت کششی) قادر به ایجاد گشتاور فوق است (FMO, 1987).

از این رو، وضعیت توقف مکانیزم با قرار دادن پینی در نقطه O مکانیزم ایجاد شده است، به طوری که با قرار دادن یک توقف در سر راه این پین، حرکت کل مکانیزم متوقف خواهد شد. این پین می‌تواند از نوع برشی باشد که جنبه اینمی نیز به دستگاه بدهد (شماره ۱۲ در شکل ۳). اگر نقطه توقف مذکور به طبقی جابجا و سپس مجدد تثبیت گردد، مکانیزم مناسبی برای تغییر زاویه تمایل طولی بشقابها حاصل خواهد گردید. برای انجام این کار، قسمتی از شاسی ثابت FG



شکل ۳-نمای بالایی از گاوآهن بشقابی دوطرفه سوراخ عقبی BG (رابط خروجی مکانیزم پنج رابطی) -۲ مکانیزم تغییر زاویه تمایل طولی -۳ چرخ شیار عقبی -۴ شاسی متحرک حامل بشقابها (رابط AB مکانیزم) -۵ رابط خروجی مکانیزم چهار رابطی) -۶ بشقابهای خاکورز -۷ رابط FC (رابط ورودی مکانیزم) -۸ محل اتصال گاوآهن به بازوی پایینی اتصال سه نقطه تراکتور -۹ محل اتصال گاوآهن به بازوی بالایی اتصال سه نقطه تراکتور -۱۰ جک هیدرولیکی دوطرفه برای راه اندازی مکانیزم -۱۱ شاسی ثابت گاوآهن (رابط تغییر شکل یافته FG) -۱۲ رابط زمین مکانیزم -۱۳ پین (پین برشی) B.

Fig. 3. Top view of the mounted reversible disk plow with Daniel mechanism.

1- Rear wheel link (BG) (output link) 2- Disk angle adjustment mechanism 3- Rear wheel 4- Link AB (disk carrying frame) 5- Link ED 6- Disks 7- Link FC 8- Lower hitch point 9-Upper hitch point 10- Hydraulic cylinder 11- Fixed frame (modified link FG) 12- Pin O (Stop mechanism) 13- Pin B.

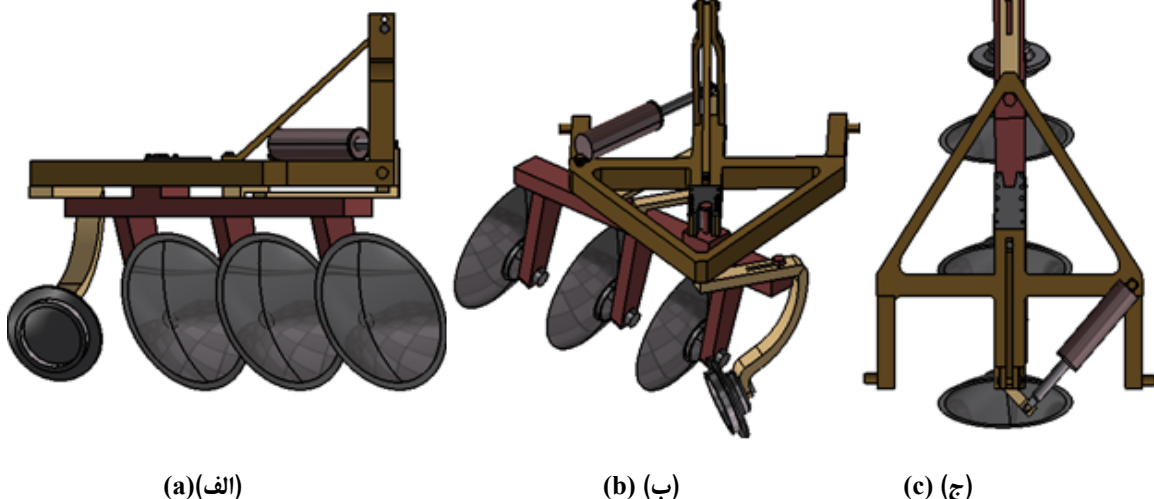
## تحلیل حرکتی

کارایی مکانیزم دانیل در طراحی گاوآهن بشقابی دوطرفه توسط فیلمی که پس از تحلیل حرکتی در محیط DMU Kinematics نرم افزار CATIA تهیه گردید بررسی شد و عملکرد درست مکانیزم تأیید گردید.

مکانیزم طراحی شده دو حرکت مستقیم الخط همزمان تولید می‌کند؛ یکی در نقطه A به صورت عرضی و یکی در نقطه O به صورت طولی (شکل ۱ ب و شکل ۵). اما از آنجا که مکانیزم با زاویه ای نسبتاً بزرگ (۴۵ درجه) طراحی شده است و درگستره ای بیشتر از زاویه طراحی عمل می‌کند ( $\gamma < -48^\circ$ ، مسیر حرکت نقاط مذکور، قدری با مستقیم الخط متفاوت می‌باشد. در کاربرد مورد نظر این تحقیق، ویژگی کامل و دقیق بودن مسیر نقطه A مدنظر نمی‌باشد و یک مسیر مستقیم الخط غیر دقیق هم ویژگی مفیدی برای گاوآهن بشقابی دوطرفه به حساب می‌آید. از این جهت که می‌توان بدون ایجاد فاصله طولی بین چرخ تراکتور و خیش بشقابی اول، و تنها با مقداری جابجایی عرضی خیش اول (در راستای محور چرخ عقب تراکتور)، زاویه تمایل طولی بشقاب‌ها را تغییر داد. اگر کمترین فاصله خیش اول از چرخ عقب پنج سانتیمتر و برای تمایل طولی ۴۲ درجه انتخاب گردد، این فاصله در بیشترین حالت خود و برای تمایل طولی ۴۷ درجه، برای یک گاوآهن با شاسی متحرک

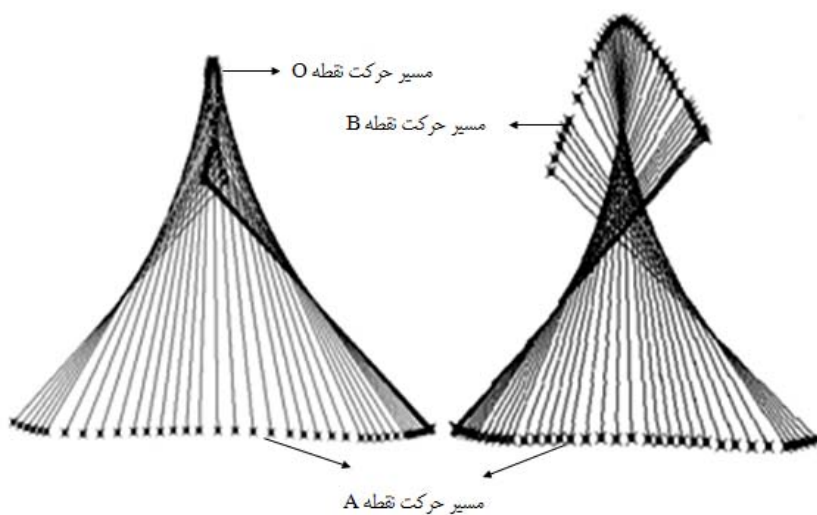
**تغییرات سرعت و شتاب شاسی متحرک حامل بشقاب‌ها**

شکل ۶ نمودار تغییرات سرعت خطی شاسی متحرک در نقطه A که با استفاده از نرم افزار CATIA ترسیم شده است را نشان می‌دهد. در این نمودار ملاحظه می‌شود که شروع و خاتمه حرکت با چesh ناگهانی سرعت انجام می‌شود و سپس شاسی با سرعتی تقریباً ثابت مسیرش را ادامه می‌دهد. این چesh سرعت بدین دلیل است که در ابتدای حرکت، سرعت مکانیزم دوطرفه کننده به یکباره از صفر افزایش ناگهانی می‌یابد. چesh کوچک نشان داده شده در وسط نمودار سرعت نشان دهنده این است که وقتی بشقابها نیمی از مسیر خود را پیموده اند (صفحه بشقابها عمود بر مسیر حرکت)، برای ادامه مسیر نیاز به افزایش جزئی سرعت دارند.



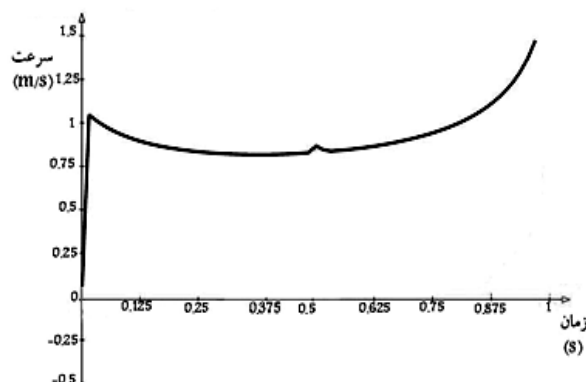
شکل ۴- (الف) نمای جانبی گاوآهن بشقابی طراحی شده؛ وضعیت قرار گیری رابط‌ها به صورت غیرهمسطح در آن مشخص می‌باشد. (ب) نمای پشتی گاوآهن بشقابی طراحی شده در وضعیت چپ ریز؛ شکل تغییر یافته رابط چرخ شیار عقبی برای قرارگرفتن در موقعیت درست در پشت بشقاب‌ها قابل مشاهده است. (ج) نمای بالایی از وضعیت تراپری گاوآهن.

**Fig. 4.** (a) Side view of the designed disk plow; multilevel arrangement of links is shown. (b) Back view of the designed disk plow in left delivery position; modified link of the rear wheel to provide the right position relative to the last disk is shown. (c) Top view of the plow in transport position.



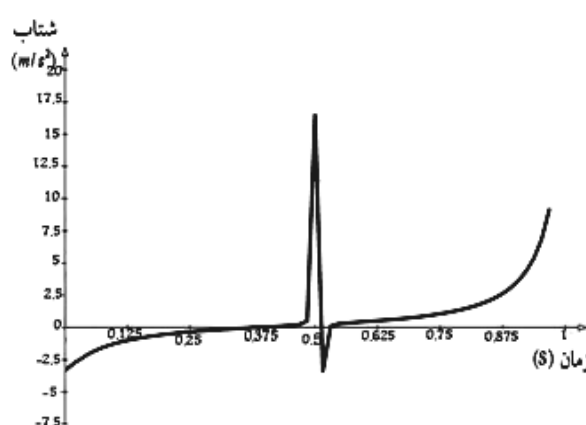
شکل ۵- مسیر حرکت نقاط A، O و B

Fig. 5. Trace of points A, O and B.



شکل ۶- نمودار تغییرات سرعت خطی شاسی حامل بشقابها در نقطه A به هنگام تغییر جهت.

Fig. 6. Velocity curve of disk carrying frame at point A.



شکل ۷- نمودار تغییرات شتاب خطی شاسی حامل بشقابها در نقطه A به هنگام تغییر جهت.

Fig. 7. Acceleration curve of disk carrying frame at point A.

می دهد. برای انجام تحلیل نیرویی در این صفحه از ابعاد و وزن یک گاوآهن بشقابی یک طرفه سه خیش موجود استفاده شده است. در این شکل، بار گستردگی  $W$  وزن شاسی متحرک و بشقاب هاست که به طور یکنواخت در سرتاسر تیر در نظر گرفته شده است. بار متمرک  $P$  و گشتاور  $M$  به ترتیب حاصل وزن و گشتاور وزن چرخ شیار عقبی در موقعیت درست خود می باشند. نیروهای عمودی ( $F(D)$ ,  $F(C)$ ,  $F(B)$ ) در واقع سهمی از وزن گاوآهن بشقابی می باشند که به ترتیب توسط هریک از مفصل های  $C$ ,  $D$  و  $B$  تحمل می شود. با به دست آوردن این نیروها در تیر نامعین نشان داده شده در نهایت می توان حداکثر نیرویی مورد نیاز جک هیدرولیکی برای حرکت دادن به کل مکانیزم را به دست آورد.

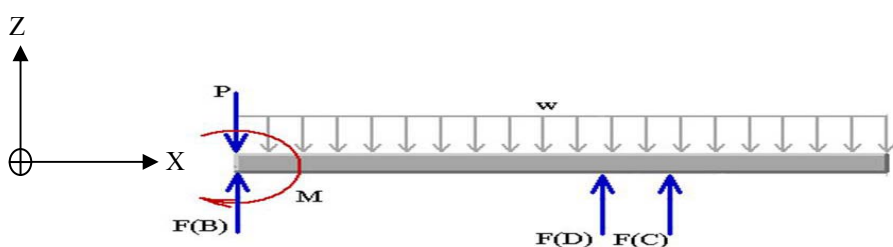
نتایج تحلیل نیرویی گاوآهن طراحی شده در صفحه  $xz$  که با استفاده از نرم افزار Cbeam2000 صورت گرفت نشان داد که هریک از مفصل های  $C$ ,  $D$  و  $B$  به ترتیب در حدود  $62\text{--}66$  و  $16\text{--}22$  درصد از وزن گاوآهن را تحمل می کنند. برای یک گاوآهن سه خیش به وزن تقریبی  $7350$  نیوتن مقدار این نیروها در حدود  $4553/37$  و  $1816/19$  نیوتن خواهد بود. اگر هریک از این نیروها در بیشترین ضرب اصطکاک فلز با فلز یعنی  $4/40$  (Shadravan, 2006) ضرب شده و حاصل در فاصله هر مفصل تا مفصل اعمال نیروی جک هیدرولیکی (مفصل  $F$ ) ضرب شود، گشتاور مورد نیاز برای حرکت دادن به مکانیزم به میزان  $2585936/95$  نیوتن میلیمتر به دست می آید. با توجه به موقعیت محل اعمال این گشتاور، حداکثر نیروی مورد نیاز جک هیدرولیکی برای به حرکت در آوردن مکانیزم برابر با  $24460/95$  نیوتن به دست خواهد آمد. بدیهی است به دلیل اینکه تغییر وضعیت بشقاب ها در خارج خاک صورت می گیرد در این تحلیل، وزن خاک روی بشقاب ها به هنگام شخم لحاظ نشده است. این وزن در برابر وزن شاسی و بشقابها ناچیز است. از طرفی از آنجا که به هنگام شخم قفل مکانیزم درگیر می باشد، تأثیر این نیرو بر روی قفل مکانیزم خواهد بود که این مسئله در تعیین ابعاد قفل به عنوان یک پین برشی (مکانیزم اینمی) لحاظ گردیده است.

شکل ۷ نمودار روند تغییرات شتاب خطی شاسی حامل بشقابها در نقطه A با به کارگیری نرم افزار CATIA را نشان می دهد. با توجه به این نمودار مشاهده می شود که در اینجا نیز در شروع و خاتمه حرکت، شتاب دارای مقدار قدر مطلق زیادی می باشد. پس از آن، تغییرات شتاب به صورت ملایم صورت می پذیرد. اما در میانه مسیر (صفحه بشقابها عمود بر مسیر حرکت)، یک جهش در شتاب اتفاق می افتد. جهش هایی که در این نمودار دیده می شود بیان کننده مجانب های عمودی می باشند. یعنی اگر نمودار شتاب بدون در نظر گرفتن زمان ترسیم می شد، شکستگی وسط این نمودار نمایان نمی شد. دوطرف این مجانب، دارای نمودارهای تغییر مکان متفاوتی می باشد. در مجاورت این مجانب، مقادیر به سمت بی نهایت میل می کند (که در شکل ها نشان داده نشده است).

### تحلیل نیرویی

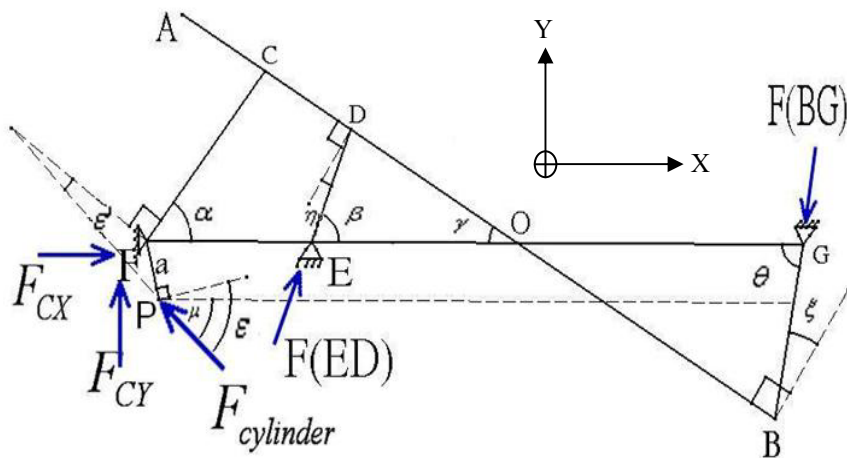
این تحلیل علاوه بر وزن زیاد شاسی بشقابها که توسط شاسی ثابت تحمل می شود، به سبب نیروهایی که رابطه های پنج گانه مکانیزم به یکدیگر وارد می کنند و نهایتاً محاسبه نیروی مورد نیاز جک هیدرولیکی دوطرفه برای راه اندازی مکانیزم حائز اهمیت است. تحلیل نیرویی گاوآهن بشقابی دوطرفه طراحی شده در شرایط خارج خاک صورت گرفته است. یعنی از هنگامی که گاوآهن پس از یک سری شخم از خاک بیرون آورده می شود تا زمانی که پس از تغییر جهت بشقابها دوباره به خاک بر می گردد. روش های تحلیل نیروها و گشتاورها در اهرم بندی ها را به سه دسته می توان تقسیم کرد که به ترتیب افزایش پیچیدگی شامل روش استاتیکی، روش سینواستاتیکی و روش دینامیکی می شود (Rastgou, 1997). در این تحقیق نیروهای وارد بر بخش های مختلف مکانیزم پنج رابطی گاوآهن بشقابی دوطرفه به روش استاتیکی محاسبه شده است. از آنجا که نیروهای وارد بر گاوآهن مورد بحث در هر سه جهت فضایی واقع شده اند، تحلیل در دو صفحه  $xy$  و  $xz$  به طور جداگانه صورت پذیرفته است. به گونه ای که صفحه  $xy$  برای تحلیل نیروی داخلی رابطه ها و نیز جک هیدرولیکی، و صفحه  $xz$  برای تحلیل وزن انتخاب شده است.

شکل ۸ نمودار جسم آزاد شاسی متتحرک در صفحه XZ را نشان



شکل ۸- نمودار جسم آزاد شاسی متتحرک حامل بشقابها در صفحه XZ.

Fig. 8. F.B.D of disk carrying frame in XZ plane.



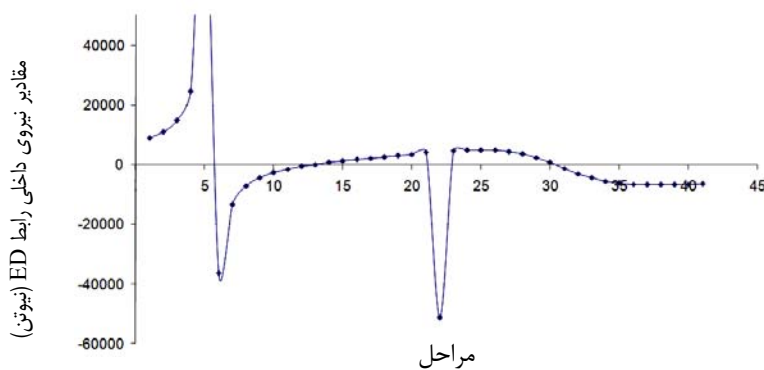
شکل ۹ - نمودار جسم آزاد شاسی متحرک حامل بشقاب ها در صفحه XY.

Fig. 9. F.B.D of disk carrying frame in XY plane.

حرکت مکانیزم تغییر می کنند، تحلیل استاتیکی در مراحل مختلف حرکتی و با استفاده از مرحله بندی حرکت مکانیزم انجام شده است. بدین منظور حرکت کامل مکانیزم گاؤاهن از موقعیت راست ریز به چپ ریز (و یا بالعکس) که معادل ۹۶ درجه زاویه  $\gamma$  (شکل ۲) می باشد، به ۴۰ قسمت تقسیم شده (در مجموع ۴۱ مرحله) و کلیه زوایای مورد نیاز برای تحلیل نیرویی (اشکال ۲ و ۹) با داده برداری های مکرر ۴۱ مرتبه ثبت گردیدند. خواندن داده های زوایه ای به کمک نرم افزار CATIA و در محیط DMU صورت پذیرفت. با استفاده از این داده ها، معادلات تعادل استاتیکی ۴۱ مرتبه حل شد. از این رو، برای مقادیر نیرویی مجهول، نمودارهایی که نشان دهنده روند تغییرات آنها در مراحل کاری مختلف مکانیزم است حاصل گردید (شکل های ۱۰، ۱۱ و ۱۲).

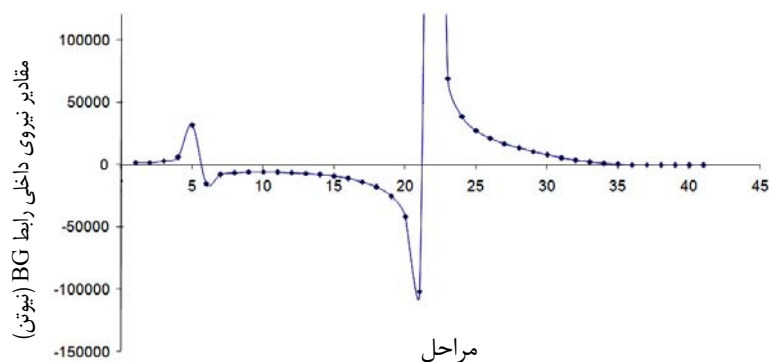
شکل ۹ نمودار جسم آزاد شاسی متحرک حامل بشقاب ها در صفحه XY را نشان می دهد. در این شکل رابط های BG (با صرفنظر از اصطکاک پین B با شیار موجود در آن) و ED، رابط های دونیرویی می باشند که در آنها نیروی وارد بر رابط همواره در راستای آن است. رابط FC به دلیل اینکه نیروی جک هیدرولیکی ( $F_{cylinder}$ ) به آن وارد می شود دونیرویی نخواهد بود. از این رو در شکل ۹ برای تکیه گاه F دو نیروی کاملاً مجهول عمود برهم در نظر گرفته شده است ( $F_{cy}$  و  $F_{cx}$ ).

از بین پنج پارامتر نیرویی نشان داده شده در شکل ۹ به غیر از  $F_{cylinder}$  که با استفاده از تحلیل نیرویی صفحه XZ محاسبه می شود، بقیه مجهول می باشند؛ لذا برای به دست آوردن مجهولات، به غیر از معادلات تعادل استاتیکی کل مکانیزم (شکل ۹)، از معادلات تعادل رابط AB نیز به صورت کمکی استفاده شده است. اما از آنجا که کلیه زوایای مربوط به روابط تعادل استاتیکی (شکل ۹) در حین

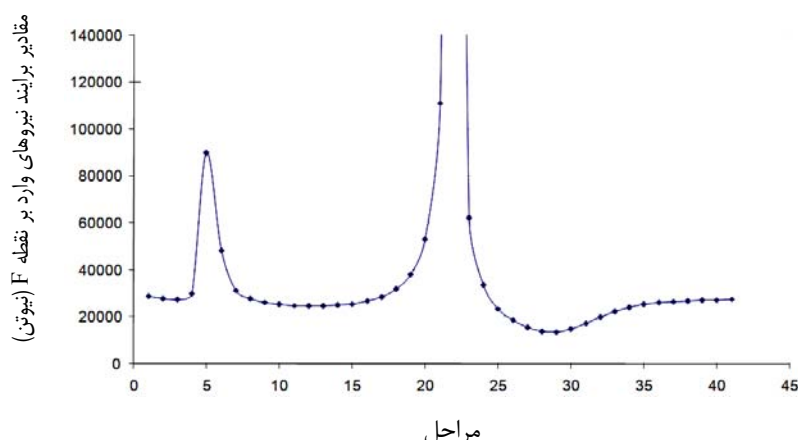


شکل ۱۰ - نمودار تغییرات نیروی F(ED) وارد بر رابط دونیرویی ED در صفحه XY و در مراحل کاری مختلف مکانیزم.

Fig. 10. Force curve of link ED in XY plane in different working steps of mechanism.



شکل ۱۱- نمودار تغییرات نیروی (F(BG) وارد بر رابط دو نیرویی BG در صفحه XY در مراحل کاری مختلف مکانیزم.  
Fig. 11. Force curve of link BG in XY plane in different working steps of mechanism.



شکل ۱۲- نمودار برآیند نیروهای وارد شده به مفصل F در صفحه XY و در مراحل کاری مختلف مکانیزم.  
Fig. 12. Resultant force curve of pivot F in XY plane in different working steps of mechanism.

وارده در صفحه XY با استفاده از نمودارهای اشکال ۱۰ تا ۱۲ (نیروی وارد در مرحله ۵، ۵ و ۵ به ترتیب برای رابطهای BG, ED و FC).  
 (ب) تعیین کوچکترین و ضعیف ترین مقطع رابط به خاطر تمرکز تنش.  
 (ج) انتخاب ماده (فولاد ساختمانی st36) با تنش تسلیم ۳۶۵ Mpa برای رابط ها و فولادی با تنش برشی مجاز tall = ۸۵ Mpa.  
 (د) انتخاب ضریب اطمینان ۰.۲.

شکستگی موجود در نمودارهای فوق نشان دهنده آن است که نمودار نیروی رابط ED در مرحله پنجم و رابطهای BG و FC در مرحله بیست و دوم دارای مجانب قائم می باشند. این مطلب نشان دهنده آن است که در مجاورت این مجانبهای مقدار نیرو از یک مقدار بی نهایت منفی تغییر مثبت به یک باره به یک مقدار بی نهایت منفی تغییر می کند. این حالت یک حالت تئوری از عملکرد مکانیزم می باشد، چراکه در عمل، بدیهی است که مقدار بی نهایت برای نیرو عملی نمی باشد. بنابراین هیچکدام از این حالات به عنوان سخت ترین شرایط نیرویی حاکم بر رابط در مرحله تعیین سطح مقطع در نظر گرفته نمی شوند.

با انجام تحلیل نیرویی می توان ابعاد مقطع عرضی بخشهای مختلف مکانیزم را با یک تحلیل ابعادی در مراحل ذیل انجام داد:  
 (الف) رسم نمودار جسم آزاد هر رابط و لحاظ کردن نیروی وزن وارد بر مفصل رابط (در صفحه XZ) و نیز بیشترین نیروی محوری

## نتیجه گیری

شده به راحتی به ما اجازه تعییه مکانیزم گردش همزمان چرخ شیار عقبی را داده است به طوری که نیازی به مکانیزم جدائانه ای نمی باشد. ۴- با طراحی انجام شده قادر گشته ایم قفلی مناسب برای تثبیت مکانیزم در حین کار در خاک ایجاد نماییم (شکل ۳ شماره ۱۲) که این قفل از این جهت که می تواند به صورت یک پین برشی انتخاب شود جبهه ایمنی نیز به دستگاه می بخشند. ۵- در این طرح حالتی نیز برای حمل و نقل خارج از مزرعه دستگاه پیش بینی شده است تا در حین نقل و انتقال، دستگاه کاملاً در پشت تراکتور قرار گرفته و حالت خارج از مرکز بودن (مانند شرایط کاری) نداشته باشد (شکل ۴). ۶- در این طرح یک مکانیزم بسیار ساده برای تغییر زاویه تمایل طولی پیش بینی شده است (شکل ۳ شماره ۲) که زحمت روشهای موجود (که در آنها تک تک بشقابها بایستی از طریق پیچ اتصال جابجا شوند) را از بین برده است. موارد مذکور باعث شده اند که این گاوآهن پیچیدگیهای طرح های موجود را نداشته باشد و به یک دستگاه بسیار ساده، ارزان، با کاربری راحت و با سروپیس نگهداری خیلی کم تبدیل گردد. ساخت این دستگاه بسیار ساده خواهد و حتی پیاده سازی آن روی گاوآنهای بشقابی یک طرفه موجود به سادگی انجام پذیر است.

این دستگاه در مرحله طراحی می باشد. از این رو، بدیهی ترین پیشنهاد، ساخت و ارزیابی عملکرد آن می باشد. پیشنهادات زیر در حوزه ارزیابی و نیز طراحی قبل از ائمه می باشند:

- الف- امکان ایجاد یک قفل کامل و فرآگیر به منظور خنثی نمودن ارتعاشات احتمالی وارد بر مکانیزم.
- ب- تدارک مکانیزم های تنظیم موقعیت طولی، عرضی و ارتفاع چرخ شیار عقبی.

ج- تعیین طراحی صورت گرفته برای طراحی گاوآهن بشقابی دوطرفه نیمه سوار و کششی.

د- بررسی امکان استفاده از مکانیزم دانیل برای گاوآهن های بشقابی عمودی و نیز گاوآهن های برگرداندار دوطرفه جدید که دارای یک سری خیش می باشند (گاوآهن های دوطرفه لولاپی یا مربعی).

در این تحقیق یک گاوآهن بشقابی دوطرفه سوار سه خیش با بکارگیری و بهینه سازی مکانیزم چهار رابطی خط مستقیم دانیل طراحی و مدل گردید. در بخشی از این مدل سازی یک رابط به مکانیزم افزوده شد تا در نهایت یک مکانیزم پنج رابطی حاصل گردد. تحلیلهای حرکتی و نیرویی انجام شده در کنار فیلم تهیه شده از عملکرد این گاوآهن در محیط CATIA عملکرد درست مکانیزم را تأیید می کند.

طرح های موجود گاوآهن بشقابی دوطرفه دارای یک یاتاقان مرکزی هستند که هم مسئول تحمل وزن سنگین گاوآهن بشقابی است و هم وظیفه گردش افقی این شاسی سنگین را دارد. وجود این نوع یاتاقان قوی هم هزینه بر است و هم سروپیس و نگهداری زیاد و حساسی می طبلد. این شرایط همچنین وجود یک مکانیزم ثانویه برای تطبیق و تنظیم زاویه تمایل طولی بشقابها را ایجاد می کند چراکه امکان گردش یک مرحله ای بشقابها برای تولید زوایای تمایل طولی مناسب (۴۲ تا ۴۷ درجه) وجود ندارد. مکانیزم طراحی شده در این مقاله بر اساس اهرم بندی های مکانیکی است که قطعاتی ساده و معمولی است که فرآیند ساخت ساده ای دارند و نیاز به قطعات پیچیده تر مثل چرخدنده، یاتاقان، قطعات غلتتشی و لغزشی، راهگاه و غیره را مرتفع می سازد. ایجاد حرکت توسط این اهرم بندی ها با حداقل اصطکاک در لولاهای انجام می گردد و نیروی لازم توسط یک جک هیدرولیکی دوطرفه تأمین می گردد. به طور کلی مزایای این طرح که جنبه های نوآورانه آن را روشن می سازد بدین شرح است:

- ۱- وزن گاوآهن بجای یک نقطه در سه نقطه مختلف توزیع شده است. همچنین بجای یک لولا، سه لولا مسئول ایجاد گردش های افقی هستند.
- ۲- این طراحی به گونه ای است که در حین گردش افقی بشقابها برای تبدیل به حالت های چپ و راست ریز، دوران به معنی مصطلح انجام نشود و این امر از طریق حرکتهای مستقیم الخط عمودی و افقی انجام گردد (شکل ۱ ب). به همین دلیل دستگاه از داشتن یک یاتاقان مرکزی قوی بی نیاز است.
- ۳- نوع طراحی انجام

## منابع

1. Abu-Hamdeh, N. H., R. C. Reeder. 2003. A nonlinear 3D finite element analysis of the soil forces acting on a disk plow. *Soil and Tillage Research* 74: 115-124.
2. Aghkhani, M. 1995. Design and fabrication of a driven disk harrow. MSc thesis. Faculty of Agriculture. Tarbiat Modarres University. Tehran. Iran. (in Farsi).
3. Arvidsson, J., T. Keller, K. Gustafsson. 2004. Specific draught for mouldboard plough, chisel plough and disc harrow at different water contents. *Soil and Tillage Research* 79: 221-231.
4. Azadbakht, M. 1998. Design, fabrication and evaluation of a field driven disk plow. MSc thesis. Faculty of Agriculture. Shiraz University. Shiraz. Iran. (in Farsi).
5. Fatehi, M. 2009. Design and manufacturing of a turnover mechanism and hydraulic system for the reversible combined plough (disk+chisel). MSc thesis. Faculty of Agriculture. Shahrood University.

- Shahr Kord. Iran. (in Farsi).
- 6. Godwin, R. J., D. A. T. Seig, M. Allott. 1985. The development and evaluation of a force prediction model for agricultural discs. *Journal of Terramechanics* 22: 172-173.
  - 7. Hann, M. J., J. Giessibl. 1998. Force Measurements on Driven Discs. *Journal of Agricultural Engineering Research* 69: 149-157.
  - 8. Hettiaratchi, D. R. P. 1997. Prediction of Soil Forces Acting on Concave Agricultural Discs. *Journal of Agricultural Engineering Research* 68: 51-62.
  - 9. John Deere. 1987. Fundamentals of machine operation (FMO), tillage. Deere & Company.
  - 10. Kianmehr, M. H., J. Khazaei, and S. R. Hassanbeygi. 2005. Design, development and evaluation of a three bottom two way moldboard plow adapted for 65-75 HP tractors. Proc. International Congress on Information Technology in Agriculture, Food and Environment. Adana. Turkey: 519- 524.
  - 11. Kianmehr, M. H., S. R. Hassanbeygi, and J. Khazaei. 2006. Comparison of a Three-Harrow Tow-Way Square Plow with a Three-Harrow One-Way Moldboard Plow. *Journal of Agricultural Engineering Researches* 9: 1-16.
  - 12. O'Dogherty, M. J., R. J. Godwin, M. J. Hann, A. A. Al-Ghazal. 1996. A Geometrical Analysis of Inclined and Tilted Spherical Plough Discs. *Journal of Agricultural Engineering Research* 63: 205-217.
  - 13. Rastgou, A. 1997. Mechanism design. Tehran Univ. Press. (in Farsi).
  - 14. Saedi, I. 2008. Design of a reversible disk plow. MSc thesis. Faculty of Agriculture. Ferdowsi University of Mashhad. Mashhad. Iran. (in Farsi).
  - 15. Shadravan, A. 2006. Mechanical engineering design. Sanat gostar Press. Fifth Edition. (in Farsi).
  - 16. Shafiei, A. 1992. Principles of farm machinery. Tehran Univ. Press. (in Farsi).
  - 17. Shirkhorshidian, A. 2002. Mechanisms and mechanical devices sourcebook. Tarrah Press. (in Farsi).
  - 18. William, S. A. 1980. Reversible disk plough. U.S Patent, No 4211286.

## بررسی اثر بسامد و زمان ارتعاش بر عملکرد تکاننده ارتعاشی برای برداشت مکانیزه پرتقال تمامسون

حمید قربانپور<sup>۱</sup>- محمدهادی خوش تقاضا<sup>۲\*</sup>- محمد رضا مستوفی سرکاری<sup>۳</sup>

تاریخ دریافت: ۹۰/۷/۴

تاریخ پذیرش: ۹۱/۱/۲۸

### چکیده

برداشت مرکبات بهصورت دستی کاری سخت، پرهزینه و زمان بر است. در این تحقیق بهمنظور امکان سنجی برداشت مکانیزه پرتقال با تکاننده ارتعاشی، در یک آزمایش فاکتوریل بر پایه طرح کاملاً تصادفی با سه تکرار، اثر بسامد، اثر زمان (در سه سطح ۵/۷، ۱۰ و ۲۰ هرتز) و زمان ارتعاش (در سه سطح ۱۰، ۱۵ و ۲۰ ثانیه) بر میزان برداشت و میوه های آسیب دیده پرتقال تمامسون مورد مطالعه قرار گرفت. نتایج آزمایش ها نشان داد که اثر بسامد و زمان ارتعاش در سطح ۱٪ بر درصد برداشت و میوه های آسیب دیده معنی دار بوده؛ ولی اثر متقابل آنها بر صفت های اندازه گیری شده معنی دار نبود. با افزایش بسامد میزان برداشت بطور معنی داری افزایش می یابد که بیشترین میزان آن ۶۲/۸ درصد در بسامد ۱۰ هرتز می باشد. اگرچه با افزایش زمان ارتعاش میزان برداشت افزایش یافت ولی اختلاف معنی داری بین زمان های ۱۵ و ۲۰ ثانیه در بسامد ۱۰ هرتز بر میزان برداشت وجود نداشت. همچنین با افزایش زمان ارتعاش میزان درصد میوه های آسیب دیده نیز بیشتر گردید. با توجه به دلایل مذکور، بسامد ۱۰ هرتز و زمان ارتعاش ۱۵ ثانیه به عنوان مناسب ترین حالت برای برداشت مکانیزه پرتقال تمامسون انتخاب گردید. سرانجام یک مدل ریاضی خطی بر اساس بسامد و زمان ارتعاش برای درصد برداشت و میوه های آسیب دیده پرتقال تمامسون تدوین گردید.

**واژه های کلیدی:** بسامد، تمامسون، زمان ارتعاش، مدل ریاضی، برداشت، میوه های آسیب دیده

به صرفه نیست، لذا مکانیزه نمودن سامانه های برداشت محصول مرکبات برای افزایش سرعت برداشت و کاهش هزینه امری لازم و ضروری است (Sanders, 2005).

ماشین های برداشت میوه با سامانه های مختلف از اواسط قرن بیستم در کشورهای توسعه یافته مورد استفاده قرار گرفته اند. از رایج ترین نوع ماشین های برداشت میوه سامانه های ارتعاشی می باشند؛ که با تولید نیروی ارتعاشی و اعمال آن به تنه یا شاخه درخت موجب ارتعاش اجزاء مختلف درخت و در نتیجه جدا شدن میوه ها از درخت می گردد (Loghavi and Rahimi, 2007). دامنه، بسامد و مدت زمان ارتعاش اعمال شونده، از جمله متغیرهایی می باشند که در عملکرد برداشت کننده های ارتعاشی تأثیر می گذارند. نیروی دینامیکی واردہ بر میوه، با دامنه و توان دوم بسامد ارتعاش متناسب است (Srivastava et al., 1993). زمان معمول ارتعاش درخت بستگی به واریته و میزان رسیدگی میوه بین ۵ تا ۱۲ ثانیه می باشد. هرچه مقدار نیروی کشش بین میوه و شاخه بیشتر باشد، مدت زمان بیشتری برای تکانیدن درخت لازم است (Futch and Roka, 2005).

### مقدمه

مرکبات از جمله محصولات با غی می باشد که از جایگاه بالایی در زمینه اشتغال و ارز آوری برخوردار است و علاوه بر مصارف تازه خوری در صنعت فرآوری و تولید آب میوه نیز استفاده می شود (Zare, 2006). در ایران برداشت مرکبات بهصورت دستی یا سنتی انجام می پذیرد. کشور ایران با برداشت سالانه ۴ میلیون و ۵۰۷ هزار و ۷۰۰ تن مرکبات از ۲۱۵ هزار و ۱۰۵ هکتار باغ های بارور، هفت میلیون تولید کننده مرکبات در جهان و با تولید ۲ میلیون و ۴۰۰ هزار تن پرتقال رتبه هفتم را در جهان دارا می باشد

(Anonymous, 2007). امروزه حدود ۴۵ تا ۳۵ درصد قیمت تمام پرتقال رتبه هفتم را در جهان دارا می باشد

شده در مرکبات، هزینه برداشت می باشد. با افزایش جمعیت جهان و در نتیجه نیاز به محصولات بیشتر، برداشت به روش دستی مقرن

۱- دانشجوی کارشناسی ارشد و دانشیار گروه مکانیک ماشین های کشاورزی،  
دانشگاه تربیت مدرس تهران

۲- نویسنده مسئول: Email: khoshtag@modares.ac.ir

۳- استادیار مؤسسه تحقیقات فنی و مهندسی کرج

## مواد و روش‌ها

آزمایش‌ها در مؤسسه تحقیقات مركبات کشور واقع در رامسر انجام گرفت (زمستان ۱۳۸۸). قطعه مورد آزمایش شامل درختانی از رقم تامسون با طول عمر متوسط ۱۵ تا ۳۰ سال و به قطر تنه ۱۵-۳۰ سانتی‌متر، که روی پایه پونیسیروس پیوند زده بود و دارای فواصل مناسب بین درختان ( $4 \times 4$  متر) که برای حرکت تکاننده مناسب بود، شامل می‌شد. در این تحقیق سعی شد درختان به‌طور کاملاً تصادفی انتخاب گردد و همچنین قطر درخت‌ها یا مکان اتصال گیره با درخت دارای قطرهای یکسان باشند. برای اجرای این پژوهش از یک دستگاه ارتعاش دهنده AUTO PICK MT مدل Arcusin ساخت کشور اسپانیا استفاده شد (شکل ۱). دستگاه ارتعاش دهنده از نوع تنه تکان بوده و بر اتصال سه نقطه تراکتور سوار شده و مورد استفاده قرار گرفت. قسمت‌های مهم دستگاه در شکل قابل مشاهده است. توان کاری ماشین از طریق PTO تراکتور و سامانه واحد هیدرولیک تأمین گردید. محدوده طول دامنه ارتعاش به‌دلیل محدود بودن طول جک هیدرولیکی متصل به بازوی تکاننده، ثابت و حدود ۳۰ mm می‌باشد. همچنین ارتفاع محل اتصال تکاننده به درخت حدود ۸۰ cm انتخاب گردید.

در این تحقیق اثر بسامد و مدت زمان ارتعاش بر میزان برداشت و درصد میوه‌های آسیب دیده بهمنظر امکان سنجی برداشت مکانیزه پرتفال با تکاننده مورد مطالعه قرار گرفت. بدین منظور از یک آزمایش فاکتوریل ( $3 \times 3$ ) در قالب طرح کاملاً تصادفی در سه سطح بسامد ۵/۷ و ۱۰ هرتز و سه سطح زمان ارتعاش ۱۰، ۱۵ و ۲۰ ثانیه با سه تکرار، استفاده گردید. چون درخت تامسون نسبت به سایر گونه‌های مركبات حساس می‌باشد، لذا انتخاب سطوح بسامد بر اساس تحقیق انجام گرفته روی لیمو بوده، تا آسیبی به پوست و ریشه درخت نزند. پارامترهای مستقل در این تحقیق شامل بسامد و زمان ارتعاش و پارامتر قابل اندازه‌گیری میزان برداشت و میزان درصد میوه‌های آسیب دیده می‌باشد.

با اعمال ارتعاش در بسامد و زمان‌های مختلف، تعدادی از میوه‌ها ریزش کرده و از درخت جدا می‌شوند، میوه‌های جداسده بر روی کرباسی (چتر) که در زیر تاج درخت توسط تکاننده پهن می‌گردد، ریخته و جمع‌آوری می‌گردد و تعدادی هم روی شاخه باقی می‌ماند. با جدا کردن میوه‌های باقی مانده بر روی درخت و وزن کردن هر دو گروه میزان برداشت با استفاده از رابطه (۱) محاسبه گردید (Mobli, 1987).

$$P_r = \frac{X}{X+Y} \times 100 \quad (1)$$

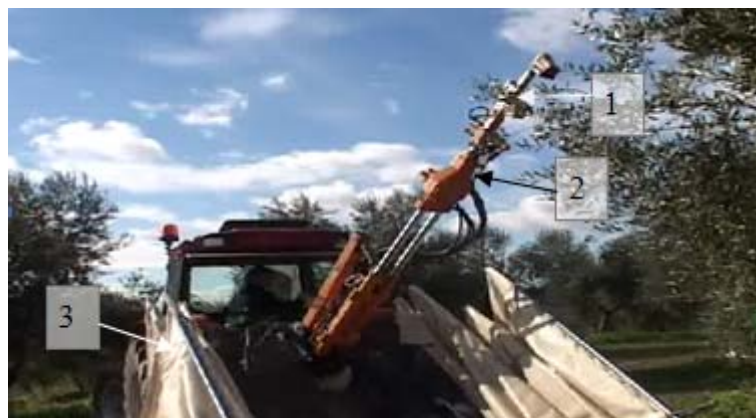
P<sub>r</sub>: میزان برداشت (%)  
X : مقدار میوه‌های ریخته شده در اثر ارتعاش (kg)  
Y : مقدار میوه‌های مانده روی درخت (kg)

میزان برداشت پرتفال والنسیا طی تحقیقی مورد بررسی قرار گرفت. در این آزمایش از زمان ارتعاش بین ۵ تا ۲۰ ثانیه و طول دامنه بین یک تا دو اینچ استفاده شد. میزان برداشت بین ۶۷ تا ۸۹ درصد بود (Whitney, 1998). طی تحقیقی میزان برداشت پرتفال والنسیا با دو نوع تکاننده نوع سوار و تکاننده دستی مورد بررسی قرار گرفت. در این آزمایش از سه سطح فرکانس ۱۵، ۹ و ۴ هرتز استفاده شد. نتایج آزمایش‌ها نشان داد که میزان برداشت در حالت کلی ۶۵ درصد می‌باشد. تکاننده نوع سوار با ۷۲ درصد میزان برداشت نسبت به نوع دستی یا خود گردان با ۵۷ درصد میزان برداشت بازدهی بیشتری داشت. همچنین متوسط میزان نیروی جداسازی ۴۷-۴۴ نیوتون اندازه‌گیری شد. در این تحقیق بسامد ارتعاشی ۱۵ هرتز و زمان ۴-۵ ثانیه با دامنه ارتعاش ۱۲-۲۸ میلی‌متر برای جداسازی پرتفال والنسیا مناسب و پیشنهاد شده است (Torrogrossa *et al.*, 2009).

در پژوهشی، از شاخه تکان به‌منظور برداشت سیب در سه سطح بسامد ۴، ۹ و ۲۰ هرتز و سه دامنه ارتعاش ۳۲، ۲۰ و ۴۰ میلی‌متر بر درصد جداسازی میوه بررسی گردید. نتایج نشان از معنی‌داری تأثیر سطوح مختلف دامنه و بسامد بر جداسازی میوه سیب داشت. در حالیکه تأثیر متقابل این دو فاکتور اثر معنی‌داری بر جداسازی میوه نشان نداد. مناسب‌ترین دامنه و بسامد ارتعاش برای برداشت سیب بر اساس بیشترین درصد جدایش میوه، دامنه ۴۰ میلی‌متر و بسامد ۹ هرتز بود (Kherieh, 2002).

در یک تحقیق انجام شده در ایران، مناسب‌ترین دامنه و بسامد ارتعاش شاخه چهت برداشت مکانیکی برای میوه لیموی ترش، با استفاده از ارتعاش دهنده تراکتوری انتخاب گردید. در این آزمایش تأثیر سه سطح بسامد ۵، ۷/۵ و ۱۰ هرتز و سه سطح دامنه ارتعاش ۴، ۸۰ و ۱۲۰ میلی‌متر مورد بررسی قرار گرفت. نتایج آزمایش‌ها نشان داد که اثر بسامد ارتعاش بر جداسازی میوه معنی‌دار بوده، ولی اثر دامنه و اثرهای متقابل آن‌ها معنی‌دار نبود؛ با افزایش بسامد ارتعاش درصد میوه‌های جدا شده به‌طور معنی‌داری افزایش یافت. ولی در مجموع ترکیب دامنه ارتعاش ۸۰ میلی‌متر با بسامد ارتعاش ۱۰ هرتز مناسب‌ترین حالت برای جداسازی میوه شناخته شد. زیرا در بسامدهای بالاتر منجر به ریزش برگ‌ها می‌گردد (Loghavi and Mohseni, 2005).

از آن‌جا که برداشت مركبات در بیشتر کشورهای پیشرفته نظیر امریکا و استرالیا به صورت مکانیزه می‌باشد، اهمیت و توسعه آن در ایران با توجه به تولید و سطح زیر کشت، حائز اهمیت و مهم می‌باشد. لذا در این تحقیق امکان سنجی برداشت مکانیزه پرتفال تامسون با تکاننده ارتعاشی مورد بررسی و ارزیابی قرار می‌گیرد.



**شکل ۱ -** دستگاه تکاننده Arcusin و قسمت‌های اصلی آن: ۱) گیره ۲) ارتعاش دهنده یا لرزاننده ۳) چتر  
**Fig. 1.** Arcusin shaker machine and its main components: 1) Clamp 2) Vibrator 3) Umbrella

مقادیر میزان برداشت و درصد میوه‌های آسیب دیده در سطوح مختلف بسامد است. با افزایش بسامد ارتعاش از ۵ تا ۱۰ هرتز، میزان برداشت به طور معنی‌داری حدود ۲۰ درصد افزایش می‌یابد. دلیل این امر را می‌توان این گونه توجیه نمود که با افزایش بسامد ارتعاش، نیروهای دینامیکی و تنش‌های نوسانی وارد بر نقطه اتصال دم میوه به شاخه افزایش یافته و تنش خمی به همراه تنش‌های کششی در سطح ساقه و دم میوه، موجب قطع ساقه یا جدا شدن دم میوه می‌گردد که باعث ریزش بیشتر میوه می‌شود (Srivastava *et al.*, 1993). بیشترین میزان برداشت پرتفال تامسون ۶۲/۸ درصد در بسامد ۱۰ هرتز است. تاروگروس و همکاران نیز نتایج مشابهی بر میزان برداشت پرتفال والنسیا با ۶۷ درصد در بسامد ارتعاشی ۱۵ هرتز دست یافته بودند (Torregrosa *et al.*, 2009). اگرچه بسامد ارتعاشی بکار گرفته شده در تحقیقات آن‌ها بیشتر بود ولی افزایش چندانی در میزان برداشت دیده نمی‌شود. همچنین در تحقیق جداگانه که بر روی لیمو ترش صورت گرفت بسامد ارتعاشی ۱۰ هرتز به عنوان مناسب‌ترین حالت برای جداسازی میوه لیمو ترش سناخته شد. زیرا بسامدهای بالاتر منجر به ریزش برگ‌ها می‌گردید (Loghavi and Mohseni, 2005). درصد میوه‌های آسیب دیده با افزایش بسامد ارتعاش به طور معنی‌داری افزایش یافته، به طوری که با افزایش بسامد ارتعاش از ۵ تا ۱۰ هرتز میزان آن حدود ۴ درصد افزایش یافت با افزایش بسامد ارتعاش، برخورد میوه‌ها به هم یا به شاخه‌های درخت افزایش یافته و میوه‌ها با شدت بیشتری از درخت جدا شده و شدت برخورد و ضربه در سطح آن‌ها بیشتر می‌شود و در نتیجه درصد میوه‌های آسیب دیده افزایش می‌یابد.

بر اساس نتایج مقایسه میانگین‌های میزان برداشت و درصد میوه‌های آسیب دیده نسبت به سطوح مختلف زمان ارتعاش (جدول ۳)

منظور از میوه‌های آسیب دیده در اینجا؛ میوه‌های ترکیده، سوراخ شده به وسیله چوب و درخت و میوه‌های لهیده شده است. درصد میوه‌های آسیب دیده ( $P_{damage}$ )، نسبت میوه‌های آسیب دیده به مجموع میوه‌های درخت (میوه‌های برداشت شده در اثر ارتعاش و میوه‌های باقی مانده روی درخت که با دست برداشت شدند) است (رابطه ۲).

$$P_{damage} = \frac{Z}{X+Y} \times 100 \quad (2)$$

$Z$ : مقدار میوه آسیب دیده (kg)  
 $X$ : داده‌های بدست آمده با استفاده از نرم افزارهای SPSS و TableCurve3D  
 $Y$ : مورد تجزیه و تحلیل آماری و مدل‌سازی قرار گرفته و با توجه به جدول تجزیه واریانس و آزمون دانکن برای مقایسه میانگین‌ها، ویژگی‌های مورد مطالعه، مقایسه و ارزیابی شدن.

## نتایج و بحث

جدول ۱ نتایج تجزیه واریانس اثر متغیرهای مستقل شامل اثر بسامد و زمان ارتعاش و اثرهای متقابل آن‌ها بر متغیرهای واپسیه تحقیق شامل میزان برداشت و درصد میوه‌های آسیب دیده را در میوه پرتفال رقم تامسون نشان می‌دهد. اثر بسامد و زمان ارتعاش در سطح ۱٪ بر میزان برداشت و درصد میوه‌های آسیب دیده معنی‌دار بوده ولی اثر متقابل بسامد و زمان ارتعاش بر صفت‌های اندازه‌گیری شده معنی‌دار نبود. حال می‌بایست با مقایسه میانگین‌ها مناسب‌ترین سطح بسامد و زمان ارتعاش را برای بیشترین برداشت و کمترین میوه‌های آسیب دیده برگزید.

جدول ۲ نشان دهنده مقایسه میانگین‌های متغیرهای واپسیه آزمایش، نسبت به سطوح مختلف بسامد ارتعاش است، که توسط آزمون دانکن در سطح ۱٪ انجام گرفته و حاکی از اختلاف معنی‌دار

برداشت و درصد میوه‌های آسیب دیده معنی‌دار نیست. ولی در مقایسه میانگین‌ها به روش دانکن (جدول ۴)، نتایج قابل تمايز بود. براساس جدول، با افزایش بسامد و زمان ارتعاش میزان برداشت افزایش می‌یابد و اختلاف معنی‌داری در بعضی سطوح وجود دارد. در بسامد پایین (۵ هرتز) اختلاف معنی‌داری در زمان‌های مختلف ارتعاش مشاهده نمی‌شود؛ ولی با افزایش بسامد (۷/۵ و ۱۰ هرتز) میزان برداشت اختلاف معنی‌داری در زمان ۱۰ ثانیه با زمان‌های ۱۵ و ۲۰ ثانیه دارد و لی بین زمان‌های ۱۵ و ۲۰ ثانیه اختلاف معنی‌داری دیده نشد.

با افزایش زمان ارتعاش میزان برداشت میوه افزایش یافته که می‌تواند ناشی از افزایش تعداد سیکل‌های نوسانی میوه و تنش‌های نوسانی وارد بر نقطه اتصال دم میوه به شاخه بهنگام افزایش زمان اعمال ارتعاش باشد هرچند که تفاوت معنی‌داری بین زمان‌های ۱۵ و ۲۰ ثانیه در میزان برداشت مشاهده نشد. مقدار میانگین‌های میزان درصد میوه‌های آسیب دیده با افزایش زمان ارتعاش بدلیل افزایش مدت زمان برخورد میوه‌ها به هم یا به شاخه‌های درخت به طور معنی‌داری افزایش می‌یابد که بیشترین درصد میوه‌های آسیب دیده در سطح زمانی ارتعاش ۲۰ ثانیه، ۸/۵۶ درصد است. با توجه به جدول تجزیه واریانس داده‌ها، اثر متقابل پارامترهای بسامد و زمان ارتعاش بر میزان

### جدول ۱- تجزیه واریانس صفت‌های اندازه‌گیری شده

Table 1. Analysis of variance of measured variables

Damaged fruits	Amount of harvesting	Mean Squares میانگین مربعات	Degree of freedom df	درجه آزادی	منابع تغییر Source of variation
38.37**	1038.48**		2		بسامد
Frequency					
45.85**	542.07**		2		زمان
Time					
2.9 ns	38.95 ns		4		بسامد × زمان
Time × Frequency					
1.44	22.71		18		اشتباه
Error					
18.20	9.62				ضریب تغییرات
					Coefficient of Variation

(\*) معنی‌دار در سطح احتمال ۵٪. (\*\*\*) معنی‌دار در سطح احتمال ۱٪. (ns) در سطح احتمال ۵٪ معنی‌دار نیست.

(\*) significant at  $\alpha=5\%$ , (\*\*) significant at  $\alpha=1\%$ , ns) not significant

### جدول ۲- مقایسه میانگین اثر بسامد بر میزان برداشت و میوه‌های آسیب دیده

Table 2. Mean comparison of the effect of frequency on the amount of harvesting and damaged fruits

Damaged fruits	Amount of harvesting	میزان برداشت (%)	(Hz)	بسامد (Hz)
4.9 A		41.49 c*		5
7.03 B		54.06 b		7.5
8.84 C		62.86 a		10

\*میانگین‌های دارای حرف مشترک در هر ستون از نظر آماری معنی‌دار نمی‌باشند.

\*means with the common letter are not significantly different in each column.

### جدول ۳- مقایسه میانگین اثر زمان ارتعاش بر میزان برداشت و میوه‌های آسیب دیده

**Table 3.** Mean comparison of the effect of vibration time on the amount of harvesting and damaged fruits

Damaged fruits	Amount of harvesting	زمان (s)	میزان برداشت (%)
5.35 A	44.05 b*	10	
7.05 B	55.57 a	15	
8.54 C	58.8 a	20	

\*میانگین‌های دارای حرف مشترک در هر ستون از نظر آماری معنی‌دار نمی‌باشند.

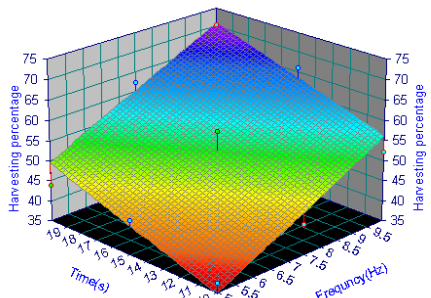
\*means with the common letter are not significantly different in each column.

### تدوین مدل ریاضی

مدل ریاضی خطی بر اساس بسامد و زمان ارتعاش برای میزان برداشت پرتفاصل تامسون از روش رگرسیون چند متغیره تدوین گردید (معادله ۳). برای تدوین این مدل از نرم افزار SPSS و TableCurve3D استفاده گردید. شکل ۲ نمودار سه بعدی پارامترهای مذکور را نشان می‌دهند. همان‌طور که مشاهده می‌گردد، با افزایش بسامد و زمان ارتعاش میزان برداشت بیشتر می‌گردد.

$$P_{\text{Removal}} = 1.44 + 4.27f + 1.47t \quad R^2 = 0.91 \quad (3)$$

در این رابطه،  $P_{\text{Removal}}$  میزان برداشت (بر حسب درصد)،  $f$  بسامد ارتعاش (هرتز) و  $t$  زمان ارتعاش (ثانیه) است. ضریب همبستگی<sup>۱</sup> بین بسامد و زمان ارتعاش با میزان برداشت به ترتیب ۰/۷۸ و ۰/۵۴ که نشان دهنده همبستگی مثبت بسامد و زمان ارتعاش با میزان برداشت است. همچنین از بررسی ضرایب بسامد و زمان ارتعاش در مدل نیز مشاهده می‌گردد که بسامد ارتعاش تأثیر بیشتری نسبت به زمان ارتعاش بر میزان برداشت دارد که با نتایج بدست آمده از اثر متقابل بسامد و زمان ارتعاش بر میزان برداشت مطابقت دارد.

**شکل ۲-** تغییرات درصد برداشت بر حسب بسامد و زمان ارتعاش**Fig. 2.** Variation of harvesting percentage with frequency and vibration time

همچنین یک مدل ریاضی خطی بر اساس بسامد و زمان ارتعاش از روش رگرسیون چند متغیره برای میزان میوه‌های آسیب دیده تدوین گردید (رابطه (۴)). همان‌طور که مشاهده می‌شود با افزایش بسامد و زمان ارتعاش، درصد میوه‌های آسیب دیده نیز بیشتر می‌گردد.

میانگین درصد میوه‌های آسیب دیده با افزایش بسامد و زمان ارتعاش افزایش می‌یابد که دلیل آن افزایش برخوردها در بسامدهای بالاتر و مدت زمان‌های بیشتر می‌باشد (جدول ۵). در بسامد ۱۰ هertz و زمان ارتعاش ۱۵ و ۲۰ ثانیه، از نظر میزان برداشت (جدول ۴) و میزان میوه‌های آسیب دیده (جدول ۵) اختلاف معنی داری وجود ندارد. لذا مناسب‌ترین بسامد و زمان ارتعاش به منظور بیشترین برداشت و احتمال کمتر آسیب رساندن به درخت، به ترتیب بسامد ۱۰ هertz و زمان ارتعاش ۱۵ ثانیه برای برداشت مکانیزه پرتفاصل تامسون می‌توان انتخاب کرد.

### جدول ۴- مقایسه میانگین اثر متقابل بسامد و زمان ارتعاش بر میزان برداشت (%)

**Table 4.** Mean comparison of the interactive effect frequency and vibration time on the amount of harvesting fruits (%)

زمان (s)	بسامد (Hz)	Frequency(Hz)
20	15	10
43.8 <sup>d</sup>	43.6 <sup>d</sup>	37.2 <sup>d</sup>
62.1 <sup>ab</sup>	57.3 <sup>bc</sup>	42.7 <sup>d</sup>
70.4 <sup>a</sup>	65.9 <sup>a</sup>	52.1 <sup>c</sup>

\*میانگین‌های دارای حرف مشترک در هر ردیف یا ستون از نظر آماری معنی‌دار نمی‌باشند.

\*means with the common letter are not significantly different in each column or row.

### جدول ۵- مقایسه میانگین اثر متقابل بسامد و زمان ارتعاش بر میزان میوه‌های آسیب دیده (%)

**Table 5.** Mean comparison of the interactive effect frequency and vibration time on damaged fruits (%)

زمان (s)	بسامد (Hz)	Frequency(Hz)
20	15	10
5.51 <sup>d</sup>	5.16 <sup>d</sup>	4.01 <sup>d</sup>
8.42 <sup>ab</sup>	6.26 <sup>bc</sup>	5.41 <sup>d</sup>
8.94 <sup>a</sup>	8.73 <sup>a</sup>	6.64 <sup>c</sup>

\*میانگین‌های دارای حرف مشترک در هر ردیف یا ستون از نظر آماری معنی‌دار نمی‌باشند.

\*means with the common letter are not significantly different in each column or row.

معنی داری افزایش می‌یابد که بیشترین مقدار در سطح زمانی ۲۰ ثانیه به مقدار ۷/۸۳ درصد است.

با افزایش بسامد و زمان ارتعاش میزان برداشت افزایش می‌یابد هر چند بین زمان‌های ۱۵ و ۲۰ ثانیه اختلاف معنی داری وجود ندارد. با توجه به افزایش مقدار میوه‌های آسیب دیده و احتمال آسیب به درخت در زمان‌های ارتعاش زیاد، زمان ۱۵ ثانیه و بسامد ۱۰ هرتز به عنوان مناسب‌ترین حالت برای برداشت پرتوال تامسون در این تحقیق انتخاب گردید.

مدل ریاضی خطی بر اساس بسامد و زمان ارتعاش برای میزان برداشت و میوه‌های آسیب دیده تدوین گردید. ضریب همبستگی بین بسامد و زمان ارتعاش با میزان برداشت به ترتیب ۰/۷۸ و ۰/۵۴ و با میوه‌های آسیب دیده به ترتیب ۰/۸۲ و ۰/۳۲ است. از بررسی ضرایب بسامد و زمان ارتعاش مشاهده گردید که بسامد ارتعاش تأثیر بیشتری نسبت به زمان ارتعاش بر میزان برداشت و میزان میوه‌های آسیب دیده دارد.

### سپاسگزاری

بدین وسیله از دانشگاه تربیت مدرس به واسطه تأمین بودجه و از مرکز تحقیقات و مرکبات کشور به واسطه همکاری در اجرای این طرح تشکر و قدردانی می‌شود.

ضریب همبستگی بین بسامد و زمان ارتعاش با درصد میوه‌های آسیب دیده به ترتیب ۰/۳۲ و ۰/۷۸ است که نشان دهنده همبستگی مثبت بسامد و زمان ارتعاش با میزان میوه‌های آسیب دیده است. همچنین با توجه به مقدار مربوطه، نشان دهنده تأثیر بیشتر بسامد نسبت به زمان ارتعاش بر میزان میوه‌های آسیب دیده می‌باشد.

$$P_{\text{Damage}} = -4 + 0.82f + 0.319t \quad R^2 = 0.91 \quad (4)$$

در این رابطه،  $P_{\text{Damage}}$  میزان میوه‌های آسیب دیده (بر حسب درصد)،  $f$  بسامد ارتعاش (هرتز) و  $t$  زمان ارتعاش (ثانیه) است.

### نتیجه‌گیری

اثر بسامد و زمان ارتعاش در سطح ۱٪ بر میزان برداشت و درصد میوه‌های آسیب دیده معنی دار بوده ولی اثر متقابل بسامد و زمان ارتعاش بر صفت‌های اندازه‌گیری شده معنی دار نیست.

با افزایش بسامد ارتعاش میزان برداشت به طور معنی داری افزایش می‌یابد که بیشترین میزان آن در بسامد ۱۰ هرتز ۶۲/۸ درصد می‌باشد.

درصد میوه‌های آسیب دیده با افزایش بسامد ارتعاش به طور معنی داری افزایش یافته که کمترین و بیشترین میزان میوه‌های آسیب دیده به ترتیب در سطح بسامد ۵ و ۱۰ هرتز به مقدار ۴/۰۲ و ۸/۴۴ درصد است همچنین مقدار آن با افزایش زمان ارتعاش به طور

### منابع

- Anonymous. 2007. Ministry of Jahad-e- Agriculture. Available from: <http://jkma.zir/portal/index.php>. Accessed 25 May 2011.
- Futch, S. H., and F. M. Roka. 2005. Trunk shaker mechanical harvesting systems. Institute of Food and Agricultural Sciences, University of Florida. Available from: <http://edis.ifas.ufl.edu>. Accessed 12 Feb. 2011.
- Kherieh, M. 2002. Design, construction and evaluation of a shake branches tractor equipped with float arms to apple harvest. M. Sc. thesis, Faculty of Agriculture, Shiraz University. (In Farsi).
- Mobli, H. 1987. Determination of the biomechanical properties in mechanized harvesting of pistachio, Ph.D. dissertation, Faculty of Agriculture, Tarbiat Modares University. (In Farsi).
- Loghavi, M. and H. Rahimi. 2007. Effects of shaking amplitude and frequency on two varieties of pistachio nut and cluster detachment. Journal of Science and Technology of Agriculture and Natural Resources, 11(40): 109-123. (In Farsi).
- Loghavi, M. and Sh. Mohseni. 2005. The effects of shaking frequency and amplitude on detachment of lime fruit. Iran Agricultural Research, 24(2): 27-38.
- Sanders, K. F. 2005. Orange harvesting systems review. Biosystems Engineering, 90 (2): 15-125.
- Srivastava, A. K., C. E. Georing and R.P. Rohrbach. 1993. Engineering Principle of Agricultural Machines. Published by the American Society of Agricultural Engineers, 113: 88-92.
- Torregrosa, A., E. Ortí, B. Martin, J. Gil, and C. Ortiz. 2009. Mechanical harvesting of oranges and mandarins in Spain. Biosystems Engineering, 104:18-24.
- Whitney, J. D. 1998. Field test results with mechanical harvesting equipment in Florida oranges. ASAE. 110:89-92.
- Zare, M. 2006. Role of Mazandaran in the economy. Available from: <http://www.mazandname.com/PNID=V5094>. Accessed 10 April 2011.

## تعیین حدود بهینه تنظیم دماغه کمباین برداشت غلات به منظور کاهش ریزش دانه در برداشت کلزا با استفاده از دستگاه شبیه سازی شده دماغه

مجید سلیمانی<sup>۱\*</sup> - مهدی کسرایی<sup>۲</sup>

تاریخ دریافت: ۸۹/۱۲/۲۱

تاریخ پذیرش: ۹۱/۳/۲۱

### چکیده

در دهه های اخیر، کلزا به عنوان مهم ترین دانه روغنی مورد توجه زیادی قرار گرفته است. عمده ترین مشکل زراعت کلزا در مرحله برداشت و به دلیل حساس بودن غلافهای آن به ضربه و ارتعاش است. دماغه<sup>۱</sup> کمباین، بهویژه هنگامی که به خوبی تنظیم نشده باشد، به محصول ضربه خواهد زد و مقدار قابل توجهی از دانه ها بر روی زمین می ریزند. ضایعات محصول کلزا هنگام برداشت با کمباین غلات تا ۵۰ درصد هم گزارش شده است که با کاهش میزان ریزش، می توان عملکرد را بهبود بخشید. هدف از انجام این پژوهش، تعیین شرایط بهینه دماغه کمباین برای برداشت کلزا بود به نحوی که ریزش دانه کمینه شود. به این منظور یک دستگاه آزمایش شبیه دماغه کمباین در بخش مکانیک ماشین های کشاورزی دانشگاه شیراز طراحی و ساخته شد و برای تعیین بهترین حالت تنظیم دماغه، عواملی که بیش ترین تأثیر را بر روی ریزش دانه دارند با این دستگاه مورد بررسی قرار گرفتند. این عوامل عبارت بودند از: سرعت پیش روی کمباین در سطوح ۱/۵، ۲، ۲/۵ کیلومتر در ساعت، سرعت شانه برش در سطوح ۸۰۰، ۱۱۰۰ و ۱۴۰۰ و ضربه در دقیقه و نسبت سرعت خطی چرخ فلک به سرعت پیش روی در سطوح ۱/۳ و ۱/۵ برابر سرعت پیش روی. آزمایش ها بر روی رقم طلائیه و در رطوبت ۱۶ درصد (بر پایه خشک) و با سه تکرار برای هر سطح انجام شد. با در نظر گرفتن اثر متقابل عوامل آزمایشی نتایج نشان داد که تأثیر این عوامل بر ریزش دانه در سطح ۵ درصد معنی دار بوده است و در حالتی که سرعت پیش روی کمباین ۲ کیلومتر در ساعت، سرعت شانه برش ۱۴۰۰ ضربه در دقیقه و سرعت خطی چرخ فلک ۱/۵ برابر سرعت پیش روی باشد، ریزش دانه کمینه خواهد شد.

واژه های کلیدی: برداشت، تنظیم دماغه کمباین، دستگاه شبیه سازی شده، ریزش دانه، کلزا

اطمینانی برای تهیه روغن خوراکی است مورد توجه قرار گرفته است (Shahidi and Forouzan, 1997). به علت سازگاری کلزا با شرایط آب و هوایی اکثر نقاط کشورمان، کشت این گیاه برای تأمین روغن خام نیاز کشور و به منظور کاهش واردات روغن توسعه یافته است به طوری که هم اکنون کلزا مهم ترین محصول در طرح های افزایش تولید دانه های روغنی محسوب می شود (Dehshiri, 1999).

تولید جهانی کلزا به طور میانگین در هر سال در دهه ۷۰ میلادی حدود ۱۲ میلیون تن، در دهه ۸۰ حدود ۱۷ میلیون تن و در دهه ۹۰ حدود ۲۵/۵ میلیون تن بوده است؛ به استناد آمار سازمان خواربار و کشاورزی (F.A.O) در سال ۱۹۹۸، تولید جهانی کلزا ۳۳/۵ میلیون تن از ۲۵ میلیون هکتار با میانگین ۱۳۴۳ کیلو در هکتار بوده است که این مقدار، کلزا را در مقام سوم میزان تولید محصولات کشاورزی قرار می دهد. در سال ۲۰۰۵ میلادی میزان تولید این محصول به ۴۸/۵ میلیون تن در ۲۷ میلیون هکتار رسید. سطح زیر کشت کلزا در سال

### مقدمه

ریزش دانه های رسیده در زمان برداشت محصول، توسط کمباین یا هر وسیله دیگری که برای درو استفاده می شود یکی از عواملی است که زیان اقتصادی بسیاری به کشاورزان وارد می کند. یکی از محصولاتی که کشاورزان در برداشت آن به دلیل ریزش بسیار زیاد با مشکل مواجه می شوند کلزا است. این گیاه به واسطه درصد بالای روغن یکی از گیاهانی است که افزایش سطح زیر کشت آن از دهه ۵۰ به بعد با هیچ گیاه دیگری قابل مقایسه نیست؛ این افزایش در کشورهای اروپایی و کانادا بسیار زیاد بوده است و در ایران نیز به دلیل کمبود مواد اولیه روغن خوراکی، این گیاه که منبع خوب و قابل

۱ و ۲- دانشجوی کارشناسی ارشد و استادیار گروه مکانیک ماشین های کشاورزی،  
دانشگاه شیراز  
\* - نویسنده مسئول: (Email : Soleimanmajid64@gmail.com)  
3- Head

برخورد ضربه به محصول در حین برش توسط تیغه‌های برش و همچنین تماس مستقیم چرخ‌فلک با محصول سبب ریزش محصول در پلاتiform برش می‌شود (Goss *et al.*, 1958). طبق نتایج حاصل از تحقیقات بر روی پلاتiform برش، مشخص شد که حدود ۷۹/۶ درصد از کل افت کمباین مربوط به چرخ‌فلک و تیغه‌های برش می‌باشد (Quick, 1973; Quick and Buchele, 1974).

با توجه به این که بسیاری از کمباین‌های مورد استفاده در کشور فرسوده می‌باشند و اغلب کشاورزان از کمباین‌های رایج برای برداشت اکثر گیاهان زراعی استفاده می‌نمایند، اگر تنظیم‌های مربوط به دماغه برای هر گیاه به درستی انجام نشود میزان ریزش دانه در دماغه به شدت زیاد خواهد بود. بنابراین لازم است برای هر محصول تنظیم‌های ممکن بر روی دستگاه برداشت کننده را به صورت اختصاصی تعیین نمود تا کمترین تلفات حاصل شود. به عنوان مثال برداشت کلزا به دلیل ویژگی‌های این گیاه به هیچ وجه با سایر گیاهان قابل مقایسه نیست و در صورت عدم رعایت نکات خاص، تلفات محصول زیاد خواهد بود.

## مواد و روش‌ها

برای تعیین مقدار ریزش دانه در دماغه کمباین یک سکوی آزمایش ریزش دانه در بخش مکانیک ماشین‌های کشاورزی دانشگاه شیراز طراحی و ساخته شد تا توسط آن عوامل مؤثر بر ریزش مورد بررسی قرار گیرد (شکل‌های ۱ و ۲).

سه عاملی که امکان بررسی اثر آن‌ها توسط دستگاه مورد نظر فراهم شده بود عبارت بودند از: سرعت پیش‌روی کمباین، سرعت شانه برش و نسبت سرعت خطی چرخ‌فلک به سرعت پیش‌روی. نحوه کار به گونه‌ای بود که گیاه بر روی صفحات نگهدارنده دستگاه به صورت ایستاده قرار می‌گرفت و بعد از انجام تنظیمات با توجه به عواملی که می‌بایست بررسی شوند، صفحه نگهدارنده گیاهان را با سرعت مورد نظر به سمت دماغه برش حرکت می‌داد. استفاده از ریل‌های تغذیه کننده برای انجام آزمایش در خارج از مزرعه در سال ۱۳۸۴ توسط شهاب‌زاده و همکاران مورد استفاده قرار گرفته بود.

دماغه دستگاه شامل یک چرخ‌فلک و شانه برش بود که بر حسب آزمایش‌هایی که لازم بود انجام شوند قابلیت تنظیم برای آن‌ها در نظر گرفته شد. بعد از این که گیاهان روی صفحات نگهدارنده بریده شدند، وارد مخزن دستگاه می‌شدند. دانه‌هایی که زیر شانه برش ریخته بودند جزو تلفات محسوب می‌شدند و ریزش گیاه بر اساس میزان وزن دانه‌ای که زیر شانه برش ریخته بود به کل دانه‌ها (مجموع دانه‌های ریخته شده زیر شانه برش و عبور کرده از روی شانه برش) طبق فرمول (۱) محاسبه می‌شد:

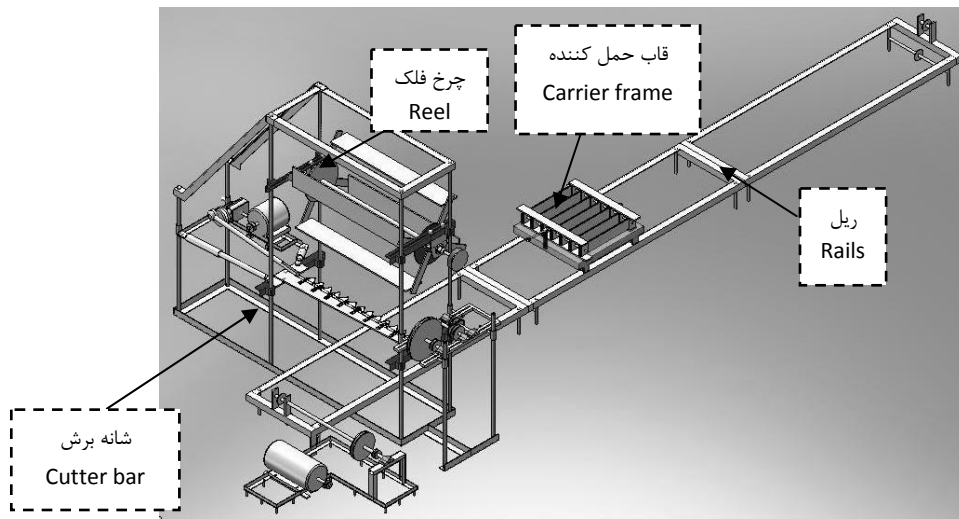
۱۳۸۶ در ایران ۲۲۰ هزار هکتار و میزان تولید دانه آن حدود ۳۲۰ هزار تن بوده است (Anonymous, 2008).

در دماغه عوامل تأثیرگذار مختالفی وجود دارد که در صورت تنظیم نبودن می‌توانند باعث ریزش شوند. برخی از این عوامل عبارتند از: سرعت حرکت شانه برش، سرعت دوران چرخ‌فلک، نسبت سرعت خطی وسیله و چرخ‌فلک، سرعت رو به جلو وسیله، ارتفاع برش ساقه، فاصله عمودی و افقی چرخ‌فلک از شانه برش، نوع چرخ‌فلک، نوع تیغه‌های شانه برش (صاف و مضرس)، زاویه تیزی تیغه‌ها، زاویه اریب بین تیغه‌های ثابت و متحرک؛ همچنین عوامل دیگری که مربوط به شرایط محصول می‌باشند مثل رطوبت ساقه، تراکم بوته‌های گیاه، الگوی کشت، خمامت ساقه و نوع واریته نیز بر میزان ریزش دانه تأثیرگذار هستند.

در شرایط ایده‌آل تلفات دانه کلزا می‌تواند بین ۲ تا ۵ درصد از عملکرد محصول باشد. اما تلفات بین ۲۰ تا ۲۵ درصد نیز در شرایط آب و هوایی معمولی به ثبت رسیده است (Price *et al.*, 1996). ضایعات محصول کلزا در هنگام برداشت با کمباین غلات در استان گلستان تا ۳۵ درصد محصول گزارش شده است که با رعایت اصول فنی می‌توان این ضایعات را به مقدار قابل توجهی کاهش داد (Rahmati, 2007). طبق بررسی‌های انجام شده بیشترین تلفات ریزش دانه به قسمت برش محصول اختصاص دارد. به عبارت دیگر سهم بزرگی از تلفات کل ابزار مورد استفاده برای درو مربوط به دماغه است (Shahab-zade, 2005). در برداشت کلزا بیشترین افت در برخورد دماغه (هد) کمباین با محصول، حتی در زمان رطوبت مطلوب برداشت اتفاق می‌افتد و در شرایط نامطلوب و بحرانی حتی تا ۵۰ درصد افت دانه نیز وجود خواهد داشت (Diepenbrock, 2000).

در پژوهشی که در سال ۱۹۹۲ تعدادی از محققین انجام دادند، علت اصلی ریزش کلزا هنگام برداشت با کمباین را تکان شدید وارد به محصول دانستند (Ogilvy *et al.*, 1992). در تحقیقی دیگر نیز نشان داده شده است که گرچه علت تلفات شانه برش در اثر حرکت رفت و برگشتی تیغه‌ها است که به ناچار ساقه‌ها را هنگام بریدن می‌لرزاند، ولی به دلیل برخورد چرخ‌فلک با غلاف‌ها نیز ریزش وجود دارد (Hobson and Bruse, 2002).

در پژوهشی عامل اصلی ریزش دانه کلزا، خصوصیات تیغه‌برش تشخیص داده شده است. همچنین محققین بیان داشتند کنندی و تیزی تیغه و سرعت رفت و برگشت تیغه بر روی مقدار ریزش دانه در هنگام برش اثر دارد (Szot *et al.*, 1995). وارد کردن نیروی زیاد به گیاه باعث افزایش ریزش دانه‌ها و میوه‌های رسیده می‌شود رفت و برگشتی باعث افزایش ریزش دانه‌های رسیده می‌شود (Smith *et al.*, 1983). بنابراین تطبیق تنظیم‌های دماغه با شرایط محصول در جلوگیری از تلفات در برداشت بسیار بالاهمیت است (Campbell *et al.*, 2003).



**شکل ۱**- سکوی شبیه سازی دماغه کمباین مورد استفاده رسم شده در نرم افزار Solidworks

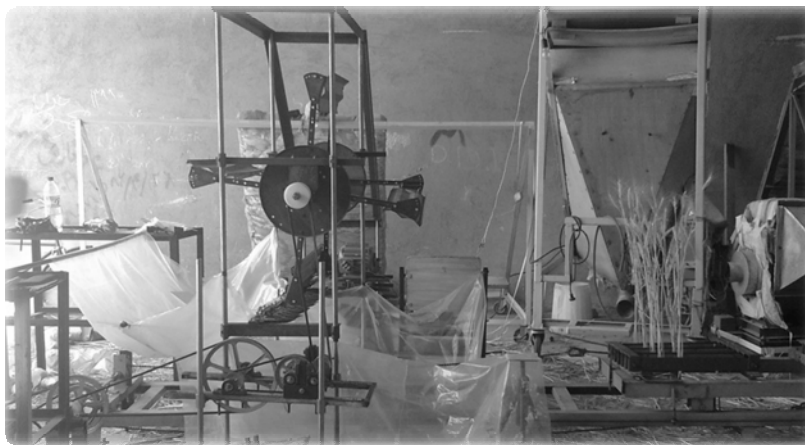
**Fig. 1.** Simulation platform of combines head that drawn by solidworks software

قالاف‌ها باقی بمانند. با توجه به این که همه آزمایش‌ها در شرایط یکسان انجام می‌شد این نحوه انتقال نمونه‌ها مشکلی در فرآیند پژوهش ایجاد نمی‌کرد.

به منظور تنظیم تراکم محصولات بر روی قاب حمل کننده ابتدا در شرایط مزرعه میانگین تعداد گیاهان در واحد سطح با ۳ مرتبه شمارش تعداد گیاهان موجود در یک قاب آزمایشی که به صورت تصادفی در سطح مزرعه قرار گرفته بود، به دست آمد و سعی شد در هنگام انجام آزمایش‌ها تعداد گیاهان ثابت بماند.

$$\frac{\text{دانه های ریخته شده زیر شانه}}{\text{کل دانه ها}} \times 100 = \text{درصد ریزش} \quad (1)$$

برای این که جمع‌آوری دانه‌ها راحت‌تر باشد زیر شانه برش پلاستیک پهن شد تا دانه‌ها بر روی آن بریزند و برای توزین دانه‌های جمع‌آوری شده از یک ترازو با دقیق هزارم گرم استفاده شد. برای تهیه نمونه‌های آزمایشی از مزرعه با استفاده از یک قیچی ساقه گیاهان از پایین ترین قسمت ممکن بریده شدند و سپس بر روی یک پلاستیک بزرگ قرار گرفتند و به نحوی به محل اجرای آزمایش منتقل شدند تا آسیبی به آن‌ها وارد نشود و تا حد ممکن دانه‌ها درون



**شکل ۲**- سکوی شبیه سازی دماغه کمباین

**Fig. 2.** Simulation platform of combine's head

بعد از انجام آزمایش‌ها و جمع‌آوری دانه‌هایی که زیر شانه‌برش ریخته می‌شدند و دانه‌هایی که از روی شانه برش عبور کرده بودند درصد وزنی ریزش دانه مربوط به هر تکرار مشخص شد و با استفاده از نرم افزار SPSS داده‌ها تحلیل شدند.

## نتایج و بحث

بعد از تعیین مقدار ریزش دانه مربوط به هر آزمایش و تحلیل داده‌ها، نتایج زیر حاصل شد. همان‌گونه که در جدول ۲ ملاحظه می‌شود میزان ریزش در بین سطوح عامل‌های سرعت پیش‌روی، سرعت شانه برش و سرعت چرخ‌فلک و همچنین اثرهای متقابل بین سرعت پیش‌روی و سرعت شانه‌برش، سرعت پیش‌روی و سرعت چرخ‌فلک و نیز سرعت شانه‌برش و سرعت چرخ‌فلک در سطح ۱ درصد معنی‌دار بوده است.

آزمایش‌های مربوط به گیاه فقط بر روی واریته طلائیه و در رطوبت ۱۶ درصد (بر پایه خشک) انجام شد و با توجه به توصیه‌هایی که در منابع معتبر از جمله شرکت کمباین سازی ایران، برای حدود مناسب تنظیم عامل‌های مورد بحث صورت گرفته بود، دامنه تعیین هر عامل مشخص شد و به منظور انجام دقیق‌تر تنظیم‌ها، برای هر یک از این عامل‌ها سه سطح انتخاب شد. آزمایش بر روی هر سطح سه بار تکرار شد و برای هر آزمایش، میزان ریزش تعیین گردید و در نهایت مقایسه‌های لازم با استفاده از طرح فاکتوریل انجام شد تا سطح‌هایی که گیاه در آن شرایط کمترین ریزش دانه را دارد انتخاب شوند. عامل‌های مورد بررسی و سطوح مربوط به هر عامل طبق جدول ۱ تعیین شدند.

برای انجام آزمایش‌ها از آزمون فاکتوریل در قالب طرح بلوک کامل تصادفی استفاده شد تا بررسی کاملی بر روی نحوه تأثیر هر یک از عوامل صورت گرفته باشد. با توجه به سه تکرار که برای هر یک از سطوح‌ها انجام شد، تعداد کل آزمایش‌ها ۸۱ مورد بود.

**جدول ۱ - سطوح تعریف شده برای عامل‌ها**

**Table 1. Levels which defined for factors**

عامل Factor	سرعت پیش‌روی (کیلومتر بر ساعت) Forward speed ( $\text{km h}^{-1}$ )	سرعت شانه برش (ضریب در دقیقه) Cutter bar speed (cycles per minute)	سرعت چرخ‌فلک (نسبت سرعت خطی چرخ‌فلک به سرعت پیش‌روی) Reel speed (reel linear speed relative to forward speed)	مقدار Amount
1.5	1.3	1.1	1400    1100    800	2.5    2    1.5

**جدول ۲ - نتایج آنالیز واریانس عوامل سرعت بر روی درصد ریزش دانه**

**Table 2. ANOVA results of speed treatments on seed losses percent**

F	DOF	درجه آزادی	میانگین مربعات Mean square	منابع تغییر Changing resources	شماره No.
9.84 **	2		120.74	(A) سرعت پیش‌روی Forward speed	1
9.87 **	2		121.16	(B) سرعت شانه برش Cutter bar speed	2
8.16 **	2		100.16	(C) سرعت چرخ‌فلک Reel speed	3
4.48 **	4		54.97	AB	4
4.18 **	4		51.24	AC	5
3.82 **	4		46.91	BC	6
1.08 ns	8		13.3	ABC	7
	54		12.27	خطا Error	8
	81			کل All	9

ns عدم تفاوت معنی‌دار \*\* تفاوت معنی‌دار در سطح ۱%

ns No significant difference \*\* Significant difference at 1%

در ادامه اثر همه عوامل با هم مورد بررسی قرار گرفت تا مشخص شود تنظیم‌های دستگاه در حالتی که اثر متقابل متغیرها در نظر گرفته شود چگونه باید باشد. نتایج این بررسی در جدول ۴ ارائه شده است. کمترین درصد ریزش ۱۵/۴۲ درصد از کل دانه بود که مربوط به حالتی است که سرعت پیش‌روی ۲ کیلومتر بر ساعت، سرعت شانه برش ۱۴۰۰ ضربه در دقیقه و سرعت خطی چرخ‌فلک ۱/۵ برابر سرعت پیش‌روی بوده است. در صورتی که این داده‌ها با اطلاعات مرحله قبل که هر یک از عوامل جداگانه مورد بررسی قرار گرفتند، مقایسه شوند مشخص می‌شود که تنها تنظیم‌های مربوط به سرعت چرخ‌فلک تعییر کرده است؛ با توجه به جدول ۳ سرعت خطی مطلوب برای چرخ‌فلک ۱/۱ سرعت پیش‌روی تعیین شد ولی وقتی اثر متقابل عامل‌ها در نظر گرفته شد. طبق جدول ۴ سرعت بهینه برای چرخ‌فلک ۱/۵ برابر سرعت پیش‌روی تعیین شد؛ چون در دماغه کماین هر سه عامل همزمان حضور دارند و نمی‌توان اثر هیچ کدام از آن‌ها را نادیده گرفت؛ بنابراین می‌توان نتیجه گرفت که برای تعیین تنظیم‌های بهینه دماغه کماین ضروری است که نتایج حاصل از اثرهای متقابل عامل‌ها در نظر گرفت. این پژوهش نشان داد، اگر سرعت پیش‌روی کماین ۲ کیلومتر بر ساعت باشد، شانه برش در هر دقیقه ۱۴۰۰ ضربه بزند و سرعت خطی چرخ‌فلک ۱/۵ برابر سرعت پیش‌روی باشد، در آن صورت ریزش دانه کلزا، رقم طلائیه، در رطوبت ۱۶ درصد، در دماغه کماین غلات به کمترین مقدار خواهد رسید.

ولی بین اثرهای متقابل ۳ عامل: سرعت پیش‌روی، سرعت شانه‌برش و سرعت چرخ‌فلک تفاوت معنی‌داری وجود نداشت. در ابتدا سطوح هر یک از عامل‌ها بدون در نظر گرفتن اثر سایر عامل‌ها مورد بررسی قرار گرفت که نتیجه آن‌ها در جدول ۳ آورده شده است.

### جدول ۳ - نتایج مقایسه میانگین عوامل سرعت با استفاده از آزمون دانکن

**Table 3.** Comparison of speed treatments results by using of Duncan test

عوامل آزمایش	سطوح عامل‌ها		
Test factors	Factor levels	سطح ۱	سطح ۲
سرعت پیش‌روی	۲۳.۹۳ <sup>b</sup>	۲۰.۰۳ <sup>a</sup>	۲۰.۵۵ <sup>a</sup>
Forward speed			
سرعت شانه‌برش	۱۹.۱۳ <sup>b</sup>	۲۲.۱۷ <sup>a</sup>	۲۳.۲۱ <sup>a</sup>
Cutter bar speed			
سرعت چرخ‌فلک	۲۳.۶۴ <sup>b</sup>	۲۰.۹۸ <sup>a</sup>	۱۹.۹ <sup>a</sup>
Reel speed			

در هر ردیف ارقامی که حرف مشترک دارند در سطح ۵ درصد با هم تفاوت معنی‌دار نداشته‌اند

In each row numbers that have common letters, are not significantly different in 5%

با توجه به جدول ۳ سرعت پیش‌روی ۲ کیلومتر در ساعت، سرعت شانه‌برش ۱۴۰۰ ضربه در دقیقه و سرعت چرخ‌فلک ۱/۱ برابر پیش‌روی، کمترین ریزش دانه را نشان دادند.

### جدول ۴ - نتایج مقایسه میانگین تیمارها

**Table 4.** Comparison of treatments

سرعت چرخ‌فلک (نسبت سرعت خطی چرخ‌فلک به سرعت پیش‌روی)	سرعت شانه‌برش (ضربه در دقیقه) Cutter bar speed (cycles per minute)	سرعت پیش‌روی (کیلومتر بر ساعت) Forward speed (km h <sup>-1</sup> )
<b>Reel speed</b> (Reel linear speed relative to forward speed)		
1.5	1.3	1.1
24.69 <sup>efg</sup>	21.78 <sup>abcdef</sup>	800
17.05 <sup>abcd</sup>	20.09 <sup>abcdef</sup>	1100
21.43 <sup>abcdef</sup>	22.93 <sup>cdef</sup>	1400
22.49 <sup>bcd</sup>	17.25 <sup>abcd</sup>	800
24.45 <sup>efg</sup>	21.5 <sup>abcdef</sup>	1100
15.42 <sup>a</sup>	21.92 <sup>abcdef</sup>	1400
33.53 <sup>h</sup>	20.42 <sup>abcdef</sup>	800
30.09 <sup>gh</sup>	24.97 <sup>fg</sup>	1100
23.55 <sup>defg</sup>	17.89 <sup>abcde</sup>	1400

ارقامی که حرف مشترک دارند در سطح ۵ درصد با هم تفاوت معنی‌دار نداشته‌اند

Numbers that have common letters, are not significantly different in 5%

زیاد باشد و ۲- در هر لحظه ساقه‌های بیشتری در معرض تیغه قرار گیرند که هر دو عامل می‌توانند سبب افزایش ریزش دانه‌ها شوند. همچنین اگر سرعت پیش‌روی خیلی کم باشد با توجه به در هم پیچیدگی ساقه‌های کلزا، سبب می‌شود که ساقه‌ها توسط چرخ‌فلک و شانه برش کشیده شوند که این عامل باعث تکان خوردن بیشتر ساقه‌های کلزا و افزایش ریزش دانه‌ها خواهد شد؛ بنابراین حد متوسط سرعت پیش‌روی بهترین مقدار بوده است. در سرعت پیش‌روی متوسط، بیشترین سرعت شانه برش باعث شده است که، سهم هر تیغه در هر برش تعداد ساقه‌های کمتری باشد و ساقه‌ها به راحتی بریده شوند و ریزش کاوش یابد و بیشترین سرعت چرخ‌فلک باعث شده است که ساقه‌های بریده شده کلزا به طور کامل به داخل دماغه کشیده شوند و دانه‌های کمتری روی زمین بریزنند.

در نهایت به منظور کاوش ریزش دانه، توصیه می‌شود در هنگام برداشت هر محصول با کمباین، سعی شود، تنظیم‌های دماغه کمباین به صورت خاص، با در نظر گرفتن اثر متقابل عوامل مؤثر بر ریزش آن محصول، انجام شود.

طبق نتایج حاصل از این پژوهش سطح بهینه سرعت پیش‌روی برای کمباین برداشت کلزا ۲ کیلومتر بر ساعت تعیین شد که این نتیجه با نتایج کار (Rahmati, 2007) مطابقت داشت. در مورد سرعت شانه‌برش تحقیقی صورت نگرفته بود و فقط منابعی از جمله (Rahmati, 2007) (Szot *et al.*, 1995) این مقدار را برای کلزا بین ۸۰۰ تا ۱۴۰۰ ضربه پیشنهاد کرده بودند و با اجرای آزمایش‌های مورد نظر در این بازه مقدار ۱۴۰۰ ضربه در دقیقه به عنوان مناسب ترین سرعت شانه‌برش برای کلزا تعیین شد.

نسبت سرعت محیطی چرخ‌فلک به سرعت پیش‌روی کمباین برای کلزا ۱/۵ برابر سرعت پیش‌روی مشخص شد که این مقدار با منابعی که در ادامه ارائه شده‌اند مطابقت داشت: (Rahmati, 2007; Berglund *et al.*, 2007; Mansouri-Rad, 2005; Hobson and Bruse, 2002; Gardisser, 2005). با توجه به جدول ۴ می‌توان نتیجه گرفت که در مجموع کمترین ریزش دانه در سرعت پیش‌روی بود که، در محدوده آزمایش‌های انجام شده در این پژوهش، سرعت میانه می‌باشد دلیل آن می‌تواند چنین توجیه نمود که اگر سرعت پیش‌روی کمباین زیاد باشد باعث می‌شود که ۱- سرعت ضربه اولیه که به ساقه‌های کلزا وارد می‌شود

## منابع

1. Berglund, D. R., K. Mckay, and J. Knodel. 2007. Canola production. Available from: <http://www.ag.ndsu>. Accessed 9 Aug 2007.
2. Campbell, W. P., and S. S. Alswager. 2003. Adjusting equipment now can alleviate harvest losses. Biological Systems Engineering. (402): 2472-3030.
3. Dehshiri, A. 1999. Canola. Promotional Programs Office Press and Promotion Technical Publications Press. (In Farsi).
4. Diepenbrock, W. 2000. Yield analysis of winter oilseed rape (*brasica napus*): a review. Field Crops Research, (67): 35-49.
5. Gardisser, D. 2005. Harvesting grain sorghums. Agriculture and natural resources. 6 (16): 117-121.
6. Goss, J. R., R. A. Kepner and L. G. Jones. 1958. Performance characteristics of the grain combine in barley. Agricultural Engineering 39(11) (November): 697-702.
7. Hobson, R. N. and D. M. Bruce. 2002. Seed loss when cutting a standing crop of oilseed rape with two types of combine harvester header. Biosystems Engineering 81 (3): 281-286.
8. Mansouri-Rad, D. 2005. Tractor and Agricultural Machines. Bou Ali Sina Univecity Press. (In Farsi).
9. Ogilvy, S. E., G. F. J. Milford, E. J. Evans, and J. B. S. Freer. 1992. Effects of pre-harvest treatment on the yield and quality of winter oilseed rape. HGCA oilseeds research review. No. OS7.
10. Price, J. S., M. A. Neale, R. N. Hobson, and D. M. Bruce. 1996. Seed losses in commercial harvesting of oilseed rape. Journal of Agricultural Engineering Research, 65: 183-191.
11. Quick, G. R. and W. F. Buchele. 1974. Reducting combine gathering losses in soybeans.

- Transaction of the ASAE 17(6): 1123-1129.
- 12. Quick, G. R. 1973. Laboratory analysis of the combine header. Transaction of the ASAE 16(1): 5-12.
  - 13. Quick, G. R. and W. F. Buchele. 1974. Reducting combine gathering losses in soybeans. Transaction of the ASAE 17(6): 1123-1129.
  - 14. Rahmati, M. H. 2007. Proper canola harvesting by cereal combine. Promotion Management and Public Participation. 14-12. (In Farsi).
  - 15. Shahidi, A. and K. Forouzan. 1997. Canola. Oilseeds Cultivation Development Company Press. (In Farsi).
  - 16. Smith, E. A. and A. M. Ramsy. 1983. Force during fruit removal by a mechanical raspberry harvester. Journal of Agricultural Engineering Research, 27 (4): 35-51.
  - 17. Shahab-Zadeh, M. M. 2005. Design, construction and evaluation canola harvest by helping the separator. From M.Sc. Thesis, Faculty of Agriculture, Shiraz University. (In Farsi).
  - 18. Szot, B., M. Szpryngiel and M. Grochowicz. 1995. Necessary adaptation of combine for rape harvesting. Zeszyty PPNR, 427: 27-33.

## بررسی اثرات نوع افشارنک سمپاشی و زمان اختلاط علف کش با خاک بر کنترل علف های هرز (*Zea mays L.*) ذرت

کریم گرامی<sup>۱\*</sup> - محمود صفری<sup>۲</sup>

تاریخ دریافت: ۸۹/۱۱/۳۰

تاریخ پذیرش: ۹۱/۱/۲۸

### چکیده

به منظور مطالعه اثر نوع افشارنک و زمان اختلاط علف کش با خاک بر میزان کنترل علف های هرز ذرت، پژوهشی به صورت کرت های خرد شده بر پایه طرح بلوک های کامل تصادفی در ۳ تکرار در محل مؤسسه تحقیقات اصلاح و تولید نهال و بذر (کیلومتر ۲۵ غرب تهران) در سال ۲۰۰۸ به اجرا درآمد. کرت های اصلی زمان اختلاط علف کش ارادیکان با خاک در ۴ سطح بلا فاصله، ۳، ۶ و ۹ ساعت بعد از سمپاشی و کرت های فرعی نوع افشارنک در ۳ سطح افشارنک تی جت استاندارد<sup>۳</sup>، افشارنک شره ای<sup>۴</sup> و افشارنک هوا القا<sup>۵</sup> بودند. پارامترهای مورد اندازه گیری شامل: تراکم علف های هرز به تفکیک گونه در سه مرحله بلا فاصله قبل از سمپاشی، ۱۵ روز بعد از سمپاشی و ۳۰ روز بعد از سمپاشی، وزن خشک علف های هرز در دو مرحله ۱۵ و ۳۰ روز بعد از سمپاشی و عملکرد ذرت بود. نتایج تحقیق نشان داد افشارنک تی جت نسبت به افشارنک شره ای و هوا القا از نظر ضریب کیفیت پاشش برتری داشت. افشارنک شره ای در مقایسه با سایر افشارنک ها طیف وسیعی از علف های هرز ذرت را کنترل نمود. صرف نظر از نوع افشارنک، زمان اختلاط علف کش با خاک بلا فاصله بعد از سمپاشی، روی عملکرد ذرت افزایش معنی داری نسبت به سایر تیمارها نشان داد. با توجه به واکنش متفاوت علف های هرز به زمان های اختلاط علف کش با خاک بعد از سمپاشی و نیز تأثیر تیمار فوق بر عملکرد ذرت و کاهش وزن خشک علف های هرز، زمان اختلاط علف کش با خاک از صفر تا ۴/۵ ساعت بعد از سمپاشی نسبت به سایر زمان ها برتری نشان داد. تجزیه مرکب داده ها نشان داد ترکیب تیماری افشارنک های تی جت استاندارد (زمان اختلاط علف کش با خاک بلا فاصله و ۳ ساعت بعد از عملیات سمپاشی)، شره ای (زمان اختلاط علف کش با خاک بلا فاصله بعد از عملیات سمپاشی) و هوا القا (زمان اختلاط علف کش با خاک بلا فاصله، ۳ و ۶ ساعت بعد از عملیات سمپاشی) نسبت به سایر ترکیب های تیماری دارای بیشترین عملکرد دانه بودند.

واژه های کلیدی: افشارنک های AI, TS, FJ, سمپاشی ذرت، علف کش خاک مصرف، علف هرز

### مقدمه

از ۹۰ درصد سطح زیر کشت ذرت کشور (۴۷۰ هزار هکتار) مبارزه شیمیائی صورت می گیرد (Agricultural Statistics, 2007). با توجه به روند افزایشی سطح زیر کشت ذرت در کشور وجود علف های هرز به عنوان یکی از موانع اصلی در افزایش تولید، یکی از مهم ترین روش ها جهت کنترل علف های هرز ذرت روش کنترل شیمیایی می باشد. لذا انتخاب صحیح سمپاش و افشارنک های مربوطه و کالیبراسیون درست آن باعث افزایش بازده سمپاشی و کاهش خسارت به محیط زیست و کاهش بی رویه مصرف سم شده و تولید کنندگان و وارد کنندگان را در سازگاری سمپاش با شرایط کشت موجود کمک نموده و کاربران سمپاش را در انتخاب سمپاش و افشارنک مؤثر و مناسب در کنترل معضلات گیاه پزشکی راهنمایی می کند (Fallah Jeddi, 2005). در این (Gerami, 2005) سه نوع سمپاش را به منظور مبارزه با علف های هرز مزرعه گندم بررسی نمود.

ذرت دانه ای به عنوان ماده اولیه خوراک دام، طیور، انسان و ماده خام تولیدات صنعتی و غذایی، یکی از محصولات مهم و اساسی محسوب می گردد که هر ساله کشاورزان هزینه زیادی را برای کنترل علف های هرز آن متحمل می شوند (Gerami, 2010). سطح زیر کشت ذرت در سال ۱۳۸۶ بالغ بر ۵۰۰ هزار هکتار می باشد؛ که از این مقدار ۸۰ درصد ذرت دانه ای و ۲۰ درصد ذرت علوفه ای است که در بیش

۱- پژوهشگر، مؤسسه تحقیقات فنی و مهندسی کشاورزی کرج  
(Email: kg\_gerami@yahoo.com) \*- نویسنده مسئول:

۲- مرتب پژوهشی، مؤسسه تحقیقات فنی و مهندسی کشاورزی کرج

3 - Teejet Standard (TS)

4 - Floodjet (FJ)

5 - Air Induction (AI)

(Brown *et al.*, 2007). بیشترین کنترل علفهای هرز ذرت را در شرایط سمپاشی با قطرات درشت حاصل از افشارنک‌های پیش سوراخ دار، افشارنک توماً با جریان هوا و افشارنک شره ای در فشار پایین دانست (Matthews, 1999). با استفاده از کارت‌های حساس به آب، آزمایشاتی توسط (Naseri, 2007) روی صفات NMD، VMD و NMD کیفیت پاشش انجام گرفت. نتایج این پژوهش نشان داد مناسب ترین تیمار برای مبارزه با آفاتی از قبیل سن گندم، سمپاشی با کمترین قطر افشارنک (۱/۲ میلیمتر)، کمترین فشار (۱۵ بار) و بیشترین سرعت پیشروی (۸/۱۲ کیلومتر در ساعت) است. سوم مختلفی که بصورت پیش کاشت مصرف می‌شود توسط (Umeda, 1988) روی ذرت آزمایش گردید، این سوم شامل (ارادیکان) و Dual و Eradican Frontiers بودند که توسط بوم دستی با افشارنک‌های تی جت استاندارد ۸۰۰۴ با  $18\text{GPa}$  و فاصله افشارنک‌ها  $50\text{cm}$  اعمال گردید. در این آزمایش کلیه سومون در کنترل علفهای هرز موفق بودند و اختلاف معنی داری بین تیمارها وجود نداشت.

تأثیر سه نوع علف کش تریفلورالین، اکسادیزون و ایزوپرترون و سه روش اعمال آن که شامل روش پیش رویش با استفاده از سمپاش، روش پیش رویش و اختلاط کامل با خاک و همچنین روش اختلاط آن با خاک قبل از کشت توسط (Khan, 2000) مورد بررسی قرار گرفت. نتایج نشان داد که استفاده از علف کش اکسادیزون به روش اختلاط با خاک قبل از مرحله کاشت دارای بیشترین عملکرد محصول می‌باشد. در بررسی انجام شده توسط کراپتری Crabtree, 2000) با استفاده از ترفلان با غلظت‌های  $1\text{, }2\text{, }4\text{, }8\text{, }16\text{, }32\text{, }64\text{, }128\text{, }256\text{, }512\text{, }1024\text{, }2048\text{, }4096\text{, }8192\text{, }16384\text{, }32768\text{, }65536\text{, }131072\text{, }262144\text{, }524288\text{, }1048576\text{, }2097152\text{, }4194304\text{, }8388608\text{, }16777216\text{, }33554432\text{, }67108864\text{, }134217728\text{, }268435456\text{, }536870912\text{, }1073741824\text{, }2147483648\text{, }4294967296\text{, }8589934592\text{, }17179869184\text{, }34359738368\text{, }68719476736\text{, }137438953472\text{, }274877906944\text{, }549755813888\text{, }1099511627776\text{, }2199023255552\text{, }4398046511104\text{, }8796093022208\text{, }17592186044416\text{, }35184372088832\text{, }70368744177664\text{, }14073748835332\text{, }28147497670664\text{, }56294995341328\text{, }11258999068264\text{, }22517998136528\text{, }45035996273056\text{, }90071992546112\text{, }18014398509224\text{, }36028797018448\text{, }72057594036896\text{, }14411518807376\text{, }28823037614752\text{, }57646075229504\text{, }11529215049000\text{, }23058430098000\text{, }46116860196000\text{, }92233720392000\text{, }184467440784000\text{, }368934881568000\text{, }737869763136000\text{, }1475739526272000\text{, }2951479052544000\text{, }5902958105088000\text{, }11805916210176000\text{, }23611832420352000\text{, }47223664840704000\text{, }94447329681408000\text{, }188894659362816000\text{, }377789318725632000\text{, }755578637451264000\text{, }1511157274902528000\text{, }3022314549805056000\text{, }6044629099610112000\text{, }1208925819922024000\text{, }2417851639844048000\text{, }4835703279688096000\text{, }9671406559376192000\text{, }19342813118752384000\text{, }38685626237504768000\text{, }77371252475009536000\text{, }15474250495019072000\text{, }30948500990038144000\text{, }61897001980076288000\text{, }123794003960152576000\text{, }247588007920305152000\text{, }495176015840610304000\text{, }990352031681220608000\text{, }1980704063362441216000\text{, }3961408126724882432000\text{, }7922816253449764864000\text{, }1584563250689532972000\text{, }3169126501379065944000\text{, }6338253002758131888000\text{, }1267650600551626376000\text{, }2535301201103252752000\text{, }5070602402206505504000\text{, }1014120480441301108000\text{, }2028240960882602216000\text{, }4056481921765204432000\text{, }8112963843530408864000\text{, }1622592768660817776000\text{, }3245185537321635552000\text{, }6490371074643271104000\text{, }1298074214928642208000\text{, }2596148429857284416000\text{, }5192296859714568832000\text{, }10384593719429137664000\text{, }20769187438858275328000\text{, }41538374877716550656000\text{, }83076749755433101312000\text{, }166153499510862022624000\text{, }332306999021724045248000\text{, }664613998043448090496000\text{, }1329227996086896180992000\text{, }2658455992173792361984000\text{, }5316911984347584723968000\text{, }10633823968691169447936000\text{, }21267647937382338895872000\text{, }42535295874764677791744000\text{, }85070591749529355583488000\text{, }170141183498558711167968000\text{, }340282366997117422335936000\text{, }680564733994234844671872000\text{, }136112946798848968934352000\text{, }272225893597697937868704000\text{, }544451787195395875737408000\text{, }1088903574385791751474016000\text{, }2177807148771583502948032000\text{, }4355614297543167005896064000\text{, }8711228595086334011792128000\text{, }17422457190172668023584256000\text{, }34844914380345336047168512000\text{, }69689828760690672094337024000\text{, }139379657521381344188674048000\text{, }278759315042762688377348096000\text{, }557518630085525376754696192000\text{, }111503726017050675359348384000\text{, }223007452034101350718696768000\text{, }446014904068202701437393536000\text{, }892029808136405402874787072000\text{, }178405961627281080574957144000\text{, }356811923254562161149854288000\text{, }713623846509124322299708576000\text{, }1427247693018286644599417152000\text{, }2854495386036573289198834304000\text{, }5708985772073146578397668608000\text{, }11417971544146291156795337216000\text{, }22835943088292582313590674432000\text{, }45671886176585164627181348864000\text{, }91343772353170329254362697728000\text{, }182687544706340658508725395456000\text{, }365375089412681317017450790912000\text{, }730750178825362634034901581824000\text{, }1461500357650725268069503163648000\text{, }2923000715301450536139006327296000\text{, }5846001430602901072278012654592000\text{, }11692002853058021444556025309184000\text{, }23384005706116042889112050618368000\text{, }46768011412232085778224101236736000\text{, }93536022824464171556448202473472000\text{, }18707204564892834311296404946944000\text{, }37414409129785668622592809893888000\text{, }74828818259571337245185619787776000\text{, }14965763651914267449037123957552000\text{, }29931527303828534898074247915104000\text{, }59863054607657069796148495830208000\text{, }119726109215314139592296991660416000\text{, }239452218430628279184593983320832000\text{, }478904436861256558389187966641664000\text{, }957808873722513116778375933283328000\text{, }191561774744502623355675866656664000\text{, }383123549489005246711351733313328000\text{, }76624709897801049342270346662664000\text{, }153249419795602098684540693325328000\text{, }30649883959120419736908138665064000\text{, }61299767918240839473816277330128000\text{, }122599535836481678947632554660256000\text{, }245199071672963357895265109320512000\text{, }490398143345926715790530218641024000\text{, }980796286691853431581060437282048000\text{, }1961592573383706863162120874564096000\text{, }3923185146767413726324241749128192000\text{, }7846370293534827452648483498256384000\text{, }15692740587069654905296966996512768000\text{, }31385481174139309810593933993025536000\text{, }62770962348278619621187867986051072000\text{, }125541924696557239242375735972102144000\text{, }251083849393114478484751471944204288000\text{, }502167698786228956969502943888408576000\text{, }1004335397572458113939005887768171536000\text{, }2008670795144916227878011775536343072000\text{, }40173415902898324557560235510726671536000\text{, }80346831805796649115120471021453343072000\text{, }16069366361159328223040842042856671536000\text{, }32138732722318656446081684084513343072000\text{, }64277465444637312892163368169026671536000\text{, }128554930889274625784326736338053343072000\text{, }257109861778549251568653472676106671536000\text{, }514219723557098503137306945352213343072000\text{, }102843944711419700627461389070442671536000\text{, }2056878894228394012549227781408853343072000\text{, }411375778845678802509845556281770671536000\text{, }822751557691357605019691112563541343072000\text{, }164550311538271521029388222512782671536000\text{, }329100623076543042058776445025565343072000\text{, }658201246153086084117552890051130671536000\text{, }131640249230617216823505778010261343072000\text{, }263280498461234433647011556020522671536000\text{, }526560996922468867294022312040145343072000\text{, }1053121993844937334588044640800290671536000\text{, }2106243987689874669176089281600581343072000\text{, }4212487975379749338352178563201162671536000\text{, }8424975950759498676704357126402325343072000\text{, }1684995980151899733340714252804650671536000\text{, }3369981960303799466681428505609301343072000\text{, }6739963920607598933362857011218602671536000\text{, }13479927841215197866725744022437205343072000\text{, }26959855682430395733451488044874410671536000\text{, }53919711364860791466902976089748821343072000\text{, }107839422729721582933805521179497642671536000\text{, }215678845459443165867602542358995285343072000\text{, }431357690918886331735205084717985570671536000\text{, }862715381837772663470410169435971141343072000\text{, }1725430763675545326940820338871942282671536000\text{, }3450861527351090653881640677743884565343072000\text{, }6901723054702181307763281355487769131343072000\text{, }13803446109404362615526562710955538265343072000\text{, }276068922188087252310531254219110765343072000\text{, }55213784437617450462106250843822153465343072000\text{, }11042756887234890092421250168764430685343072000\text{, }22085513774469780184842500337528861370671536000\text{, }44171027548939560369685000675057722741343072000\text{, }88342055097879120739370001350115445482671536000\text{, }176684110195758241478740002700230890965343072000\text{, }353368220391516482957480005400461781930671536000\text{, }706736440783032965914960001080092356381343072000\text{, }141347288156606593182920002160184712762671536000\text{, }282694576313213186365840004320369425525343072000\text{, }565389152626426372731680008640738851050671536000\text{, }113077830525285274546336001728147770201343072000\text{, }226155661050570549092672003456295540402671536000\text{, }452311322101141098185344006912583080805343072000\text{, }904622644202282196370688001382516616170671536000\text{, }180924528404564239274136002765033232341343072000\text{, }361849056809128478548272005530066464682671536000\text{, }723698113618256957096544001106013293365343072000\text{, }144739622723651391419308002212026586730671536000\text{, }289479245447302782838616004424053173461343072000\text{, }57895849089460556567723200884810634692671536000\text{, }115791698178921113135446001769621269845343072000\text{, }231583396357842226270892003539242538890671536000\text{, }463166792715684452541784007078485077801343072000\text{, }926333585431368905083568001415697015602671536000\text{, }1852667170862737810167168002831394031205343072000\text{, }3705334341725475620334336005662788062410671536000\text{, }741066868345095124066867201132557132821343072000\text{, }1482133736690190248133744022651114265641343072000\text{, }2964267473380380496267488045302228531282671536000\text{, }5928534946760760992534976090604457062565343072000\text{, }1185706989352152198506952181208894125131343072000\text{, }2371413978704304397013904362417788250262671536000\text{, }4742827957408608794027808724835576500525343072000\text{, }948565591481721758805561744967115310105343072000\text{, }189713118296344351761112348993430620210671536000\text{, }3794262365926887035222246979868612404201343072000\text{, }7588524731853774070444493959737224808402671536000\text{, }15177049463067540140889879195474449616805343072000\text{, }30354098926135080281779758390948899233610671536000\text{, }60708197852270160563559516781897798672021343072000\text{, }12141639570454032112711903356379559744041343072000\text{, }24283279140908064225423806712759119488082671536000\text{, }48566558281816128450847613425518238961665343072000\text{, }971331165636322569016952268510364779233343072000\text{, }194266233127264513803390453702072955846671536000\text{, }388532466254529027606780907404145891173343072000\text{, }77706493250905805521356181480829178346671536000\text{, }15541298650181601104272363296165835673343072000\text{, }31082597300363202208544726592331671346671536000\text{, }62165194600726404417089453184663414693343072000\text{, }12433038900145608834178906636932829338671536000\text{, }24866077800291217668357813273865656777343072000\text{, }4973215560058243533671562654773131354671536000\text{, }994643112011648706734312530954626534671536000\text{, }1989286224023297413468645661859252969343072000\text{, }397857244804659482693729112371851589671536000\text{, }795714489609318965387458224743703178943072000\text{, }15914289792186389307741644948740663578871536000\text{, }3182857958437277861548328989748133557771536000\text{, }636571591687455572309665797949626751536000\text{, }12731431833750114460193159589925303071536000\text{, }254628636$

**کیفیت پاشش:** قطرات حاصل از افشارنک های هیدرولیکی دارای اندازه یکسانی نیستند و این افشارنک ها طیف متنوعی از قطرات سم تولید می کنند، بعیارتی این طیف قطرات از بسیار ریز تا بسیار درشت را شامل می شود. ارزیابی های کیفیت بر اساس اندازه گیری طیف قطره می باشد. طیف قطره روی مقدار پوشش پاشش اثرخواهد گذاشت. ضریب کیفیت پاشش بر این نسبت VMD/NMD است و هر قدر به عدد یک نزدیکتر باشد یکنواختی پاشش بیشتر است (Anonymous, 2004).

اندازه قطرات با استفاده از کاغذهای حساس اندازه گیری گردید. به منظور تعیین قطر تقریبی و تعداد قطرات در یک سانتیمتر مربع از روش بزرگنمائی (Scale up) استفاده شد. سپس با استفاده از دستگاه کولونی متعدد و قطر ذرات تعیین گردید (Safari et al., 2010). درصد فراوانی تجمعی عددی و درصد فراوانی تجمعی حجمی قطرات برای هر دامنه گروه قطرات محاسبه و نهایتاً با توجه به تعاریف بالا به ترتیب قطر میانه عددی و قطر میانه حجمی محاسبه گردید (جداول ۱ و ۲).

**ب) ارزیابی بیولوژیکی:** در این روش تأثیر تیمارهای مختلف بر کنترل علف های هرز مورد ارزیابی قرار گرفت که شامل موارد زیر است:

### تراکم و وزن خشک علف های هرز

قبل از انجام عملیات سمپاشی پیش رویشی، در قسمت سمپاشی شده و سمپاشی نشده کلیه کرت ها یک کادر ثابت  $1 \times 1/5$  متر مربع نصب گردید (ضمیراً دقت شد که محل استقرار قادر از نظر حضور علف هرز نمایانگر آن علف هرز باشد). سپس ۳۰ روز پس از عملیات سمپاشی پیش رویشی در کادرهای ثابت مربوط به هردو قسمت سمپاشی شده و سمپاشی نشده، تراکم علف های هرز به تفکیک گونه شمارش گردید. بدین ترتیب درصد کاهش تراکم علف های هرز به ترتیب گونه نسبت به قسمت سمپاشی نشده هر کرت با معادله (۱) محاسبه گردید.

$$N = (W_1 - W_2) / W_1 * 100 \quad (1)$$

$$N = \text{کنترل علف هرز} (\%)$$

$W_1$  = تراکم علف های هرز در واحد سطح قبل از اعمال تیمار  $W_2$  = تراکم علف های هرز در واحد سطح بعد از اعمال تیمار علف های هرز صدمه دیده بعد از عملیات سمپاشی، شامل علف های هرز کاملاً ریشه کن شده یا مدفون شده در داخل خاک و علف های هرز صدمه دیده (از نظر فیزیکی) است (RNAM, 1983).

به منظور بررسی تأثیر تیمارهای کاربردی روی کاهش وزن خشک علف های هرز، در ۳۰ روز پس از عملیات سمپاشی پیش رویش یک کادر  $0.05m \times 0.75m$  در قسمت تیمار شده و یک کادر  $0.05m \times 0.75m$  در قسمت تیمار نشده هر کرت پرتاب گردید (جائیکه

در آن زمان اختلاط علف کش با خاک شامل زمان های بلا فاصله، ۳۶ و ۹ ساعت بعد از سمپاشی، در کرت های اصلی و نوع افشارنک در کرت های فرعی قرار گرفت. طول و عرض هر کرت بترتیب ۱۰ و ۴ متر، و برای جلوگیری از اثر بادبردگی فاصله ۳ متری بین تیمارها و فاصله ۸ متری بین تکرارها در نظر گرفته شد. روش کاشت ذرت دانه ای در مزرعه مطابق الگوی کاشت منطقه (فاصله ردیف ها ۷۵ سانتی متر) و توصیه شده توسط مؤسسه تحقیقات اصلاح و تهییه نهال و بذر بوده و رقم بذر ذرت مورد استفاده سینگل کراس ۷۰۴ بود.

علفکش مورد استفاده ای پی تی سی با نام تجاری ارادیکان است که به صورت انتخابی، سیستمیک عمل کرده و علیه علفهای هرز باریک برگ و پهن برگ یک ساله استفاده می شود. عملیات کاشت در تاریخ ۲۵ اردیبهشت و با دستگاه ردیفکار پنوماتیکی چهار ردیفه مارک تراشکده انجام و آبیاری به طریقه نشتی و مطابق نیاز گیاه هر ۷ تا ۱۰ روز یکبار انجام شد. در مرحله داشت، کود او ره به میزان ۴۰۰ کیلوگرم در دو نوبت نصف هنگام کاشت و نصف در مرحله ۷ الی ۸ برگی ذرت بصورت دستپاش در جویچه ها توزیع شد.

افشارنک های مورد استفاده در این تحقیق عبارت بودند از:

-۱- افشارنک هوا-القا (AI) -۲- افشارنک تی جت استاندارد (TS) -۳-

افشارنک شره ای (FJ) (شکل ۱).

دیسک مورد استفاده برای عملیات دیسک زنی (اختلاط محلول سمی با خاک) از نوع تاشو سوار با عرض کار  $2/5$  متر و از نظر توان و ظرفیت سیستم هیدرولیک، قابل اتصال به تراکتورهای مسی فرگوسن ۲۸۵ و اونیورسال (U650) بود. قبل از عملیات، سمپاش از نظر سالم بودن اجزا و کارکرد بررسی و برای تنظیم پاشش یکنواخت مقدار معینی از محلول سمی در واحد سطح کالیبره گردید. شماره فنی افشارنک های مورد استفاده ۱۱۰۴ استخراج گردید. میزان حجم پاشش در هکتار برای هر کدام از افشارنک ها در سرعت پیشروعی  $6/8$  کیلومتر در ساعت و فشار پاشش  $2/9$  بار،  $300$  لیتر در هکتار بود.

**ارزیابی افشارنک ها** به دو صورت متفاوت انجام گرفت:

**(الف) ارزیابی فیزیکی:** که شامل اندازه گیری قطر میانه حجمی و

قطر میانه عددی و ضریب کیفیت پاشش افشارنک ها بود.

**قطر میانه حجمی:** قطری از قطره سم است که  $50$  درصد قطرات موجود در کل حجم محلول، کوچکتر از آن است. به عبارت دیگر در یک نمونه از سم، قطرات به نحوی به دو قسمت مساوی تقسیم می شوند که نیمی از آنها کوچکتر و نیم دیگر بزرگتر از قطر میانه حجمی هستند.

**قطر میانه عددی:** قطری از قطرات سم که  $50$  درصد از کل قطرات سم (بدون درنظر گرفتن حجم) کوچکتر از آن باشند.

1- VMD: Volume Median Diameter

2- NMD: Number Median Diameter

شده توسط افشارنک AI است که ۵۰ درصد قطرات موجود در کل حجم محلول کوچکتر از آن و طبق استاندارد اروپایی طبقه بندی کیفیت پاشش افشارنک‌ها که توسط انجمن حفظ نباتات انگلستان<sup>۱</sup> ارائه شده جزو پاشش‌های متوسط تا درشت می‌باشد. قطر میانه عددی برای افشارنک‌ها (القا) ۱۰۸ میکرون می‌باشد و این قطری است که ۵۰ درصد از کل قطرات سم (بدون نظر گرفتن حجم) کوچکتر از آن هستند. ضریب کیفیت پاشش  $\frac{3}{84}$  می‌باشد که این عدد در حالت ایده‌آل اگر کل قطرات دارای اندازه یکنواختی باشند برابر یک می‌باشد و در افشارنک‌های هیدرولیکی بسته به نوع فن آوری معمولاً بین ۲ تا ۴ می‌باشد بنابراین افشارنک‌ها (القا) از نظر ضریب کیفیت پاشش نسبت به سایر افشارنک‌ها در سطح پایینی قرار دارد.

عوامل و خصوصیات سایر افشارنک‌ها نیز مثل افشارنک‌ها (القا) محاسبه و در جدول ۲ ارائه شده است. قطر میانه حجمی برای افشارنک شره‌ای که جزو افشارنک‌های دارای قطرات نسبتاً درشت می‌باشد برابر ۴۱۸ میکرون، قطر میانه عددی ۱۲۹ میکرون و ضریب کیفیت پاشش برابر  $\frac{3}{24}$  می‌باشد. ضریب کیفیت این افشارنک نسبت به افشارنک AI بیشتر بوده بعبارت بهتر کیفیت پاشش افشارنک FJ نسبت به افشارنک AI کمتر می‌باشد. قطر میانه حجمی برای افشارنک تی جت استاندارد برابر ۳۰۲ میکرون، قطر میانه عددی برابر ۱۳۹ میکرون و ضریب کیفیت برابر  $\frac{2}{17}$  می‌باشد.

ضریب کیفیت این افشارنک نسبت به افشارنک‌های AI و FJ کمتر بوده بعبارت بهتر کیفیت پاشش افشارنک TS نسبت به دو افشارنک AI و FJ بیشتر می‌باشد. با توجه به جدول ۲، VMD افشارنک AI نسبت به افشارنک TS بهمیزان  $\frac{37}{4}$  درصد بیشتر بوده که مؤید نظرات روبرت ولف است (Wolf, 2005). افزایش VMD افشارنک‌ها (القا) نسبت به افشارنک تی جت با کاربرد سم رانداب (فشار ۴۰ psi) در مبارزه با علف‌های هرز سویا نیز توسط (Jones *et al.*, 2002) گزارش شده است.

نمایانگر علف‌های هرز آن کرت بود) و در این قادرها علف‌های هرز باریک و پهن برگ به تفکیک گونه از سطح خاک قطع شد و پس از قرار دادن آنها در آون ۷۵ درجه به مدت ۷۲ ساعت توزین گردید. در این حالت درصد کاهش ماده خشک هر تیمار نسبت به شاهد همان کرت مطابق معادله (۲) محاسبه گردید (Zand, 2008).

$$DW_r = \frac{DW_1 - DW_2}{DW_1} \quad (2)$$

$DW_r$  = درصد کاهش وزن خشک علف هرز

$DW_1$  = وزن خشک علف هرز در نیمه سمپاشی نشده

$DW_2$  = وزن خشک علف هرز در نیمه سمپاشی شده

پس از جمع آوری داده‌های مربوط به پارامترهای مورد اندازه گیری، تجزیه و تحلیل آماری داده‌ها توسط نرم افزار MSTATC مقایسه میانگین آنها با استفاده از آزمون مقایسه میانگین دانکن انجام گرفت.

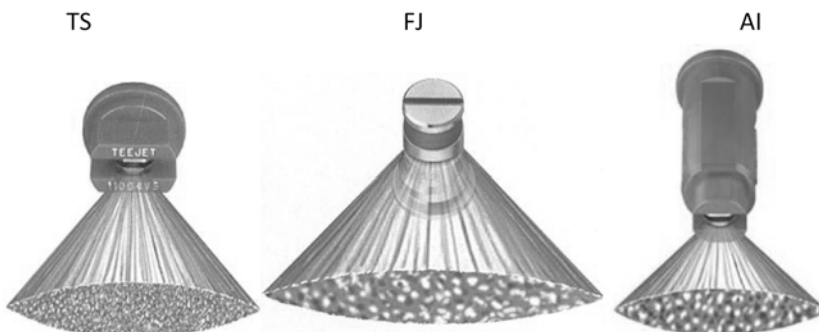
## نتایج و بحث

### شناسایی علف‌های هرز

علف‌های هرز موجود در مزرعه آزمایش عبارت بودند از: پیچک (*Protulaca Oleracea*)، خرفه (*Convolvulus Arvensis*), تاتوره (*Datura stramonium L.*), هفت‌بند، سلمه تره (چاج خروس *Chenopodium album*), آفتاب پرست (*Cyperus rotundus*)، اویار سلام (*Amaranthus retroflexus*) و آفتاب پرست (*Heliotropium spp.*).

### ارزیابی فیزیکی

با توجه به جدول ۱ قطر میانه حجمی برای افشارنک‌ها (القا) که جزو افشارنک‌های با بادبردگی کم می‌باشد، برابر ۴۱۵ میکرون است. عبارت بهتر ۴۱۵ میکرون اندازه قطری از قطرات محلول سم پاشیده



شکل ۱- افشارنک‌های رایج مورد استفاده بر روی سمپاش بوم دار پشت تراکتوری

Fig. 1. Conventional nozzles used on the tractor boom sprayer

### جدول ۱ - قطر میانه حجمی، قطر میانه عددی و ضریب کیفیت پاشش در افشارنک هوا القا

**Table 1.** Volume median diameter, number median diameter and uniform coefficient of spraying in air Induction nozzle

فرزونی تجمعی (درصد)	Volumetric cumulative frequency (%)	درصد مجمعی Volume percentage	محض قدره × مقدار Droplet volume × number ( $\mu\text{m}^3$ )	محض قدره Droplet volume ( $\mu\text{m}^3$ )	فرزونی تجمعی عددی (درصد)	Numerical cumulative frequency (%)	مقدار قدره در گروه Droplet in group (%)	مقدار قدره در گروه Droplet in group (%)	میانده گروه (میکرون) Group representative(μ)	درازه گروه قدره (میکرون) Droplet range(μ)
0.003	0.003	214677.643	6708.676	4.630	32	4.630	32	25	0-50	
0.563	0.560	37269190.05	207051.055	30.680	212	26.049	180	75	51-100	
16.882	16.258	1081015037	2729835.952	87.988	608	57.308	396	175	101-250	
43.882	27.059	1799103490	27259143.8	97.539	674	9.551	66	375	251-500	
100	56.117	3731122669	219477804	100	691	2.460	17	750	501-1000	
	100	6648725064	249680543.5				100	691		
NMD	= 108 $\mu$	VMD	= 415 $\mu$				SQ	= 3.84		

SQ: ضریب کیفیت پاشش (Spray quality)

که اثرات تیمار نوع افشارنک سمپاش بر درصد کنترل علف های هرز خرفه، تاتوره، سلمه تره، تاج خروس، اویارسلام و آفتاب پرست معنی دار شده است. طبق آزمون دانکن بین افشارنک های مختلف پاشش از لحاظ درصد کنترل شده علف های هرز یاد شده تفاوت معنی داری در سطح ۱٪ وجود دارد. به طوری که افشارنک AI با ۲۳/۹٪ نسبت به سایر افشارنک ها در کنترل علف هرز تاتوره موفق عمل نموده و افشارنک FJ در کنترل علف های هرز خرفه، سلمه تره، تاج خروس، اویارسلام و آفتاب پرست بهتر تیپ با ۴۱/۱٪، ۵۳/۹٪، ۵۳/۹٪، ۶۱/۸٪ و ۵۸/۶٪ نسبت به سایر افشارنک ها برتری نشان داد. افزایش کنترل علف های هرز بوسیله افشارنک شره ای نسبت به بادبزنی مسطح توسط علف کش Mon8793 با دز ۳/۶ کیلوگرم در هکتار گزارش شده است (Ashok *et al.*, 2003). افشارنک شره ای (FJ) دارای VMD (میکرون) برابر با ۴۱۸ میکرون بوده که بیشتر از افشارنک های TS و AI می باشد و بنظر می رسد این افشارنک با توجه ماهیت قطرات در رسیدن به هدف مؤثرتر بوده است و دلیل آن می تواند بعلت پایین بودن بادبردگی نسبت به افشارنک های دیگر باشد. در خصوص مجموع وزن خشک علف های هرز پهن برگ، اثرات نوع افشارنک در سطح ۵٪ معنی دار شده است و این بیانگر اینست که تأثیر تیمار افشارنک از لحاظ تغییرات میانگین مجموع وزن خشک علف های هرز پهن برگ یکسان نیست بطوريکه افشارنک TS با ۴۰/۱ گرم دارای بیشترین وزن خشک بوده، بعارتی دارای ضعیفترین کنترل علف های هرز پهن برگ می باشد و افشارنک های FJ و AI با هم اختلاف معنی داری نداشته و بیشترین کنترل را داشته اند. در بررسی عملکرد ذرت در هکتار، طبق آزمون دانکن اثر نوع افشارنک معنی دار نشده است. بدین معنی که تأثیر سطوح تیمار افشارنک ها از لحاظ تغییرات عملکرد دانه یکسان است و نوع افشارنک در افزایش یا کاهش عملکرد تأثیری نداشته است.

### جدول ۲ - ارزیابی فیزیکی افشارنک ها بر اساس استاندارد BCPC

**Table 2.** Physical evaluation of nozzles based on BCPC standards

نام افشارنک Nozzle	مقدار میانه عددی (MND) ( $\mu$ )	مقدار میانه حجمی VMD (میکرون) ( $\mu\text{m}^3$ )	ضریب کیفیت SQ	فرزونی تجمعی عددی (%)	طبقه بندی BCPC	افشارنک های بر اساس BCPC Classification based on BCPC
TS	139	302	2.172	medium to coarse (Low range)	متوسط تا درشت (محدوده پایین)	
FJ	129	418	3.124	medium to coarse	متوسط تا درشت	
AI	108	415	3.84	medium to coarse	متوسط تا درشت	Teejet Standard
						Flood Jet
						Air Induction

TS: افشارنک تی جت استاندارد

FJ: افشارنک شره ای

AI: افشارنک هوا القا

### ارزیابی بیولوژیکی

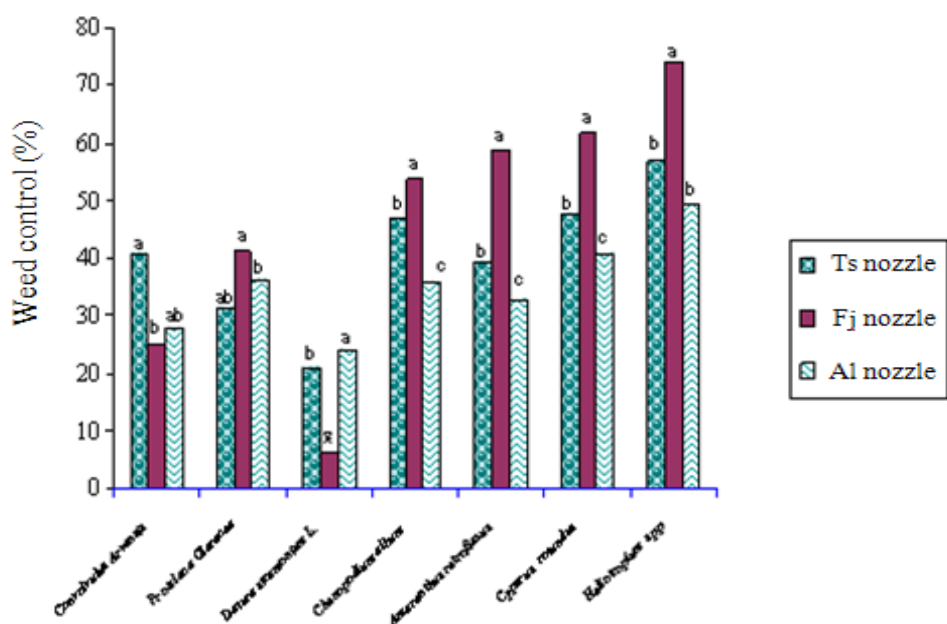
در جدول ۳ اثرات تکرار (بلوک) معنی دار نبوده ولی اثرات تیمارهای نوع افشارنک از لحاظ درصد کنترل علف هرز پیچک در سطح ۵ درصد معنی دار شده است. همانگونه که از شکل ۲ مشاهده می شود بین افشارنک های مختلف از نظر کنترل علف هرز پیچک تفاوت معنی داری وجود دارد بطوريکه بیشترین کنترل علف هرز پیچک مربوط به افشارنک تی جت استاندارد می باشد و افشارنک های شره ای و هوا القا در رددهای بعدی قرار گرفته اند. برای علف هرز هفت بند اثر تیمار نوع افشارنک سمپاشی معنی دار نشده است؛ یعنی افشارنک های نوع هوا القا، شره ای و هوا القا نشان می دهد علف هرز یاد شده به یک میزان مؤثر بوده اند. جدول ۳ نشان می دهد

جدول ۳ - تجزیه واریانس درصد کنترل علف‌های هرز به تفکیک گونه، وزن خشک علف‌های هرز و عملکرد محصول

Table 3 Analysis of variance of weeds control percentage according to species, weeds dry weight and yields

عملکرد (ton/ha)	وزن خشک علف‌های هرز (gr)	Weeds dry weight(gr)	F مقدار						درجه آزادی df	منابع تغییرات Source of variations
			دندانه هرز	آفتاب پرست	سلمه تره	تاج خروس	هفت بند	خرفه		
Grain yield (ton/ha)										
4.1 ns	2.1 ns	0 ns	0.6 ns	1.2 ns	2.2 ns	0.5 ns	1 ns	1.8 ns	2.3 ns	نکار Rep.
8.7*	102.3**	9.4**	53.2**	327.9**	92.1**	70.6**	1 ns	82.7**	217.5**	زنگ ازدای Incorporation Time(A)
0.7 ns	49.6**	2.8*	10.2**	454.0**	54.9**	85.5**	1 ns	33.7**	9.9**	نوع افشار Nozzle type(B)
0.5 *	47.7**	2.2 *	15.8**	792.0**	28.7**	40.1**	1 ns	30.1**	17.3**	زنگ ازدای Incorporation Time(A)
										A,B

ns: no significant difference      | : اختلاف معنی دار وجود ندارد.      \* and \*\* : significant at 5% and 1% probability levels, respectively      <sup>\*</sup> و <sup>\*\*</sup> : ترتیب اختلاف معنی دار در مقطع احتمال ۵٪ و ۱٪



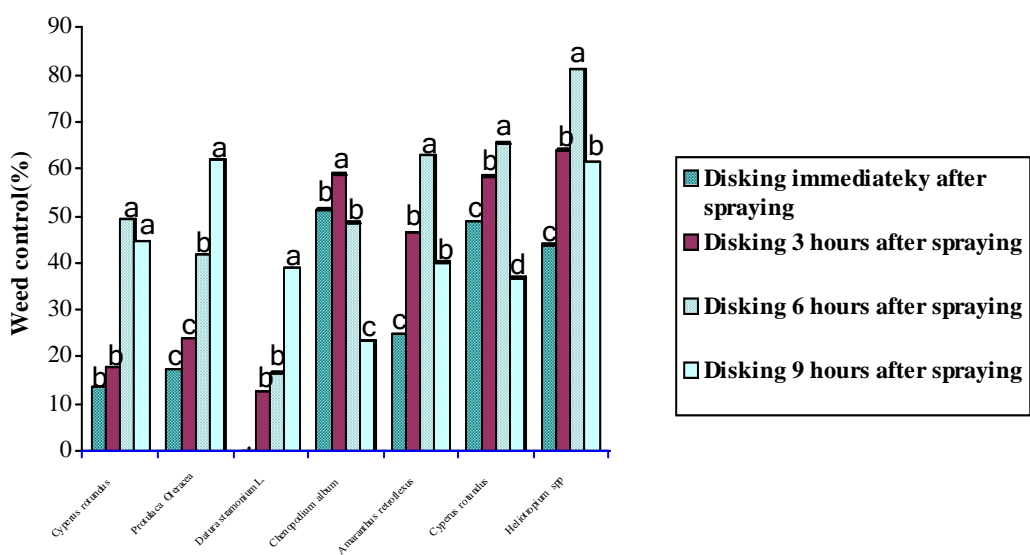
شکل ۲- اثر نوع افشارنک روی درصد کنترل علفهای هرز ذرت

(میانگین‌هایی که با حروف لاتین مشترک مشخص شده‌اند، در یک گروه قرار داشته و اختلاف معنی دار ندارند)

**Fig. 2.** The effect of nozzle types on the control of corn weeds  
(Columns with the same letters have not significant differences)

(شکل ۳) و دلیل آن می‌تواند بعلت زمان کافی تأثیر علفکش در علفهای هرز روی زمین باشد. همچنین (Bacon, 1999) در محصول گندم، در تأیید این نتایج، سیر نزولی اثر علفکش تریفلورالین ناشی از تأخیر زمانی صفر تا ۲۴ و صفر تا ۴۸ ساعت اختلاط با خاک را بترتیب ۹۰ درصد و ۸۰ درصد گزارش نموده است. اختلاط با خاک را بترتیب ۹۰ درصد و ۸۰ درصد گزارش نموده است. در مورد مجموع وزن خشک علفهای هرز پهنه برگ و نازک برگ، اثرات زمان عملیات دیسک زنی در سطح ۱٪ معنی دارشده است شکل ۳ نشان می‌دهد زمان شش ساعت بعد از سمپاشی در کنترل پهنه برگ‌ها و بلا فاصله بعد از سمپاشی در کنترل نازک برگ‌ها موفق عمل کرده است. اثرات تیمار زمان اختلاط علفکش با خاک در عملکرد ذرت در سطح ۰.۵٪ معنی دار شده است و می‌توان گفت که تأثیر سطوح تیمار زمان اختلاط علفکش با خاک از لحاظ تغییرات عملکرد دانه یکسان نیست. بطوريکه زمان‌های اختلاط علفکش با خاک صفر و سه ساعت بعد از سمپاشی از نظر آماری در یک رده بوده و دارای بیشترین عملکرد دانه ذرت می‌باشند. (Haghshenas, 2010) نیز در پژوهشی زمان اختلاط علفکش با خاک صفر ساعت پس از سمپاشی را در افزایش عملکرد دانه گلنک اشاره نموده است.

در جدول ۳ اثرات تیمار زمان اختلاط علفکش با خاک بعد از سمپاشی از لحاظ درصد کنترل علف هرز پیچک در سطح ۰.۱٪ معنی دار شده است. یعنی اختلاط علفکش با خاک شش ساعت بعد از زمان سمپاشی، این علف هرز را با ۴۱/۶ درصد بطور معنی داری نسبت به سایر زمان‌ها بهتر کنترل نمود. برای علف هرز هفت بند، اثرات تیمار زمان اختلاط علفکش با خاک بعد از سمپاشی معنی دار نشده است. بعبارت بهتر تأثیر زمان‌های مختلف اختلاط علفکش با خاک از لحاظ درصد کنترل برای علف هرز هفت بند یکسان است. یعنی اختلاط علفکش با خاک بلا فاصله، ۳، ۶ و ۹ ساعت بعد از سمپاشی در کنترل علف هرز یاد شده به یک میزان مؤثر بوده‌اند. اثرات این تیمار در درصد کنترل علفهای هرز خرفه، تاتوره، سلمه تره، تاج خروس، اویار سلام و آفتاب پرست معنی دار شده است. همانگونه که از شکل شماره ۳ مشاهده می‌شود، طبق آزمون دانکن بین زمان‌های اختلاط علفکش با خاک بعد از سمپاشی از لحاظ درصد کنترل علفهای هرز یاد شده تفاوت معنی داری در سطح ۰.۵٪ وجود دارد. بطوريکه علفهای هرز خرفه، تاتوره در زمان نه ساعت و علفهای هرز تاج خروس، اویار سلام و آفتاب پرست در زمان‌های شش ساعت اختلاط علفکش با خاک بعد از سمپاشی بالاترین کنترل را داشتند. درصد کنترل بیش از نیمی از علفهای هرز از صفر تا شش ساعت روند صعودی و بعد از آن سیر نزولی نشان می‌دهد



شکل ۳- اثر زمان اختلاط علف کش با خاک بعد از سمپاشی روی درصد کنترل علف هرز

(میانگین‌هایی که با حروف لاتین مشترک مشخص شده اند، در یک گروه قرار داشته و اختلاف معنی دار ندارند)

**Fig. 3.** The effect of herbicide incorporation time with soil after spraying on the weeds control  
(Columns with the same letters have not significant differences)

داشته است. اثرات متقابل ترکیب‌های تیماری بین زمان اختلاط علف کش با خاک در عملکرد ذرت در سطح %۵ معنی دار شده است مطابق جدول شماره ۴ ترکیب‌های تیماری (TS-۳ و ۰) و ترکیب تیماری (۰، FJ) و ترکیب‌های تیماری (AI-۰، ۳ و ۶) دارای بالاترین عملکرد دانه ذرت و ترکیب تیماری (۹، AI) از عملکرد پایینی برخوردار بوده است.

### نتیجه‌گیری

در سمپاشی مزرعه ذرت قبل از کاشت (علف کش خاک مصرف)، درصد کنترل علف هرز افشنانک FJ نسبت به سایر افشنانک‌ها %۵۷/۸ بیشتر بود. این در حالیست که علی رغم درصد بالای کنترل علف‌های هرز توسط افشنانک FJ نسبت به سایر افشنانک‌ها، اثر نوع افشنانک در عملکرد محصول معنی دار نبوده است. با توجه به واکنش متفاوت علف‌های هرز به زمان اختلاط علف کش با خاک، این زمان در بازه صفر تا چهار و نیم ساعت بعد از سمپاشی دارای بیشترین عملکرد (۱/۹ تن در هکتار) بوده است. ترکیب‌های تیماری افشنانک‌های تی جت استاندارد (اختلاط علف کش با خاک در صفر و ۳ ساعت بعد از عملیات سمپاشی)، شرهای (اختلاط علف کش با خاک بلا فاصله بعد از عملیات سمپاشی) و هوا القا (اختلاط علف کش با خاک در صفر، ۳ و ۶ ساعت بعد از عملیات سمپاشی) نسبت به سایر ترکیب‌های تیماری دارای عملکرد بالاتری بودند.

اثرات متقابل ترکیب‌های تیماری (نوع افشنانک و زمان اختلاط علف کش با خاک) از نظر درصد کنترل علف هرز پیچک در سطح ۱٪ معنی دار بود (جدول ۳) لذا ترکیب‌های تیماری (افشنانک TS - FJ و افشنانک‌های AI و FJ - زمان ۶ ساعت) در مورد علف هرز پیچک بیشترین سطح کنترل علف هرز را دارا بودند. در حالیکه کمترین درصد کنترل علف هرز پیچک مربوط به ترکیب‌های تیماری (۰، TS) و (۰، FJ) و (۳، AI) بود. که دلیل این امر ممکن است به دلیل واکنش فیزیولوژیکی پیچک به میزان زمان تأثیر سم باشد. برای علف هرز هفت بند، اثرات متقابل ترکیب‌های تیماری بین زمان دیسک زنی و نوع افشنانک معنی دار نشده است. غالباً علف‌های هرز مزرعه که شامل سلمه تره، تاج خروس، اوپار سلام و آفتاب پرست بود به ترتیب در زمان‌های صفر، ۳ (۰/۶) و ۶ ساعت با افشنانک FJ دارای کنترل بالایی بودند.

چنانچه در جدول ۴ مشاهده می‌شود وزن خشک علف‌های هرز پهن برگ در ترکیب تیماری افشنانک FJ و زمان اختلاط علف کش با خاک صفر ساعت بعد از سمپاشی دارای کمترین وزن خشک (۲/۶ گرم) می‌باشد و این به‌داین معنی است که در این زمان بیشترین کنترل علف هرز صورت گرفته است. (Haghshenas, 2010) نیز در پژوهش خود، کمترین وزن خشک علف هرز (۰/۸ گرم) را در استفاده از دیسک برای اختلاط سم با خاک و زمان اختلاط بلا فاصله بعد از سمپاشی دانسته است و ترکیب‌های تیماری (TS-۶ و ۰، AI) از نظر آماری در یک رده قرار گرفته و دارای بیشتری وزن خشک علف‌های هرز بوده و کمترین تأثیر را روی علف‌های هرز پهن برگ

جدول ۴ مقایسه میانگین درصد کنترل علف های هرز به ترتیب گونه با توجه به ترکیب های تیماری نوع افشارنک و زمان اختلاط علف کش با خاک پس از سمباشی  
Table 4 Comparison of weed control Percentage mean according to species with considering treatment combination; nozzle type and time of herbicide incorporation in soil after spraying

نوع افشارنک Nozzle type	زمان اختلاط Incorporation time	تاثوره Effectiveness	خروفه Goatgrass	تاتووه Danura	پیچک Cornvolvulus	بیچک Olearacea	نوع افشارنک Nozzle type	کنترل علف هرز (درصد) Weed control(%)	وزن خشک علف های هرز (گرم) Weeds dry weight(gr)		آفتاب پرسست Broad Leaf spp.	آفتاب پرسست Fine Leaf	بادیک برگی Broad Leaf	بادیک برگی Fine Leaf	عماکرد دانه (Ton/ha)	
									تمهه تره Chenopodium album	سلمه تره Chenopodium retroflexus						
TS									26.6 <sup>b</sup>	50.2 <sup>b</sup>	18.6 <sup>f</sup>	31.0 <sup>ef</sup>	0 <sup>d</sup>	13.0 <sup>ef</sup>	8.1 <sup>cd</sup>	0
									26.6 <sup>b</sup>	53.0 <sup>b</sup>	31.0 <sup>ef</sup>	39.3 <sup>cd</sup>	26.6 <sup>b</sup>	25.0 <sup>c</sup>	6.5 <sup>f</sup>	32.2 <sup>c</sup>
									26.6 <sup>b</sup>	58.2 <sup>a</sup>	39.8 <sup>f</sup>	49.7 <sup>cd</sup>	26.6 <sup>b</sup>	58.3 <sup>b</sup>	46.6 <sup>c</sup>	44.1 <sup>b</sup>
									26.6 <sup>b</sup>	73.1 <sup>a</sup>	24.8 <sup>ef</sup>	60.0 <sup>a</sup>	26.6 <sup>b</sup>	0 <sup>d</sup>	19.6 <sup>e</sup>	10.7 <sup>cd</sup>
									26.6 <sup>b</sup>	72.7 <sup>a</sup>	90.0 <sup>a</sup>	68.3 <sup>b</sup>	26.6 <sup>b</sup>	25.0 <sup>c</sup>	32.6 <sup>d</sup>	18.8 <sup>c</sup>
									26.6 <sup>b</sup>	64.2 <sup>b</sup>	60.0 <sup>a</sup>	64.2 <sup>b</sup>	26.6 <sup>b</sup>	0 <sup>d</sup>	39.1 <sup>d</sup>	54.8 <sup>a</sup>
FJ									26.6 <sup>b</sup>	56.7 <sup>c</sup>	71.3 <sup>b</sup>	42.7 <sup>c</sup>	70.6 <sup>a</sup>	5.6 <sup>f</sup>	26.6 <sup>b</sup>	0 <sup>d</sup>
									26.6 <sup>b</sup>	54.3 <sup>c</sup>	40.4 <sup>d</sup>	31.0 <sup>ef</sup>	30.9 <sup>e</sup>	0 <sup>d</sup>	19.6 <sup>e</sup>	16.1 <sup>cd</sup>
									26.6 <sup>b</sup>	64.2 <sup>bc</sup>	49.0 <sup>d</sup>	37.2 <sup>de</sup>	50.6 <sup>c</sup>	26.6 <sup>b</sup>	12.5 <sup>cd</sup>	32.6 <sup>d</sup>
									26.6 <sup>b</sup>	90.0 <sup>a</sup>	39.8 <sup>f</sup>	62.1 <sup>bc</sup>	42.2 <sup>cd</sup>	26.6 <sup>b</sup>	25.0 <sup>c</sup>	39.1 <sup>d</sup>
									26.6 <sup>b</sup>	43.8 <sup>d</sup>	19.9 <sup>i</sup>	0 <sup>g</sup>	19.7 <sup>e</sup>	28.9 <sup>a</sup>	58.3 <sup>a</sup>	52.9 <sup>c</sup>
AI									26.6 <sup>b</sup>	43.3 <sup>abc</sup>	12.9 <sup>d</sup>	43.3 <sup>abc</sup>	12.9 <sup>d</sup>	0 <sup>g</sup>	28.9 <sup>a</sup>	38.7 <sup>b</sup>
									26.6 <sup>b</sup>	43.3 <sup>abc</sup>	11.4 <sup>a</sup>	10.9 <sup>cd</sup>	40.4 <sup>d</sup>	31.0 <sup>ef</sup>	30.9 <sup>e</sup>	19.6 <sup>e</sup>
									26.6 <sup>b</sup>	31.3 <sup>abc</sup>	31.6 <sup>c</sup>	64.2 <sup>bc</sup>	49.0 <sup>d</sup>	37.2 <sup>de</sup>	12.5 <sup>cd</sup>	21.5 <sup>c</sup>
									26.6 <sup>b</sup>	69.3 <sup>a</sup>	49.7 <sup>a</sup>	90.0 <sup>a</sup>	49.7 <sup>a</sup>	62.1 <sup>bc</sup>	42.2 <sup>cd</sup>	2.7 <sup>d</sup>
									26.6 <sup>b</sup>	43.3 <sup>abc</sup>	7.2 <sup>b</sup>	12.9 <sup>d</sup>	43.3 <sup>abc</sup>	19.9 <sup>i</sup>	19.7 <sup>e</sup>	3
									26.6 <sup>b</sup>	43.3 <sup>abc</sup>						6
									26.6 <sup>b</sup>	43.3 <sup>abc</sup>						9

در هر سطر و ستون، میانگین هایی که با حروف لاتین مشخص شده اند، در یک گروه قرار داشته و اختلاف معنی دار ندارند.

Columns with the same letters have not significant differences

## منابع

1. Ahari Mostafavi, H., H. Fath Elahi, B. Naserian, H. Rafiee, M. Matloobi, and M. Babaee. 2003. Study on selective application of 2, 4-D on corn in order to control of red root pigweed and common lambsquarters, by using of  $^{14}\text{C}$  labeled herbicide tracer techniques. Journal of NUCLEAR SCIENCE AND TECHNOLOGY Summer 2003, 28:0-0.
2. Agricultural Statistics. 2007. Agricultural Ministry. Planning & Economical deputy Statistics and information technology office. Farming database. Available from: <Http://www.agri-jahad.ir> (in Farsi).
3. Anonymous. 2004. Hydraulic spray nozzles. International pesticide application research center. Guide No.1.
4. Ashok A., R. S. Malik, R. S. Banga, R. K. Malik, R. S. Balyan, S. S. Punia, and A. Yadav. 2003. Effect of different nozzles, doses and spray volumes on the efficacy of four non-selective herbicides against *Pluchea lancelet*. Indian Journal of Weed Science. 35: 298-301.
5. Bacon, A., and L. Burgess. 1999. Trifluralin incorporation timing. Government of Western Australia. Available from: [http://www.agric.wa.gov.au/PC\\_91455.html](http://www.agric.wa.gov.au/PC_91455.html). Accessed 19 Feb 2012.
6. Crabtree, B. 2000. Increasing trifluralin rate did not compensate for delaying incorporation. Crop Updates. Department of agriculture and food. Australia.
7. Fallah Jeddi, R. 2005. Calibration Sprayers Currently in IRAN. Educational Technology Services Bureau. (AREO). ISBN: 964-7908-54-7.
8. Fathi, G. 2005. Integrated weed management in corn (*Zea mays* L.). Crop Research. 29 (1): 40-46.
9. Brown, L., N. Solteni, C. Shropshire, H. Spieser, and P. Sikkema. 2007. Efficacy of four corn (*Zea mays* L.) herbicide when applied with flat fan and air induction nozzle. Weed Biology and Management 7: 55-61.
10. Gerami, k. 2005. Investigation of weed control using three of sprayers in wheat fields in Ardabil. Islamic azad University - Tehran Science and Research Branch - Master thesis. (in Farsi).
11. Gerami, k. 2010. The effect of application of different spray nozzles and secondary tillage (Disk) in controlling of corn preplant weed. Agricultural Engineering Research Institute. Project No. 2-060-000-14-0000-84046. Page 4.
12. Haghshenas, M. 2010. Investigation the effect of Trifluralin herbicide mixing with soil and time delay of mixing on population of weeds in safflower. Islamic azad University - Arak Branch - Master thesis. (in Farsi).
13. Jones, E. J., J. E. Hanks, and G. D. Wills. 2002. Effect of different nozzles types on drift an efficacy of roundup ultra. Unit of the Division of Agriculture, Forestry, and Veterinary Medicine at Mississippi State University. Bull. 1119.
14. Khan, M. A., S. M. Shah, and M. Y. Mirfa. 2000. Screening of promising herbicides with different application methods for weed control in safflower. Sarhad Journal of Agriculture. 16(1): 61-64.
15. Matthews, G. A. 2000. Pesticide Application Methods. 3<sup>rd</sup> edition. Black well Science, Oxford. Uk. 432 pages. ISBN: 9780632054732.
16. Matthews, G. A. 1999. Application of Pesticide to Crops, Imperial College Press, London. 325 pages. ISBN: 86094 168 0.
17. Naseri, M. 2007. Investigating and evaluating effective factors on performance of field air-assisted sprayer. The 5<sup>th</sup> National conference on Agr. Machinery Eng &. Mechanization. (in Farsi).
18. Regional Network for Agricultural Machinery. 1983. Test codes and procedures for farm machinery. 131-149.
19. Safari, M., H. Chaji, N. Lovaimi, and F. Amirshaghghi. 2010. Technical assessment of conventional sprayers in wheat farms - Agricultural Engineering Research-Institute. 10(4), Winter 2010. (in Farsi).
20. Shirvani, F. 1999. Testing and evaluation of six types of tractor sprayer nozzle. Shahid Chamran University of Ahvaz - Master thesis. (in Farsi).
21. Skuterud, R., A. Nordby, and A. Tyldum. 1988. Effect of application methods, spray volumes, pressures and herbicide rates on weed control in spring cereals. Crop Protection. 7: 303-308.

22. Umeda, K. 1988. Sweet corn herbicide weed control study. University of Arizona Maricopa. page 33.
23. Wolf R. E., D. E. Peterson. 2005. The effect of a new venture nozzle on postemergence weed control. North Weed Science Society Proceedings 60:107.
24. Zand, E., S. k. Mousavi, A. Heidari. 2008. Herbicides & their Application. Jdmpress. 412-415.

## جداسازی زعفران از سایر اجزاء گل در تونل باد عمودی و بررسی آن با منطق فازی

اسلام علیشاھی<sup>۱</sup> \* - محسن شمسی<sup>۲</sup>

تاریخ دریافت: ۸۹/۱۲/۱۲

تاریخ پذیرش: ۹۱/۱/۲۸

### چکیده

در این تحقیق امکان جداسازی زعفران (کلاله) از پرچم و گلبرگ با جریان عمودی هوا جهت مکانیزه کردن این عمل بررسی شده است. برای انجام این تحقیق یک تونل باد عمودی آزمایشی که سرعت هوا در آن با دقت ۱/۰ متر بر ثانیه قابل تنظیم و اندازه‌گیری است ساخته و مورد استفاده قرار گرفت. ابتدا آزمایش‌های تعیین سرعت شناوری اجزاء گل با قرار دادن تک تک اجزاء و سپس آزمایش‌های جداسازی با قرار دادن همه اجزاء و در رطوبت‌های ۱، ۸، ۳۲ و ۶۰ ساعت پس از برداشت انجام شدند. متوسط سرعت شناوری کلاله (زعفران)، پرچم و گلبرگ ۱ ساعت پس از برداشت به ترتیب ۳/۲۱، ۳/۲۴ و ۱/۴۱ متر بر ثانیه بدست آمدند. آزمایش‌ها نشان دادند که به خاطر تفاوت زیاد بین سرعت‌های شناوری اجزا گل، می‌توان در یک تونل باد عمودی زعفران (کلاله) را از پرچم و گلبرگ جدا کرد. تحلیل نتایج آزمایش‌های جداسازی نشان داد که تونل باد با سرعت ۲/۸ متر بر ثانیه و یک ساعت پس از برداشت بهترین راندمان جداسازی را دارد. در این سرعت ۸۴ درصد از پرچم‌ها و ۸۹ درصد از گلبرگ‌ها از تونل بهیرون پرتاب شده و داخل تونل باقی می‌مانند. آزمایش‌ها همچنین نشان دادند که هر چه فاصله چندن گلهای تا جداسازی کوتاه‌تر باشد جداسازی با راندمان بهتر انجام می‌شود. پیشنهادهایی برای افزایش راندمان ارائه شده اند.

**واژه‌های کلیدی:** تابع عضویت، تصمیم‌گیری فازی، سرعت شناوری، فرآوری زعفران، کلاله

### مقدمه

زعفران گرانترین ادویه جهان و به نام طلای سرخ معروف است. مهم‌ترین منطقه تولید زعفران در ایران استان خراسان جنوبی می‌باشد که به علت عدم توسعه علمی و صنعتی این منطقه، سالهای است که در پروسه تولید این محصول تحولی ایجاد نشده و به همان روش سنتی انجام می‌گیرد.

در پروسه تولید زعفران مراحل کاشت، برداشت، داشت، پرداخت و جداسازی وجود دارد. همه این کارها به صورت دستی انجام می‌شود. با توجه به خصوصیات ظریف گل زعفران این محصول باید در بازه زمانی کوتاه از مزرعه چیده و کلاله (زعفران) آن از بقیه اجزاء گل (گلبرگ و پرچم) جدا گردد. این عمل جداسازی نامیده می‌شود. جداسازی یکی از مهم‌ترین گلوگاه‌ها در پروسه تولید زعفران می‌باشد و بیشترین هزینه را نیز برای کشاورزان در بردارد (Atefi, 2006). روش سنتی جداسازی، عملی کند و غیر بهداشتی است. برای جداسازی مکانیزه پیشنهادهایی در حد طراحی مقدماتی از قبیل

استفاده از استوانه اصطکاکی و تونل باد ارائه شده است (Mehri and Kahani, 2003). تحقیقاتی همراه با ساخت یک دستگاه آزمایشی کوچک دمش هوا نیز توسط محققین برای جداسازی کلاله از سایر اجزاء گل زعفران در سطح آزمایشگاهی انجام شده است (Shamsi *et al.*, 2007). استفاده از خواص آبرودینامیک و یک سیستم آبشاری یا سقوط آزاد نیز توسط محققین پیشنهاد شده است (Sama *et al.*, 2000; Emadi and Saiedirad, 2011). دو روش سقوط آزاد و شناوری برای اندازه‌گیری سرعت شناوری در آزمایشگاه وجود دارد. روش سقوط آزاد عبارت است از سقوط دادن ذره از یک ارتفاع مناسب به نحوی که بعد از طی مسافتی ذره بتواند به سرعت شناوری خود برسد. در روش شناوری ذره بر روی یک توری در داخل یک کانال عمودی قرار می‌گیرد و هوا به آن دمیده می‌شود با افزایش سرعت هوا ذره در کانال شناور می‌شود. سرعت باد در لحظه شناور شدن سرعت شناوری ذره است (Mohsenin, 1970). در یک تحقیق سرعت شناوری دانه‌های آفت‌گردان به عنوان تابعی از محتوای رطوبت مورد بررسی قرار گرفته است (Gupta, *et al.*, 2007). این مطالعه نشان می‌دهد با کاهش رطوبت سرعت شناوری دانه‌ها به صورت خطی کاهش می‌یابد. سرعت شناوری دانه‌های پنبه و کم شدن آن‌ها در اثر کاهش در

۱- به ترتیب دانشجوی کارشناسی ارشد و استادیار بخش مهندسی مکانیک  
ماشین‌های کشاورزی دانشگاه شهید باهنر کرمان  
(Email: alishahi1975@gmail.com)      ۲- نویسنده مسئول:

که پایان ساعت کاری کارگران در روز اول است و ۳۲ ساعت پس از برداشت که پایان ساعت کاری روز دوم پس از برداشت است اندازه‌گیری شدند.

همچنین آخرين اندازه‌گيرى ها در ۶۰ ساعت پس از برداشت که گلها پلاسيده و غير قابل استفاده بهنظر مى آيند انجام شد. زعفران را بايستى حتى المقدور پس از برداشت جداسازى کرد اما گاهى بهدليل کمبود گارگر اين کار تا انتهای ساعت کاری روز اول ادامه پيدا مى کند. بهندرت اين کار بهروز دوم نيز مى کشد که كيفيت زعفران بهشتد کاهش يافته است (Atefi, 2006). اين موضوع دليل انتخاب ساعات انتخاب شده پس از برداشت برای انجام آزمایش‌ها است. ميانگين اعداد مربوط به ۵ نمونه در هر اندازه‌گيرى در محاسبات مورد استفاده قرار گرفته اند.

#### جداسازی در تونل باد

برای بررسی امکان جداسازی کالله از دیگر اجزاء گل در تونل باد آزمایش‌هایی با ریختن تمامی اجزاء گل با هم به داخل تونل انجام پذیرفت. برای این کار ۵۰ گل زعفران با توجه به ظرفیت دستگاه به ۵ گروه ۱۰ تائی تقسیم شدند. در هر آزمایش ۱۰ گل زعفران که شامل کالله ۳۰ پرچم و ۶ گلبرگ است بر روی توری دستگاه قرار داده شدند (هر گل دارای يك کالله سه پرچم و شش گلبرگ است). در اولين آزمایش برای هر زمان پس از برداشت سرعت دمش هوا بر روی حدود ۱/۰ متر بر ثانیه بيش از سرعت شناوري پرچم که از آزمونهای تک تک اجزاء بدست آمده بود قرار گرفت. با ۱۰ ثانیه روشن کردن تونل در هر آزمایش پرچم‌ها و گلبرگ‌ها از روی توری بلند شده و به بیرون از تونل پرتاپ می شدند. کالله‌ها که دارای سرعت شناوري بيشتری هستند بر روی توری باقی می مانند. هر آزمایش با سه تکرار انجام و از مقادير بدست آمده ميانگين گرفته شد. آزمایش بعدی با سرعت ۱/۰ متر بر ثانیه بيشتر از مقدار قبلی انجام می شد. اين روند آزمایش‌ها تا سرعتی حدود ۱/۰ متر بر ثانیه کتمراز سرعت شناوري کالله‌ها که از آزمایش‌های تعیین سرعت شناوري تک تک اجزاء بدست آمده بود انجام شدند. گاهی تعدادی از کالله‌ها به دليل چسبیدن به گلبرگ و پرچم از دستگاه خارج می شوند و یا تعدادی گلبرگ و پرچم در تونل باقی می مانند. هدف از اين آزمایش‌ها بدست آوردن بهترین سرعت هوا در تونل باد و بهترین زمان پس از برداشت برای جداسازی است. مقدار اينde ال دو پارامتر سرعت دمش هوا و زمان پس از برداشت حالتی است که تمامی کالله‌ها بر روی توری باقی بمانند و تمامی گلبرگ‌ها و پرچم‌ها از تونل خارج شوند. در اين حالت دستگاه بعثتین عملکرد را دارد. برای قضاوت در مورد عملکرد جداسازی یا همان تعداد کالله باقی مانده بر روی توری در تونل باد و تعداد پرچم و گلبرگ خارج شده از تونل از منطق فاري استفاده شد. بدین منظور مجموعه ۳

محتوای رطوبت نیز توسط محققین گزارش شده است (Tabak and Wolf, 1998) کاه گیاه تف (نوعی حبوبات) به دست آورده شده است (Zewdu, 2007). سرعت شناوري کتان نیز توسط محققین بررسی و گزارش شده است (Watts and Allen, 1997).

#### مواد و روش ها

##### ساخت دستگاه و اندازه‌گيری سرعت شناوري

برای اندازه‌گيری سرعت شناوري يك تونل باد عمودی با استوانه‌اي از طلق شفاف به قطر ۲۰ سانتيمتر برای مشاهده اجزاء در حال شناوري طراحی و ساخته شد. يك توری با مش  $0.5 \times 0.5$  در نيمه راه تونل برای قرار دادن اجزاء گل بر روی آن نصب گردید. در يچهاری نيز برای تعذيه طراحی شد. برای سیستم هوا دهی به تونل از يك فن جريان محوري با توان ۴۰۰ وات استفاده شد. چند تيغه در مسیر جريان هوا برای يکنواخت کردن هواي ورودي و جلوگيری از گردابی شدن آن در مسیر تعبيه گردید (Zewdu, 2007). سرعت هوا با دقت ۱/۰ متر بر ثانیه در تونل آزمایشي قابل تنظيم است. برای اندازه‌گيری سرعت هوا از بادسنج الکترونيکی مدل Therm 2285-2b با دقت ۱/۰ متر بر ثانیه استفاده شد (شكل ۱).



شكل ۱ - دستگاه ساخته شده جهت اندازه‌گيری سرعت شناوري

Fig. 1. The experimental wind tunnel

برای آزمایش‌ها در فصل برداشت ۵۰ نمونه گل زعفران بصورت تصادفي از مزارع شهرستان نيشابور چيده و مورد استفاده قرار گرفتند. گلها با دست جداسازی شده و کالله پرچم و گلبرگها تفکیک شدند. سپس اجزاء هر گل تک تک در تونل باد بر روی توری قرار گرفته و سرعت شناوري آنها اندازه‌گيری شد. سرعت های شناوري در چهار زمان مختلف يعني ۱ ساعت پس از برداشت، ۸ ساعت پس از برداشت

- ۶- اگر بین ۶۵ تا ۷۵ درصد پرچم‌ها از تونل خارج شوند جداسازی ضعیف است.
- ۷- اگر کمتر از ۶۵ درصد پرچم‌ها از تونل خارج شوند جداسازی بد است.
- ۸- اگر بیش از ۹۰ درصد گلبرگ‌ها از تونل خارج شوند جداسازی خوب است.
- ۹- اگر بین ۸۰ تا ۹۰ درصد گلبرگ‌ها از تونل خارج شوند جداسازی قابل قبول است.
- ۱۰- اگر بین ۷۰ تا ۸۰ درصد گلبرگ‌ها از تونل خارج شوند جداسازی ضعیف است.
- ۱۱- اگر کمتر از ۷۰ درصد گلبرگ‌ها از تونل خارج شوند جداسازی بد است.

در تعاریف فوق مشاهده می‌شود که میزان خطای برای خارج شدن کالله از تونل باد و باقی ماندن پرچم و گلبرگ بر روی توری در داخل تونل باد در نظر گرفته شده است. این خطا را بعد از جداسازی در تونل می‌توان با کمک کارگر یا با روش‌های دیگر مانند ماشین بینایی (machine vision) برطرف کرده و محصول را تمیز کرد. بر اساس قواعد فوق مجموعه های زیر را به صورت روابط (۵) تا (۸) برای عملکرد دستگاه می‌توان تعریف کرد:

عملکرد خوب:

$$A_s^t = \begin{cases} \mu_A(K) \geq 0.9 \\ \mu_A(p) \geq 0.85 \\ \mu_A(g) \geq 0.9 \end{cases} \quad (5)$$

عملکرد قابل قبول:

$$A_s^t = \begin{cases} 0.9 > \mu_A(K) \geq 0.8 \\ 0.85 > \mu_A(p) \geq 0.75 \\ 0.90 > \mu_A(g) \geq 0.80 \end{cases} \quad (6)$$

عملکرد ضعیف:

$$A_s^t = \begin{cases} 0.8 > \mu_A(K) \geq 0.7 \\ 0.75 > \mu_A(p) \geq 0.65 \\ 0.8 > \mu_A(g) \geq 0.7 \end{cases} \quad (7)$$

عملکرد بد:

$$A_s^t = \begin{cases} 0.7 > \mu_A(K) \\ 0.65 > \mu_A(p) \\ 0.7 > \mu_A(g) \end{cases} \quad (8)$$

برای انتخاب بهترین سرعت در بین چند سرعت پذیرفته شده از

عضوی A به نام مجموعه عملکرد تعریف شد. این مجموعه شامل تعداد کالله مانده در تونل و پرچم و گلبرگ خارج شده از تونل است. از حروف k, p, g به ترتیب برای نمایش کالله، پرچم و گلبرگ استفاده شده است. با در نظر گرفتن توابع عضویت مجموعه A به شکل (۱) مشخص شد (Wang, 1997).

$$A_s^t = \{(k, \mu_A(k)), (p, \mu_A(p)), (g, \mu_A(g))\} \quad (1)$$

اندیس t نمایانگر پارامتر زمان پس از برداشت که آزمایش انجام شده است و اندیس S نمایانگر پارامتر سرعت هوای تونل است. در مجموعه فوق ( $\mu_A(x)$ ) درجه عضویت عضو x در زیر مجموعه  $A_s^t$  که عددی در بازه [0,1] است می‌باشد. برای تعیین درجه عضویت‌ها توابع ۲، ۳ و ۴ بشرح زیر تعریف شدند:

$$\mu_A(k) = \frac{a}{b} \quad (2) \quad , \quad \mu_A(p) = \frac{c}{d} \quad (3)$$

$$\mu_A(g) = \frac{e}{f} \quad (4)$$

در روابط فوق:

= a تعداد کالله باقی مانده در تونل

= b تعداد کل کالله‌ها که در آزمایش‌ها مقدار آن ۱۰ می‌باشد.

= c تعداد پرچم خارج شده از تونل

= d تعداد کل پرچم‌ها که در آزمایش‌ها مقدار آن ۳۰ می‌باشد.

= e تعداد گلبرگ‌های خارج شده از تونل

= f تعداد کل گلبرگ‌ها که در آزمایش‌ها مقدار آن ۶۰ می‌باشد.

برای تعیین محدود عملکرد قابل قبول بایستی حداقل مقادیر قابل قبول توابع عضویت را تعیین کرد. با داشت هوا با سرعت مناسب در تونل سعی می‌شود حداقل ممکن از پرچم‌ها و گلبرگ‌ها از تونل خارج شوند و حداقل ممکن کالله‌ها بر روی تونل باقی مانند. یکی از پایه‌های مهم تصمیم گیری فازی استفاده از دانش افراد خبره برای تعریف پایگاه قواعد فازی است. برای این منظور در منطقه با مصاحبه و توانائی تونل باد مورد آزمایش قواعد فازی به شرح زیر برای عملکرد جداسازی تعریف شدند:

-۱- اگر بیش از ۹۰ درصد کالله‌ها در تونل بمانند کیفیت جداسازی خوب است.

-۲- اگر بین ۸۰ تا ۹۰ درصد کالله‌ها در تونل بمانند کیفیت جداسازی قابل قبول است.

-۳- اگر کمتر از ۸۰ درصد از کالله‌ها در تونل بمانند جداسازی بد است.

-۴- اگر بیش از ۸۵ درصد پرچم‌ها از تونل خارج شوند جداسازی خوب است.

-۵- اگر بین ۷۵ تا ۸۵ درصد پرچم‌ها از تونل خارج شوند جداسازی قابل قبول است.

گلبرگ بهتر انجام می شود. شکل ۲ اختلاف سرعت شناوری پرچم و گلبرگ را نسبت به کلاله در زمان های مختلف پس از برداشت نشان می دهد. منحنی ها نشان می دهند که با گذشت زمان اختلاف بین سرعت های شناوری کلاله با پرچم و گلبرگ کاهش می یابد. کمترین اختلاف سرعت مربوط به ۶۰ ساعت پس از برداشت است. در این زمان سرعت کلاله ۰/۰۶ و سرعت پرچم ۱/۵۹ متر بر ثانیه اختلاف سرعت بین کلاله و پرچم وجود دارد یعنی حداکثر امکان ۳ پله تنظیم در این فاصله می باشد و خطای جداسازی زیاد می شود.

منظور از خطا این است که تعدادی از کلاله ها همراه با پرچم و گلبرگ از روی توری جدا شده و همراه با این ضایعات از تونل باد خارج شوند و یا بر عکس تعداد از پرچم ها و گلبرگ ها در تونل باقی می مانند. در این تحقیق بیشترین سرعت شناوری مربوط به کلاله و مقدار ۳/۲۱ متر بر ثانیه است. عمادی و سعیدی راد در اندازه گیری های خود حداکثر سرعت شناوری مربوط به کلاله را ۲/۳۸ متر بر ثانیه بدست آورده اند دلیل این اختلاف تفاوت در واریته ها است که احتمالاً این محققین گل های سبکتر را برای آزمایش های خود انتخاب کرده اند (Emadi and Saedirad, 2011).

### بررسی جداسازی در تونل باد

برای جداسازی، تمامی اجزاء ۱۰ گل مطابق روش توضیح داده شده داخل تونل قرار داده شدند. داده های آزمایش ثبت و تحلیل شدن و مقادیر توابع عضویت در ساعات مختلف پس از برداشت از روابط ۲، ۳ و ۴ محاسبه شدند. جدول ۲ مقادیر تابع عضویت عملکرد را در ۱ ساعت پس از برداشت نشان می دهد. محدوده سرعت در جداول ۲ تا ۵ با توجه به مقادیر جدول ۱ انتخاب شده اند.

کاردینالیتی یک مجموعه فازی که عبارت است از حاصل جمع مقدار توابع عضویت کلاله، پرچم و گلبرگ در آن مجموعه فازی و با فرمول (۹) تعریف می شود استفاده شده است:

$$\left| A \right| = \sum \mu_A(x) \quad (9)$$

در فرمول فوق  $|A|$  کاردینالیتی مجموعه فازی مورد نظر است (Zimmerman, 1997).

### نتایج و بحث

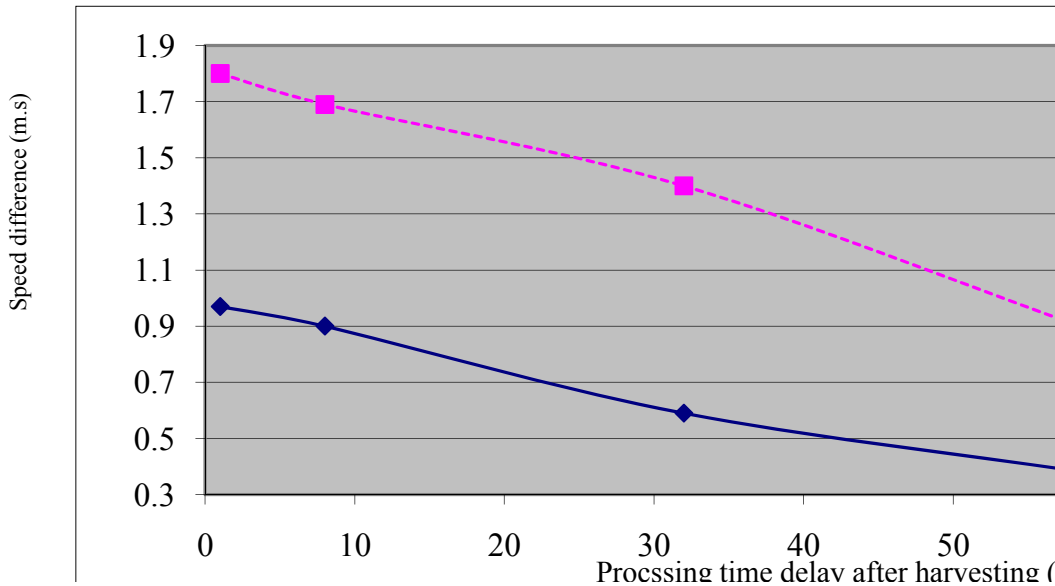
بررسی و مقایسه سرعت های شناوری اجزاء گل زعفران جدول ۱ نتایج حاصل از آزمایش های سرعت شناوری را نشان می دهد. همانطور که پیدا است سرعت شناوری کلاله بیشتر از مقادیر مربوط به پرچم و گلبرگ است. سرعت جریان هوا در تونل باد با دقت ۱/۰ متر بر ثانیه قابل تنظیم است. یعنی اگر حتی اختلاف سرعت بین دو جزء از گل ۱/۰ متر بر ثانیه باشد و سرعت تونل برا روی سرعتی کمی بیش از سرعت شناوری جزء کمتر تنظیم شود آن جزء، از تونل به بیرون پرتاب می شود و جزء با سرعت شناوری بزرگتر در تونل باقی مانده و جداسازی انجام می شود. بیشترین اختلاف سرعت بین اجزاء گل در ستون مربوط به زمان یک ساعت پس از برداشت است. در این ستون سرعت شناوری کلاله ۳/۲۱ و سرعت پرچم ۲/۲۴ متر بر ثانیه است. اختلاف بین این دو سرعت ۱ متر بر ثانیه است بنابراین برای جداسازی کلاله از گلبرگ ۱۰ پله تنظیم سرعت در فاصله شناوری بین دو جزء وجود دارد (با دقت تنظیم ۱/۰ متر بر ثانیه).

هر چه اختلاف سرعت بین پرچم و گلبرگ با کلاله بیشتر باشد به دلیل اینکه تعداد پله های بیشتری برای تنظیم سرعت دستگاه در آن فاصله وجود دارد امکان خطای کمتر و جدایش کلاله از پرچم و

**جدول ۱** - میانگین سرعتهای شناوری اجزاء گل زعفران در زمان های مختلف پس از برداشت به متر بر ثانیه

**Table 1.** Average floating velocity of saffron flower components at different times after harvesting

زمان پس از برداشت (ساعت)										اجزاء گل Flower parts	
Time delay after harvesting (h)											
60 cv	میانگین Mean	32 cv	میانگین Mean	8 cv	میانگین Mean	1 cv	میانگین Mean				
0.05	2.06	0.04	2.7	0.04	3.08	0.03	3.21			کلاله Stigma	
0.06	1.69	0.05	2.11	0.05	2.18	0.06	2.24			پرچم Stamen	
0.09	1.19	0.08	1.3	0.07	1.39	0.07	1.41			گلبرگ Petal	



شکل ۲ - اختلاف سرعت کلاله با پرچم و گلبرگ بر حسب متر بر ثانیه

Fig. 2. Floating velocity differences between saffron stigma with stamen and petal

جدول ۲- مقدار تابع عضویت کلاله، پرچم و گلبرگ در مجموعه عملکرد  $A_s^t$  یک ساعت پس از برداشت در سرعتهای مختلف تونل باد

Table 2. Membership function values for  $A_s^t$  fuzzy set, 1 hr after flowers harvesting at different wind tunnel speeds

Wind speed in tunnel $m s^{-1}$	سرعت هوا در تونل باد $m s^{-1}$	$\mu_{A(k)}$	$\mu_{A(p)}$	$\mu_{A(g)}$
3.1	0.71	0.75	0.79	0.82
3	0.93	0.87	0.85	0.84
2.9	0.95	0.92	0.92	0.89
2.8	0.71	0.82	0.84	0.87
2.7	0.93	0.84	0.82	0.78
2.6	0.95	0.87	0.85	0.84
2.5	0.71	0.76	0.78	0.76
2.4	0.93	0.73	0.76	0.73
2.3	0.95	0.96	0.95	0.92

تونل ۸۱ درصد، خارج شدن پرچم‌ها و گلبرگ‌ها از تونل به ترتیب ۸۴ و ۸۹ درصد است.

جدول ۳ نمایشگر چگونگی عملکرد در ۸ ساعت پس از برداشت است. مشاهده می‌شود که مناسبترین محدوده که در آن تابع عضویت کلاله در مجموعه عملکرد بین  $0/0$  تا  $0/8$  است محدوده  $2/4$  تا  $2/7$  متر بر ثانیه است. بهترین مجموعه در این محدوده  $A_s^8$  که

بیشترین کاردينالیتی یعنی  $= 2/27$  را دارد و مجموعه آن:

$$A_s^t = A_{2.7}^8 = \{(k, 0.72), (p, 0.76), (g, 0.79)\}$$

می‌باشد. در این حالت مجموعه عملکرد در محدوده رابطه (۶) است و "ضعیف" ارزیابی می‌شود.

مطابق جدول ۴ در ۳۲ ساعت پس از برداشت که اجزاء گل پژمرده

شده اند بهترین مجموعه عملکرد با  $= 1/84$  چنین است:

$$A_s^t = A_{2.4}^{32} = \{(k, 0.68), (p, 0.55), (g, 0.61)\}$$

این مجموعه در گروه مجموعه‌های قابل وصف با رابطه (۸) قرار گرفته و عملکرد در ۳۲ ساعت پس از برداشت "بد" ارزیابی می‌شود. لذا نبایستی زعفران تا این مدت پس از برداشت فرآوری نشده باقی بماند.

حداقل سرعت در این جداول کمی بیشتر از سرعت پرچم است تا هوا بتواند پرچم‌ها و گلبرگ‌ها را که سرعت کمتری دارند از تونل بیرون ببرد. حداقل سرعت در این جداول کمی کمتر از سرعت شناوری کلاله است که از بیرون رفتن کلاله از تونل جلوگیری شود. طبق نتایج آزمایش‌های انجام شده محدوده سرعت مناسب در حالت قرار دادن تمامی اجزاء ۱۰ گل در تونل در یک ساعت پس از برداشت محدوده  $2/5$  تا  $2/8$  متر بر ثانیه است.

در این محدوده تابع عضویت عملکرد برای تعداد کلاله‌ها بین  $0/0$  تا  $0/9$  از آن پرچم بین  $0/0$  تا  $0/85$  و گلبرگ بین  $0/0$  تا  $0/9$  است. در این سرعتهای طبق شروط رابطه ۶ مجموعه عملکرد "قابل قبول" ارزیابی می‌شود. در این محدوده با توجه به رابطه (۹) عملکرد

در سرعت  $2/8$  متر بر ثانیه به دلیل  $= 2/55$  که بزرگتر از کاردينالیتی ۳ سرعت دیگر یعنی  $2/5$ ،  $2/6$  و  $2/7$  متر بر ثانیه است بهترین عملکرد را دارد و با مجموعه زیر تعریف می‌شود:

$$A_s^t = A_{2.8}^1 = \{(k, 0.81), (p, 0.84), (g, 0.89)\}$$

این مجموعه نشان می‌دهد که در یک ساعت پس از برداشت با سرعت  $2/8$  متر بر ثانیه در داخل تونل باد میزان ماندن کلاله‌ها در

**جدول ۳**- مقدارتابع عضویت کالله، پرچم و گلبرگ در مجموعه عملکرد  $A_s^t$  مربوط به ۸ ساعت پس از برداشت در سرعتهای مختلف تونل باد**Table3.** Membership function values for  $A_s^t$  fuzzy set, 8 hr after flowers harvesting at different wind tunnel speeds

سرعت هوا در تونل $m s^{-1}$									
Wind speed in tunnel $m s^{-1}$									
3	2.9	2.8	2.7	2.6	2.5	2.4	2.3	2.2	
0.61	0.65	0.68	0.72	0.74	0.77	0.79	0.82	0.84	$\mu_A(k)$
0.83	0.81	0.78	0.76	0.73	0.71	0.68	0.65	0.67	$\mu_A(p)$
0.85	0.83	0.80	0.79	0.78	0.76	0.74	0.71	0.69	$\mu_A(g)$

**جدول ۴**- مقدارتابع عضویت کالله، پرچم و گلبرگ در مجموعه عملکرد  $A_s^t$  مربوط به ۳۲ ساعت پس از برداشت در سرعتهای مختلف تونل باد**Table 4.** Membership function values for  $A_s^t$  fuzzy set, 32 hr after flowers harvesting at different wind tunnel speeds

سرعت هوا در تونل $m s^{-1}$					
Wind speed in tunnel $m s^{-1}$					
2.6	2.5	2.4	2.3	2.2	
0.58	0.63	0.68	0.71	0.73	$\mu_A(k)$
0.61	0.57	0.55	0.52	0.47	$\mu_A(p)$
0.64	0.62	0.61	0.57	0.52	$\mu_A(g)$

یک و نتیر است. این کار به جاذشن اجزاء بهم چسبیده از یکدیگر کمک می کند. سپس باقیستی در ارتفاع بالاتر سرعت حرکت را با گشادرتر کردن سطح مقطع تونل به حالت اولیه باز گرداند. شمسی و همکاران نیز با یک سیستم دمش هوا موفق به جadasازی ۷۶٪ از کالله ها شدند (Shamsi *et al.*, 2007). آنها نیز همزن مکانیکی که به گونه ای مخلوط اجزاء گل را بهم بزنده و اجزاء بهم چسبیده را جدا کند برای افزایش عملکرد سیستم دمش هوا پیشنهاد کردند.

### نتیجه گیری کلی

بطور کلی نتایج زیر از این تحقیق حاصل می شوند:  
تفکیک اجزاء گل زعفران شامل گلبرگ، کالله و پرچم در تونل باد با توجه به اختلاف زیاد بین سرعتهای شناوری کالله با سایر اجزاء گل امکان پذیر است.

سرعت هوا در تونل باد آزمایشی با دقت ۱/۰ متر بر ثانیه قابل تنظیم است. اختلاف سرعت کالله با پرچم در یک ساعت پس از برداشت ۱ متر بر ثانیه با ضریب تغییرات ۰/۰۳ برای کالله و ۰/۰۶ برای پرچم است لذا ۱۰ پله تنظیم سرعت هوا در این مرحله وجود دارد.

جدول ۵ مقدارتابع عضویت عملکرد را در ۶۰ ساعت پس از برداشت نشان می دهد. در این حالت اجزاء گل خشک شده اند. در این حالت زعفران غیر قابل استفاده است و خطای بسیار به خاطر بهم چسبیدن اجزاء و کاهش سرعت شناوری اجزاء و کاهش بازه تغییر سرعت بین اجزاء اتفاق می افتد در این حالت نیز عملکرد بالاتر مربوط به مجموعه  $A^{60}_{1.8}$  با  $A = 1/59$  است:

$$A_s^t = A^{60}_{1.8} = \{(k, 0.64), (p, 0.45), (g, 0.50)\}$$
  
در این حالت عملکرد بسیار پائین با رابطه (۸) قابل توصیف است و عملکرد در این حالت نیز "بد" ارزیابی می شود.

بطور خلاصه در جadasازی اجزاء گل به کمک تونل باد بهترین راندمان و کمترین خطای در ساعت اولیه برداشت است. بهترین حالت مربوط به یک ساعت پس از برداشت است که تونل باد در سرعت ۲/۸ متر بر ثانیه کار می کند در این حالت ۸۱ درصد از کالله ها در تونل می مانند و ۸۴ درصد از پرچم ها و ۸۹ درصد از گلبرگ ها از کالله ها جدا شده و بهیرون تونل برتاب می شوند. چنانچه ملاحظه می شود تونل باد عملکرد در محدوده "خوب" را ندارد. این عملکرد را با بهینه سازی تونل باد می توان بدست آورد. دلیل اصلی خطای چسبیدن و گیر کردن اجزاء گل بهم در هنگام شناوری یا حرکت رو به بالا در تونل برای ترک آن است. یک پیشنهاد بهینه سازی ایجاد یک منطقه سرعت گردابی و آشفته در بالای تونل قرار دادن اجزاء گل با ایجاد

**جدول ۵**- مقدارتابع عضویت کالله، پرچم و گلبرگ در مجموعه عملکرد  $A_s^t$  مربوط به ۶۰ ساعت پس از برداشت در سرعتهای مختلف تونل باد**Table 5.** Membership function values for  $A_s^t$  fuzzy set, 60 hr after flowers harvesting at different wind tunnel speeds

سرعت هوا در تونل $m s^{-1}$					
Wind speed in tunnel $m s^{-1}$					
2	1.9	1.8	1.7		
0.5	0.57	0.64	0.61	$\mu_A(k)$	
0.50	0.47	0.45	0.38	$\mu_A(p)$	
0.55	0.52	0.5	0.47	$\mu_A(g)$	

کلاله‌ها با ماندن آنها در تونل باد و خروج ۸۴ درصد از پرچم‌ها و ۸۹ درصد از گلبرگ‌ها از تونل باد می‌شود.

بر اساس آزمایش‌های انجام شده بهترین جداسازی در یک ساعت پس از برداشت قابل انجام است. در این حالت سرعت مناسب هوا در تونل ۲/۸ متر بر ثانیه است که باعث جداسازی ۸۱ درصد از

## منابع

- Allen, A.W., and K. C. Watts. 1997. properties of cowpeas. Journal of Agricultural Engineering research, 68: 159-167.
- Atefi, M. 2006. Saffron (chemistry, quality control and processing): Bein Alnahrain press; Mashhad, Iran. (In Farsi).
- Emadi, B., M. H. Saeidirad. 2011. Moisture-dependent physical properties of saffron flower. Journal of Agricultural Science and Technology. 13(3): 387-389.
- Gupta, R. K., G. Arora and R. Sharma. 2007. Aerodynamic properties of sun flower seeds. Journal of Food Engineering Research. 79: 899-904.
- Mahdizade, R. 2001. Design and development of a wind tunnel for detecting aerodynamic properties of some agricultural seeds. Unpublished MSc Thesis, Department of Mechanics of Agricultural Machinery, Tarbiat Modarres University. Iran. (In Farsi).
- Mehri, A. and M. Kahani. 2003. Design suggestions for a machine to separate stigma from petals of saffron. Proceeding of the 3<sup>rd</sup> National Conference on Saffron. Iran. (In Farsi).
- Mohsenin, N. 1970. Physical properties of plant and animal materials, Dept. of Agricultural Engineering, Pennsylvania State University press; USA.
- Sama, J. K., B. L. Raina, and A. K. Bhatia. 2000. Design and development of saffron (*crocus Sativus L.*) processing equipment. Journal of Food Science and Technology, 37 (4): 357-362.
- Shamsi, M., M. Mazloomzadeh, J. Asghari, and A. Mohamadian. 2007. using air blowers to separate stigma from saffron flowers. the 3<sup>rd</sup> national student conference on agricultural machinery and mechanization. Shiraz University, Iran. (In Farsi).
- Tabak, S., and D. Wolf. 1998. Aerodynamic properties of cotton seed. Journal of Agricultural Engineering Research, 70: 257-265.
- Wang, L. X. 1997. A course in fuzzy systems and control. Prentice Hall PTR, Upper Saddle River, N.J. USA.
- Zewdu, A. D. 2007. Aerodynamic properties of tef grain and straw material, Biosystems Engineering, 98(3): 304-309.
- Zimmerman, H. J. 1997. Fuzzy Set Theory. Kuller Academic Publisher, UK.

## یادداشت تحقیقاتی

# انتخاب مدل ریاضی مناسب برای خشک کردن ورقه‌های گوجه فرنگی در خشک کن خورشیدی

هادی باقری<sup>۱\*</sup>- اکبر عرب حسینی<sup>۲</sup>- محمدحسین کیانمهر<sup>۳</sup>

تاریخ دریافت: ۹۰/۶/۱۹

تاریخ پذیرش: ۹۱/۱/۲۸

## چکیده

در این تحقیق مناسب ترین مدل ریاضی خشک کردن ورقه‌های گوجه فرنگی، در یک خشک‌کن خورشیدی، انتخاب شد. آزمایش‌های خشک کردن بر روی ورقه گوجه فرنگی در سه سطح ضخامت ۳mm و ۵mm و ۷mm و در دو سطح سرعت هوای  $0.5 \text{ m s}^{-1}$  و  $1 \text{ m s}^{-1}$  انجام شد. به منظور پیدا کردن مناسب ترین مدل ریاضی خشک کردن، نتایج حاصل از آزمایش با ۹ مدل مختلف، تطبیق داده شد تا بهترین ضرایب در هر مدل بدست آید. نتایج حاصل از آزمایش با ۹ مدل متداول که برای خشک کردن محصولات کشاورزی کاربرد دارند، برآرش داده شد و ضرایب هر مدل بدست آمد. سرانجام مدل با  $RMSE = 0.002$  و  $R^2 = 0.9974$  به عنوان مناسب‌ترین مدل برگزیده شد.

**واژه‌های کلیدی:** خشک کردن، خشک کن خورشیدی، مدل ریاضی، ورقه گوجه فرنگی

## مقدمه

نسبتاً مفید است، ولی این روش نمی‌تواند از مواد غذایی در برابر حمله پرندگان، حشرات، خطر باران زدگی و کپک زدگی محافظت نماید. به علاوه این روش به فضا و زمان زیادی نیاز دارد و ممکن است میزان تلفات مواد غذایی خیلی بالا برود لذا این نحوه خشک کردن اقتصادی نمی‌باشد (Koyuncu *et al.*, 2007). یکی از انواع سبزیجات گوجه فرنگی<sup>۴</sup> می‌باشد. گوجه فرنگی یک گیاه لطیف گرم‌سیری است که بیشتر در قاره آمریکا رشد می‌کند. کاشت گوجه فرنگی در ایران، حدود ۱۵۰ سال سابقه دارد. گوجه فرنگی از جمله سبزیجاتی است که به دلایل فراوان کشت آن با صرفه است، زیرا این محصول در غذاهای مختلف مورد استفاده قرار می‌گیرد و در شرایطی که امکان استفاده از محصول تازه وجود نداشته باشد به صورت رب، کنسرو، گوجه خشک شده و حتی به صورت پودر استفاده می‌گردد (Ekechukwu and Norton, 1999) بنابر اطلاعات سازمان خواربار و کشاورزی جهانی<sup>۵</sup> میزان سطح زراعی زیر کشت گوجه فرنگی در جهان، در سال 2009 برابر  $4.4 \times 10^6 \text{ ha}$  بوده است که تولیدی برابر  $153 \times 10^6 \text{ Ton}$  در سال را به خود اختصاص

خشک کردن یکی از قدیمی‌ترین روش‌ها برای نگهداری محصولات کشاورزی و غذایی می‌باشد. با عمل خشک کردن آب آزاد یا آبی که از نظر بیولوژیکی فعال است و موجب رشد میکروارگانیسم‌ها و فعالیت آنزیم‌ها می‌شود، از ماده غذایی حذف شده و مدت نگهداری محصول بسیار طولانی تر می‌شود. به منظور خشک کردن محصولات کشاورزی روش‌های مختلفی مانند استفاده از حرارت، امواج الکترومغناطیس و سرد کردن سریع وجود دارد. اما از زمان‌های گذشته از تابش خورشید نیز برای خشک کردن محصولات کشاورزی استفاده شده است. اهمیت این موضوع، از یک طرف صرف‌جویی در مصرف سوخت و از طرف دیگر جلوگیری از تخریب محیط زیست می‌باشد. همین دلایل، طراحی سیستمی جهت خشک کردن مواد غذایی با استفاده از نور خورشید را اقتصادی و مهم جلوه می‌دهد. اگرچه خشک کردن مواد غذایی به صورت سنتی و در محوطه باز در معرض نور خورشید یک روش قدیمی و در مناطق روستایی

۱، ۲ و ۳- به ترتیب دانش آموخته کارشناس ارشد و دانشیاران گروه فنی کشاورزی، دانشگاه تهران، پردیس ابوریحان  
(Email: h\_b13179@yahoo.com)  
۴- نویسنده مسئول:

فرنگی مدل Page بدست آمد (Doymaz, 2007). اما در زمینه استفاده از مدل‌های سیستیک جهت خشک کردن ورقه‌های گوجه فرنگی در خشک کن خورشیدی اطلاعات بسیار کمی در دست است که ضرورت تحقیق حاضر را بیش از بیش ایجاب می‌نماید. با توجه به مطالب بیان شده از طریق خشک کردن محصولات کشاورزی می‌توان فعالیت میکروارگانیسم‌ها و تغییرات شیمیایی و فیزیکی آن را بطور قابل ملاحظه‌ای کاهش داد، به ماندگاری بیشتر و سهولت انبارداری و حمل و نقل آسان تر محصول کمک نمود، به عبارتی خشک کردن جایگزین مناسب به منظور بهبود در دسترس بودن محصول می‌باشد. جهت نیل به این هدف، باید سیستم خشک شدن، مدل سازی گردد تا بتوان روند خشک کردن را به طور صحیح پیش‌بینی نمود، تا از بیش خشک شدن محصولات کشاورزی که باعث کاهش کیفیت، تغییر رنگ، طعم و همچنین اتلاف زمان و انرژی می‌گردد، جلوگیری شود. اهداف انجام این تحقیق عبارتند از: ۱- بررسی روند خشک شدن ورقه‌های گوجه فرنگی توسط خشک کن خورشیدی ۲- مقایسه نتایج تجربی بدست آمده با مدل‌های تعریف شده برای سیستم‌های لایه نازک ۳- استفاده از نرم افزار مطلب و انجام روش‌های تجزیه و تحلیل آماری جهت انتخاب بهترین مدل روند خشک کردن ورقه‌های گوجه فرنگی ۴- پیشنهاد یک مدل ریاضی مناسب برای پیش‌بینی خصوصیات خشک کردن گوجه فرنگی با دقت بالا.

## مواد و روش‌ها

برای انجام آزمایشات یک خشک کن خورشیدی در گروه آموزشی فنی کشاورزی پردیس ابوریحان، دانشگاه تهران طراحی و ساخته شد (Bagheri *et al.*, 2010). دستگاه در محوطه باز زیر نور مستقیم خورشید به صورتی قرار داده شد تا زاویه جمع کننده با افق برابر باشد. برای انجام آزمایش، گوجه فرنگی به صورت تازه از بازار تهیه شد و ابتدا در آزمایشگاه کاملاً شسته شده، سطح آن توسط دستمال خشک شده و سپس در ضخامت ورقه‌های 3mm و 5mm و 7mm برشید شدند (Rajkumar *et al.*, 2007).

داده است، در حالیکه سطح زیر کشت در ایران در سال ۱۳۸۹ برابر  $1.64 \times 10^5 ha$  و میزان تولید محصول برابر  $5.9 \times 10^6 Ton$  بوده است (Anonymous, 2011). بطور کلی محققین زیادی در زمینه استفاده از مدل‌های سیستیک در خشک کردن محصولات کشاورزی نظری خشک کردن قارچ، فندق، سیب زمینی، فلفل سبز و لوبيا سبز، فلفل قرمز، برگ نعناء، زردآلو، آنبه، موز، cassava و پسته تحقیق نموده اند که در اکثر آنها مدل Page بعنوان مدل قابل قبول در زمینه خشک کردن محصولات کشاورزی معرفی شده است (Akpinar and Bicer, 2006; Midilli and Kucuk, 2003; Ozdemir and Devres, 1999; Yaldiz and Ertekin, 2001; Aghbashlo *et al.*, 2009; Koua *et al.*, 2009; Tunde-Akintunde, 2011; Saleh and Badran, 2009; Rafiee and Kashaninejad, 2008; همچنین (Doymaz, 2004; Akpinar, 2010) لایه‌های نازک هویج به ضخامت 0.5 cm را در چهار دمای  $50^{\circ}C$ ،  $60^{\circ}C$ ،  $65^{\circ}C$  و  $70^{\circ}C$  با سرعت هوای  $0.5 m s^{-1}$  تا  $1m s^{-1}$  به وسیله خشک کن آزمایشگاهی خشک کرد. مقایسه مدل‌ها در این تحقیق نشان داد که مدل Page نسبت به مدل Beltagy، ۲۰۰۵ (Doymaz, 2004) مناسب‌تر است (Pobis در سال ۲۰۰۷ در سال ۲۰۰۷، موقرنتاد و نیکزاد به مطالعه مقایسه دادهای حاصل از مدل‌های برآزش شده جهت خشک کردن گوجه فرنگی در خشک کن و داده‌های حاصل از طریق شبکه عصبی پرداختند. آن‌ها دریافتند که به ترتیب شبکه عصبی و مدل Page بهترین برآزش را بر داده‌های آزمایشگاهی دارند (Movaghernajad and Nikzad, 2007). در سال ۲۰۰۷ Doymaz به آزمایش در زمینه خشک کردن و مدل نمودن گوجه فرنگی در چهار دمای  $55^{\circ}C$ ،  $60^{\circ}C$ ،  $65^{\circ}C$  و  $70^{\circ}C$  در سرعت هوای  $1.5 m s^{-1}$  در خشک کن آزمایشگاهی پرداخت. در این تحقیق بهترین مدل جهت خشک کردن گوجه فرنگی با دقت بالا.

جدول علامت‌ها (Nomenclature)

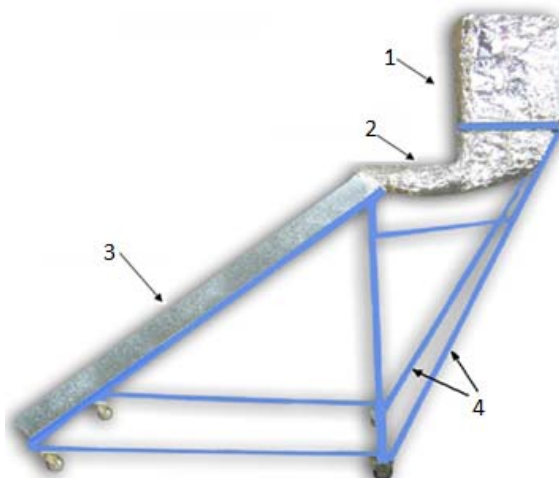
$\overline{MR}_{pre}$	میانگین مجموع نسبت‌های رطوبتی پیش‌بینی شده	$a, b, c, g, n$	ضرایب تجربی در مدل‌های خشک کن
$N$	تعداد مشاهدات	$k, k_0, k_1$	ثابت‌های تجربی در مدل‌های خشک کن
$P$	تعداد ثابت‌ها در مدل	$M$	محتوی رطوبت محصول (%)
$R^2$	ضریب همبستگی	$M_e$	رطوبت تعادلی محصول (%)
$RH$		$M_0$	رطوبت اولیه محصول (%)
$RMSE$	ریشه میانگین مربعات خطأ	$MR$	نسبت رطوبتی
$t$	زمان خشک شدن (min)	$MR_{pre,i}$	۱. امین نسبت رطوبتی پیش‌بینی شده
$T$	دماهی هوای خشک کننده ( $^{\circ}C$ )	$MR_{exp,i}$	۲. امین نسبت رطوبتی مشاهده شده
$\chi^2$	مربع کای	$\overline{MR}_{exp}$	میانگین مجموع نسبت‌های رطوبتی مشاهده شده

شکل ۱ نشان داده شده است. این دستگاه دارای قسمت‌های مختلف از جمله جمع‌کننده خورشیدی، محفظه اصلی خشک کن، کانال ارتباطی هوا، شاسی متحرک و همچنین فن الکتریکی می‌باشد. پس از محاسبه زمان برای خشک شدن ورقه نازک گوجه فرنگی تا نسبت رطوبت  $10\%$  برای شرایط مختلف خشک شدن، داده‌های به دست آمده بوسیله آزمایش فاکتوریل با دو فاکتور سرعت هوای خشک کردن در دو سطح  $0.5 \text{ m s}^{-1}$  و  $1 \text{ m s}^{-1}$  و ضخامت در سه سطح  $5 \text{ mm}$  و  $3 \text{ mm}$  و  $7 \text{ mm}$  بر اساس طرح کاملاً تصادفی تجزیه و تحلیل شد. برای ارزیابی سیستم خشک کن، بدست آوردن نرخ خشک شدن محصول ضروری است. اما گاهی اوقات انجام تمام آزمایشات برای همه محصولات اقتصادی نمی‌باشد. بنابراین استفاده از مدل‌ها به منظور شبیه سازی و جهت پیش‌بینی نرخ خشک شدن محصولات مختلف یک راه حل آسان و مفید است.

### تجزیه و تحلیل داده‌ها

نسبت رطوبتی مطابق رابطه (۱) (تعریف می‌شود (Shanmugam and Natarajan, 2005)، ولی با توجه به نوسانات مداوم در رطوبت نسبی هوای خشک کننده و با توجه به کوچک بودن مقدار  $M_e$  برای زمان‌های طولانی و صرف نظر از این پارامتر، از رابطه (۲) برای تعیین نسبت رطوبت استفاده شد (Aktaş et al., 2008; Doymaz, 2007).

در طول آزمایشات، میزان دما و رطوبت هوای محیط، دمای خروجی جمع‌کننده خورشیدی، دمای خروجی محفظه خشک کن و دمای صفحه جاذب، بطور جداگانه توسط ترموموپل (مدل K با دقت  $\pm 1^\circ\text{C}$ ) و رطوبت سنج‌های (مدل Tivan,.HT.3006 با دقت  $\pm 3\% RH$ ) نسبت شده در سیستم قرائت شد. برای قرائت دمای صفحه جاذب از دو ترموموپل نوع K، یکی در فاصله  $50\text{cm}$  از قسمت بالای جمع‌کننده و دیگری در فاصله  $50\text{cm}$  از پایین جمع‌کننده استفاده گردید. مقدار متوسط داده‌های برداشت شده توسط دو ترموموپل بعنوان دمای جمع‌کننده مورد استفاده قرار گرفت. برای قرائت میزان دمای ورودی و خروجی در محفظه اصلی خشک کن از ترموموپل هایی استفاده شد که دقیقاً یکی در قسمت ورودی محفظه خشک کن بعد از کانال انتقال هوا از جمع‌کننده به خشک کن و دیگری در قسمت خروجی محفظه خشک کن قبل از فن قرار داشتند. برای قرائت میزان تابش خورشیدی در هر ساعت، از دستگاه شیدنسنج (مدل PSP- EPPLY با دقت  $1 \text{ cal min cm}^{-2}$ ) استفاده شد که دستگاه مذکور در محیط باز و در راستای عمود بر راستای نور خورشید نصب شد. همچنین برای ثبت میزان دمای هوای محیط از دماسنجد جبوه‌ای و برای ثبت سرعت هوای محیط نیز از سرعت سنج (مدل Taivan,.AVM-07 با دقت  $\pm 3\% + 0.1 \text{ ms}^{-1}$ ) استفاده شد. آزمایشات بر روی ورقه‌های گوجه فرنگی در ضخامت ورقه‌های  $5 \text{ mm}$  و  $3 \text{ mm}$  و دو سرعت هوای  $0.5 \text{ m s}^{-1}$  و  $1 \text{ m s}^{-1}$  انجام شد و هر آزمایش سه بار تکرار شد. دستگاه خشک کن خورشیدی استفاده شده در این تحقیق در



شکل ۱- خشک کن خورشیدی مورد استفاده در این تحقیق: ۱- محفظه خشک کن ۲- کانال ارتباطی هوا ۳- جمع کننده خورشیدی ۴- شاسی

**Fig. 1.** Schematic of solar dryer in experimental: 1- Dryer chamber 2- Air channel 3- Collector 4- Chassi

(Akpinar *et al.*, 2003)

### نتایج و بحث

#### اثر سرعت و ضخامت روی زمان خشک شدن

نتایج به دست آمده از آزمایشات خشک شدن ورقه گوجه فرنگی با سرعت هوای  $0.5 \text{ m s}^{-1}$  و  $1 \text{ m s}^{-1}$  و ضخامت های  $3\text{mm}$ ,  $5\text{mm}$  و  $7\text{mm}$  در جدول ۱ نشان داده شده است. همانطور که جدول ۲ نشان داده شده است، اثر فاکتور ضخامت بر روی مدت زمان خشک شدن در سطح ۱ درصد معنی دار بوده و اثر فاکتور سرعت هوا معنی دار نمی‌باشد. میانگین زمان خشک شدن بر اساس ضخامت ورقه‌های گوجه فرنگی در محفظه خشک کن به وسیله آزمون چند دامنه‌ای دانکن مقایسه شد و نتایج در شکل ۲ آورده شده است. حروف غیر هم نام نشان دهنده تفاوت معنی دار در سطح یک درصد است. بر اساس شکل ۲، با کاهش ضخامت  $3\text{mm}$  تا  $7\text{mm}$  زمان خشک شدن به طور معنی دار افزایش می‌یابد. بیشترین زمان خشک شدن مربوط به ضخامت  $7\text{mm}$  و کمترین زمان مربوط به ضخامت  $3\text{mm}$  می‌باشد.

#### نتایج برآزش مدل‌ها

پس از بدست آوردن مقادیر نسبت رطوبت حاصل از داده‌های آزمایشی در سرعت‌های مختلف خشک کردن، ۹ مدل نشان داده شده در جدول ۲ روی منحنی‌های خشک شدن برآزش داده شدند. سپس با توجه به مقادیر ضریب همبستگی ( $R^2$ ), مربع کای ( $\chi^2$ ) و ریشه میانگین مربعات خطأ ( $RMSE$ ) مدل‌های مختلف خشک شدن لایه نازک ارزیابی شدند. نتایج حاصل از برآزش داده‌های آزمایشگاهی با مدل‌های ارائه شده نشان داد که تقریباً همه مدل‌ها مناسب‌بند اما دو مدل *Page* و *Tow-term*, فرآیند خشک شدن ورقه‌های گوجه فرنگی را با دقت بیشتری نسبت به سایر مدل‌ها پیش‌بینی می‌کنند. با توجه به اینکه مدل *Tow-term* نسبت به مدل پیچ دارای ضرایب بیشتری است، مدل *Page* بعنوان مناسب‌بیشین مدل انتخاب شد. ضرایب و ساختارهای آماری مربوط به این مدل‌ها در جداول ۳ الی ۵ آورده شده است.

با توجه به نتایج موجود در جداول ۳ تا ۵ برای خشک شدن ورقه‌های گوجه فرنگی در ضخامت‌های  $3\text{mm}$ ,  $5\text{mm}$  و  $7\text{mm}$  در هر دو سطح سرعت جریان هوا، از میان مدل‌های بکار رفته در این تحقیق، مدل *Page* خشک شدن ورقه‌های گوجه فرنگی را با دقت بیشتری پیش‌بینی کرد.

در سرعت  $1 \text{ m s}^{-1}$  برای ضخامت  $3\text{mm}$  مقدار ضریب همبستگی در مدل *Page* ۰.۹۹۵ و میانگین  $RMSE$  و  $\chi^2$  به ترتیب برابر ۰.۰۰۰۶۲۶۱ و ۰.۰۰۸۸۴۶

$$MR = (M - M_e) / (M_o - M_e) \quad (1)$$

$$MR = M / M_o \quad (2)$$

برای مدل سازی خشک شدن لایه نازک گوجه فرنگی از نسبت رطوبت در طی خشک شدن نمونه‌ها استفاده شد. نسبت رطوبت به دست آمده در طی آزمایش‌ها با ۹ مدل از مدل‌های استاندارد خشک شدن لایه نازک محصولات کشاورزی که در جدول ۱ نشان داده شده است، مقایسه گردید.

#### برآزش منحنی‌های خشک کردن

مدلهای مذکور بر اساس متغیر وابسته (نسبت رطوبت ورقه‌های گوجه فرنگی) و دو متغیر مستقل (زمان خشک شدن و ضخامت ورقه‌ها) بر داده‌های آزمایشگاهی برآزش داده شدند. برای برآزش مدل‌های استاندارد خشک شدن لایه نازک با داده‌های آزمایشی، از محیط برآزش منحنی‌های<sup>۱</sup> نرم افزار MATLAB 2007 استفاده شد. برای تعیین بهترین مدل از سه عیار ضریب همبستگی<sup>۲</sup> ( $R^2$ ), مربع کای<sup>۳</sup> ( $\chi^2$ ) و ریشه میانگین مربعات خطأ<sup>۴</sup> ( $RMSE$ ) استفاده شد. این پارامترها از روابط<sup>۵</sup> (۳) الی (۵) بدست می‌آیند (Sasilic and Elicin, 2006).

$$R^2 = 1 - \left[ \frac{\sum_{i=1}^N (MR_{per,i} - MR_{exp,i})^2}{\sum_{i=1}^N (MR_{per} - MR_{exp,i})^2} \right] \quad (3)$$

$$\chi^2 = \frac{\sum_{i=1}^P ((MR_{exp})_i - (MR_{pre})_i)^2}{P - z} \quad (4)$$

$$RMSE = \sqrt{\frac{1}{P} \sum_{i=1}^P ((MR_{pre})_i - (MR_{exp})_i)^2} \quad (5)$$

که در این معادلات  $p$  تعداد مشاهدات (داده‌ها) و  $z$  تعداد ثابت‌ها می‌باشند.

برای هر یک از دماهای خشک کن، معادلات جدول ۱ استخراج شده و متوسط شاخص‌های دقت برآزش در دماهای مختلف برای هر مدل بدست آمد و با یکدیگر مقایسه شده و مدل برتر انتخاب و برای مدل‌های ارائه شده ضرایب و ثابت‌ها به دست آمد و نمودار منحنی خشک شدن ورقه گوجه فرنگی نیز رسم شد. مدلی که  $R^2$  بالاتر،  $\chi^2$  و  $RMSE$ <sup>۵</sup> پاییتری را به خود اختصاص داده باشد، تغییرات نسبت رطوبت را در طی خشک شدن مناسب‌تر پیش‌بینی می‌کند

1- Curve fitting

2- Correlation coefficient

3- Chi-square

4- Root mean square error

و  $\chi^2$  به ترتیب برابر 0.00992 و 0.00108 بود. در ضخامت 7mm مقدار ضریب همبستگی در سرعت  $s^{-1}$  1m در مدل Page برابر 0.01264 و میانگین 0.9991 و میانگین  $RMSD$  و  $\chi^2$  به ترتیب برابر 0.01264 و 0.001917 بود و همچنین مقدار ضریب همبستگی در سرعت 0.5m  $s^{-1}$  برای مدل Page برابر 0.9974 و میانگین  $RMSD$  و میانگین  $\chi^2$  به ترتیب برابر 0.005529 و 0.02147 بود.

در سرعت 0.5m  $s^{-1}$  برای مدل Page برابر 0.9999 و میانگین  $RMSD$  و  $\chi^2$  به ترتیب برابر 0.01225 و 0.001201 بود. مقدار ضریب همبستگی در سرعت 5mm در مدل 1m برای ضخامت 5mm در مدل Page برابر 0.9989 و میانگین  $RMSD$  و  $\chi^2$  به ترتیب برابر 0.01351 و 0.00201 بود و همچنین مقدار ضریب همبستگی در سرعت 0.5m  $s^{-1}$  برای مدل Page برابر 0.9995 و میانگین  $RMSD$  و میانگین  $\chi^2$  به ترتیب برابر 0.005529 و 0.02147 بود.

### جدول ۱- معادلات ریاضی خشک کردن بکار رفته در خشک کن خورشیدی

**Table 1.** Mathematical models given for the solar drying curves

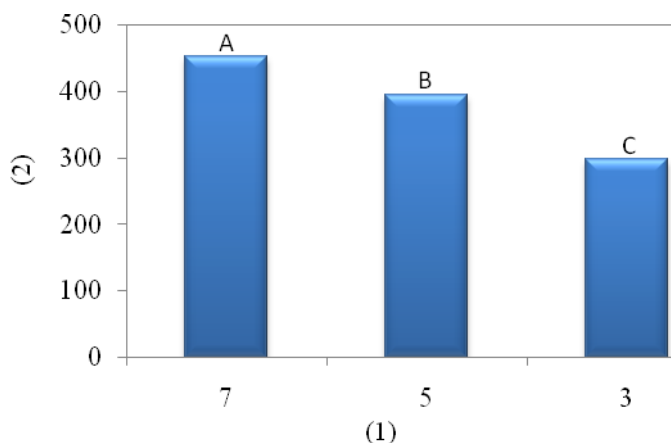
منبع	مدل	نام مدل	ردیف
(Aghbashlo et al., 2009)	$MR = \exp(-kt)$	Newton	1
(Aghbashlo et al., 2009)	$MR = \exp(-kt^n)$	Page	2
(Aghbashlo et al., 2009)	$MR = a \exp(-kt)$	Henderson and Pobis	3
(Aghbashlo et al., 2009)	$MR = a \exp(-kt) + c$	Logarithmic	4
(Aghbashlo et al., 2009)	$MR = a \exp(-kt) + c \exp(-gt)$	Tow-term	5
(Hayaloglu, 2007)	$MR = \exp[(-kt)^n]$	Modified Page	6
(Hayaloglu, 2007)	$MR = a \exp(-kt) + (1-a) \exp(-kat)$	Two-term exponential	7
(Hayaloglu, 2007)	$MR = 1 + at + ct^2$	Wang and Singh	8
(Hayaloglu, 2007)	$MR = a \exp(-kt) + ct$	Midilli et al	9

### جدول ۲- نتایج واریانس متغیرها برای پارامتر زمان خشک شدن در محفظه خشک کن

**Table 2.** parameter variation results for drying time in the dryer chamber

مقدار	مقدار میانگین مربعات (M.S)	منابع تغییرات (sov)	درجه آزادی (df)	سرعت هوا × ضخامت
0.05 <sup>ns</sup>	34.7222		1	سرعت هوا
80.44 <sup>**</sup>	51616.6667		2	ضخامت
0.11 <sup>ns</sup>	72.2222		3	سرعت هوا × ضخامت
-	641.6667		12	خطا

وجود اختلاف معنی دار در سطح  $1\%$ ، عدم وجود اختلاف معنی دار در سطح احتمال  $5\%$  <sup>\*\*</sup>



شکل ۲- اثر ضخامت ورقه های گوجه فرنگی بر میانگین زمان خشک شدن:

۱- ضخامت (میلیمتر) ۲- میانگین زمان خشک شدن (دقیقه)

**Fig. 2.** Effect of thickness of tomato slice on the average drying time:  
1- Thickness (mm) 2-Average of drying time (min)

جدول ۳- نتایج حاصل از برآذش کردن مدل های Wang and Singh ,Two-term Modified Page ,Henderson and Pobis ,Newton برای ورقه گوجه فرنگی با ضخامت 3mm

Tow-term exponential و Logarithmic ,Page ,Midilli et al

**Table 3.** Statistical results of 9 thin layer drying models at different drying conditions with 3 mm thickness

<i>n</i>	<i>g</i>	<i>c</i>	<i>a</i>	<i>k</i>	$\chi^2$	RMSE	<i>R</i> <sup>2</sup>	مدل	سرعت هوا
-	-	-	-	0.01671	0.01812	0.04487	0.987	Newton	
-	-	-	1.054	0.01787	0.01287	0.04011	0.9900	Henderson and Pobis	
1.314	-	-	-	0.00480	0.00063	0.00885	0.9995	Page	
-	-	0.042	1.088	0.01663	0.00959	0.03701	0.9910	Logarithmic	
-	0.0302	5.195	-4.172	0.35710	0.00064	0.01032	0.9991	Tow-term	1m s <sup>-1</sup>
1.402	-	-	-	0.00492	0.00065	0.00905	0.9904	Modified Page	
-	-	-	4.547	0.38090	0.00187	0.03909	0.9900	Two-term exponential	
-	-	0.152	2.410	-	0.01785	0.01425	0.9836	Wang and Singh	
1.759	-	0.054	2.025	0.00748	0.00074	0.04258	0.9899	Midilli et al	
-	-	-	-	0.01270	0.03149	0.05920	0.9770	Newton	
-	-	-	1.068	0.01390	0.02162	0.05200	0.9840	Henderson and Pobis	
1.41	-	-	-	0.00230	0.00120	0.01230	0.9990	Page	
-	-	0.094	1.145	0.01150	0.01230	0.04190	0.9910	Logarithmic	
-	0.0264	12.54	-11.6	0.02790	0.00186	0.01760	0.9980	Tow-term	0.5 m s <sup>-1</sup>
1.512	-	-	-	0.00330	0.00065	0.00179	0.9914	Modified Page	
-	-	-	11.20	0.03140	0.00187	0.02800	0.9930	Two-term exponential	
-	-	0.171	3.001	-	0.01785	0.01521	0.9801	Wang and Singh	
1.801	-	0.051	2.173	0.00728	0.00274	0.03058	0.9829	Midilli et al	

جدول ۴- نتایج حاصل از برآذش کردن مدل های Wang and Singh ,Two-term Modified Page ,Henderson and Pobis ,Newton برای ورقه گوجه فرنگی با ضخامت 5mm

Tow-term exponential و Logarithmic ,Page ,Midilli et al

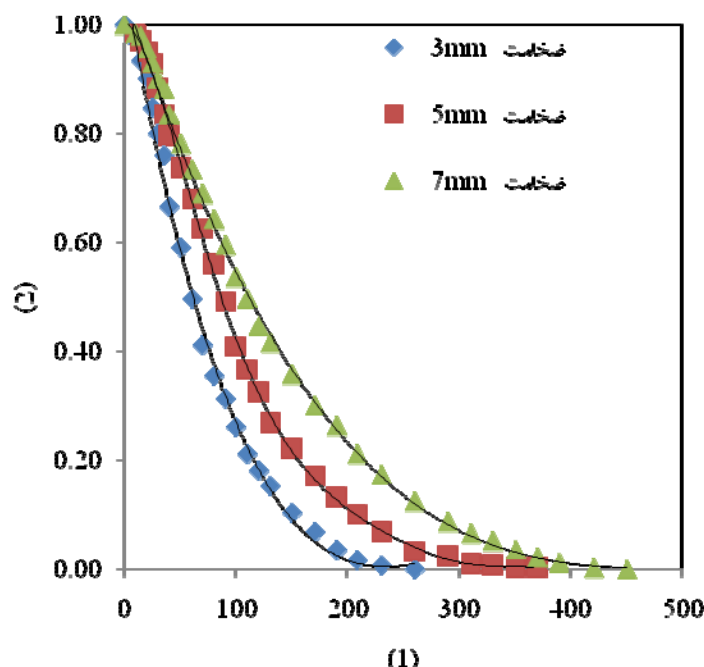
**Table 4.** Statistical results of 9 thin layer drying models at different drying conditions with 5 mm thickness

<i>n</i>	<i>g</i>	<i>c</i>	<i>a</i>	<i>k</i>	$\chi^2$	RMSE	<i>R</i> <sup>2</sup>	مدل	سرعت هوا
-	-	-	-	0.01003	0.02429	0.04499	0.9872	Newton	
-	-	-	1.054	0.01077	0.01710	0.03943	0.9910	Henderson and Pobis	
1.304	-	-	-	0.00258	0.00201	0.01351	0.9999	Page	
-	-	-0.051	1.093	0.00955	0.00097	0.00307	0.9994	Logarithmic	
-	0.01862	6.494	-5.50	0.02122	0.01399	0.00176	0.9991	Tow-term	1m s <sup>-1</sup>
1.112	-	-	-	0.00322	0.00315	0.01905	0.9991	Modified Page	
-	-	-	4.219	0.03109	0.01187	0.00391	0.9911	Two-term exponential	
-	-	0.242	2.201	-	0.01501	0.02405	0.9899	Wang and Singh	
1.852	-	0.049	2.321	0.0174	0.01371	0.04351	0.9889	Midilli et al	
-	-	-	-	0.00835	0.04239	0.05944	0.9788	Newton	
-	-	-	1.077	0.00921	0.02603	0.04864	0.9870	Henderson and Pobis	
1.399	-	-	-	0.00129	0.00108	0.00992	0.9995	Page	
-	-	-0.094	1.151	0.00747	0.01271	0.03565	0.9936	Logarithmic	
-	0.01645	7.433	-6.43	0.01865	0.00165	0.01354	0.9992	Tow-term	0.5 m s <sup>-1</sup>
1.714	-	-	-	0.00393	0.00185	0.00279	0.9991	Modified Page	
-	-	-	10.98	0.01314	0.00188	0.01809	0.9970	Two-term exponential	
-	-	0.169	3.201	-	0.02180	0.01624	0.9882	Wang and Singh	
1.512	-	0.062	2.071	0.04718	0.03174	0.04258	0.9899	Midilli et al	

جدول ۵- نتایج حاصل از برآذش کردن مدل های Wang and Singh ,Two-term Modified Page ,Henderson and Pobis ,Newton ۷mm برای ورقه گوجه فرنگی با ضخامت Tow-term exponential , Logarithmic ,Page ,Midilli et al

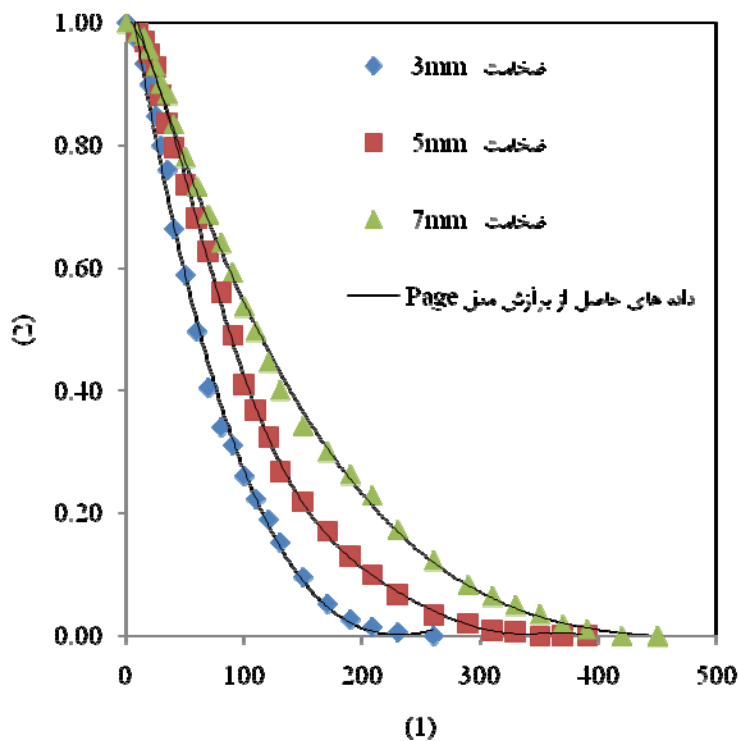
Table 5. Statistical results of 9 thin layer drying models at different drying conditions with 7 mm thickness

<i>n</i>	<i>g</i>	<i>c</i>	<i>a</i>	<i>k</i>	$\chi^2$	RMSE	<i>R</i> <sup>2</sup>	مدل	سرعت هوای
-	-	-	-	0.00757	0.03002	0.04805	0.9857	Newton	
-	-	-	1.06	0.00817	0.01934	0.04014	0.9900	Henderson and Pobis	
1.289	-	-	-	0.00187	0.00192	0.01264	0.9991	Page	
-	-	-0.096	1.134	0.00625	0.00585	0.02306	0.9972	Logarithmic	
-	0.01367	7.899	-6.89	0.01512	0.00225	0.01501	0.9989	Tow-term	1 m s <sup>-1</sup>
1.214	-	-	-	0.00402	0.00305	0.01901	0.9991	Modified Page	
-	-	-	4.249	0.04001	0.00307	0.01391	0.9981	Two-term exponential	
-	-	0.342	3.001	-	0.02501	0.02501	0.9889	Wang and Singh	
1.383	-	0.054	2.331	0.0272	0.02331	0.04261	0.9901	Midilli et al	
-	-	-	-	0.00678	0.05972	0.04636	0.9782	Newton	
-	-	-	1.067	0.00736	0.03211	0.05173	0.9849	Henderson and Pobis	
1.349	-	-	-	0.00118	0.00553	0.02147	0.9974	Page	
-	-	-0.163	1.199	0.00522	0.00796	0.02691	0.9963	Logarithmic	
-	0.01645	7.433	-6.43	0.01865	0.00165	0.01354	0.9992	Tow-term	0.5 m s <sup>-1</sup>
1.624	-	-	-	0.00439	0.00185	0.02279	0.9969	Modified Page	
-	-	-	11.01	0.01712	0.00598	0.02009	0.9911	Two-term exponential	
-	-	0.157	3.302	-	0.02230	0.01824	0.9892	Wang and Singh	
1.313	-	0.052	2.172	0.04610	0.04004	0.04450	0.9888	Midilli et al	



شکل ۳- نسبت رطوبت و منحنی حاصل از برآذش مدل Page برای خشک کردن ورقه های گوجه فرنگی در ضخامت های 3mm ,5mm و 7mm در سرعت هوای 1 :  $m s^{-1}$  ۱- زمان (دقیقه) ۲- نسبت رطوبت (بدون بعد)

Fig. 3. Moisture ratio and the fitted curves to Page model for drying of tomato slices with thicknesses of 3, 5 and 7 mm and air velocity of  $1 m s^{-1}$ : 1- Drying time (min) 2- Moisture ratio (decimal)



شکل ۴- نسبت رطوبت و منحنی حاصل از برآذش مدل Page برای خشک کردن ورقه های گوجه فرنگی در ضخامت های 3mm و 5mm و 7mm در سرعت هوای  $0.5 \text{ m s}^{-1}$  - ۱- زمان (دقیقه) ۲- نسبت رطوبت (بدون بعد)

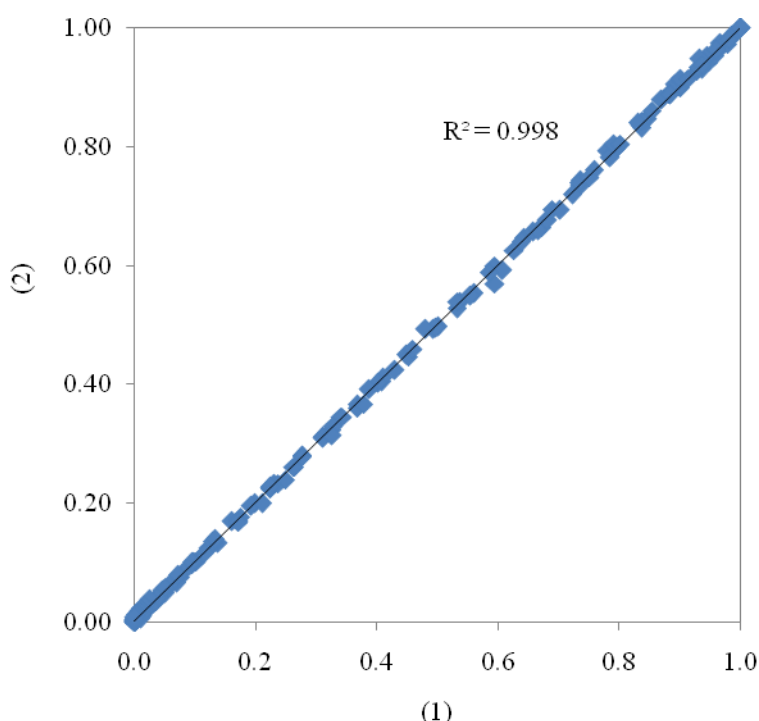
**Fig. 4.** Moisture ratio and the fitted curves to Page model for drying of tomato slices with thicknesses of 3, 5 and 7 mm and air velocity of  $0.5 \text{ m s}^{-1}$ : 1- Drying time (min) 2- Moisture ratio (decimal)

### نتیجه‌گیری کلی

به منظور تعیین نرخ خشک شدن لایه نازک گوجه فرنگی از یک دستگاه خشک کن خورشیدی استفاده شد. از طریق استفاده از این دستگاه گوجه فرنگی از حمله حشرات، پروندهایان، باران و گرد و غبار در آمان بود. نمونه گوجه فرنگی خشک شده رنگ قرمزتری نسبت به سایر روش‌های خشک کردن داشت. اثر سرعت هوای خشک کننده و ضخامت های متفاوت بر روی خشک شدن ورقه های نازک گوجه فرنگی مورد بررسی قرار گرفت. با توجه به برآذش داده‌های حاصل از آزمایشات با ۹ مدل خشک کردن استفاده شده در این تحقیق و مقادیر پارامتر های آماری، مدل Page به عنوان بهترین مدل انتخاب شد.

تحقیقین دیگر نیز به نتایجی مشابه دست یافته اند (Praditwong and Janjai, 1990; Akpinar *et al.*, 2003; Aghbashlo *et al.*, 2009; Koua *et al.*, 2009; Tunde-Akintunde, 2011; Saleh and Badran, 2009; Akpinar and Bicer, 2006; Midilli and Kucuk, 2003; Rafiee and Kashaninejad, 2008; Akpinar, 2010; Doymaz, 2007; Movagharnajad and Nikzad, 2007). با توجه به اینکه مدل Page بهترین مدل در بین مدل های ارائه شده است، این مدل می‌تواند برای بررسی و پیش‌بینی روند خشک شدن لایه نازک گوجه فرنگی مورد استفاده قرار گیرد. شکل‌های ۳ و ۴ نتایج حاصل از برآذش مدل Page بر روی منحنی خشک کردن ورقه های گوجه فرنگی در ضخامت های 3mm و 5mm و 7mm را در دو سرعت هوای  $0.5 \text{ m s}^{-1}$  و  $1 \text{ m s}^{-1}$  نشان می‌دهد.

شکل ۵ مقایسه داده‌های آزمایشگاهی نسبت رطوبت، در مقابل داده‌های پیش‌بینی شده با استفاده از مدل Page برای خشک شدن لایه نازک ورقه های گوجه فرنگی را نشان می‌دهد. داده ها در نزدیکی یک خط  $45^{\circ}$  قرار گرفتند که نشان می‌دهد مدل Page قدرت تخمین خوبی دارد.



شکل ۵- مقایسه نسبت‌های رطوبتی به دست آمده از آزمایش و مدل کردن: ۱- نتایج حاصل از آزمایش ۲- نتایج حاصل از برآش مدل

**Fig. 5.** Comparison of moisture ratios obtained from experiments and modeling:  
1- Experimental moisture ratio 2- Predicted moisture ratio

#### منابع

1. Aghbashlo, M., M. H. Kianmehr, and A. Arabhosseini. 2009. Modeling of thin-layer drying of potato slices in length of continuous band dryer. *Energy Conversion and Management* 50: 1348-1355.
2. Anonymous. 2011. Available from: [www.faostat.com](http://www.faostat.com).
3. Akpinar, E. K., A. Midilli, and Y. Bicer. 2003. Single layer drying behaviour of potato slices in a convective cyclone dryer and mathematical modeling. *Energy Conversion and Management* 44: 1689-1705.
4. Akpinar, E. K., and Y. Bicer. 2006. Mathematical Modeling and Experimental Study on Thin Layer Drying of Strawberry. *Food Engineering* 2: Art 5.
5. Akpinar, E. K. 2010. Drying of mint leaves in a solar dryer and under open sun: Modelling, performance analyses. *Energy Conversion and Management* 51: 2407-2418.
6. Aktaş, M., C. İlhan, and Y. Sezayi. 2008. Determination of drying characteristics of apples in a heat pump and solar dryer. *Desalination* 239: 266-275.
7. Bagheri, H., A. Arabhosseini, and M. H. Kianmehr. 2010. Design, Development and Evaluation of a Laboratory Solar Dryer. 6<sup>th</sup> national conference on agricultural machinery engineering and mechanization Conf., College of Agriculture and Natural Resources, Tehran University – Karaj,Iran. (In Farsi).
8. Beltagy, A., G. R. Gamea, and A. H. Amer Essa. 2005. Solar drying characteristics of strawberry. *Food Engineering* 78: 456-464.
9. Doymaz, I. 2004. Convective air drying characteristics of thin layer carrots. *Journal of Food Engineering* 61: 359–364.
10. Doymaz, I. 2007. Air-drying characteristics of tomatoes. *Food Engineering* 78: 1291–1297.
11. Ekechukwu, O. V., and B. Norton. 1999. Review of solar-energy drying systems II: an overview of solar

- drying technology. *Energy Conversion & Management* 40: 615-655.
12. Hayaloglu, A. A., I. Karabulut, M. Alpaslan, and G. Kelbaliyev. 2007. Mathematical modeling of drying characteristics of strained yoghurt in a convective type tray-dryer. *Food Engineering* 78: 109-117.
  13. Koua, K. B., W. F. Fassinou., P. Gbaha, and S. Toure. 2009. Mathematical modeling of the thin layer solar drying of banana, mango and cassava. *Energy* 34: 1594-1602.
  14. Koyuncu, T., Y. Pinar, and F. Lule. 2007. Convective drying characteristics of azarole red (*Crataegus monogyna* Jacq.) and yellow (*Crataegus aronia* Bosc.) fruits. *Food Engineering* 78: 1471-1475.
  15. Midilli, A., and H. Kucuk. 2003. Mathematical modeling of thin layer drying of pistachio by using solar energy. *Energy Conversion and Management* 44: 1111-1122.
  16. Movagharnejad, K., and M. Nikzad. 2007. Modeling of tomato drying using artificial neural network. *Computers and electronics in agriculture* 59: 78-85.
  17. Ozdemir, M., and Y.O. Devres. 1999. The thin layer drying characteristics of hazelnuts during roasting. *Food Engineering* 42: 225-233.
  18. Praditwong, P., and S. Janjai. 1990. Performance studies of a solar drying storage system for paddy in Sayigh AAM, ed. Proceedings of the 1st World Renewable Energy Congress. UK.23-28.
  19. Rafiee, S., and M. Kashaninejad. 2008. Thin Layer Drying of Corn. The 4<sup>th</sup> National Conference on Agricultural Machinery Engineering and Mechanization. Tabriz University - Tabriz, Iran. (In Farsi).
  20. Rajkumar, P., S. Kulanthaisami., G. S. V. Raghavan., Y. Garie'py, and V. Orsat. 2007. Drying Kinetics of Tomato Slices in Vacuum Assisted Solar and Open Sun Drying Methods *Drying Technology* 25: 1349-1357.
  21. Sacilic, K., and A. Elicin. 2006. Mathematical modeling of solar tunnel drying of thin layer organic tomato. *Food Engineering* 73: 231-238.
  22. Saleh, A., and I. Badran. 2009. Modeling and experimental studies on a domestic solar dryer. *Renewable Energy* 34: 2239-2245.
  23. Shanmugam, V., and E. Natarajan. 2005. Experimental investigation of forced convection and desiccant integrated solar dryer. *Renewable Energy* 31: 1239-1251.
  24. Tunde-Akintunde, T. Y. 2011. Mathematical modeling of sun and solar drying of chilli pepper. *Renewable Energy* 36: 2139-2145.
  25. Yaldiz, O., and C. Ertekin. 2001. Thin layer solar drying of some vegetables. *Drying Technology* 19: 583-596.

## Design, Fabrication and Testing of Exponential Horn for Measuring Ultrasonic Attributes of Agricultural Produce

R. Meamar Dastjerdi<sup>1</sup> - S. Minaee<sup>2\*</sup> - M. H. Khoshtaghaza<sup>3</sup>

Received: 09-11-2011

Accepted: 16-04-2012

### Abstract

Non-destructive ultrasonic testing is one of the methods utilized to evaluate quality of agricultural produce. Transducers used in this method are made for basically industrial applications. Since ultrasonic attenuation of waves in agricultural produce is very high, industrial transducers cannot be used in agriculture and needs to be modified. This is done with horns that concentrate energy on a small area at a certain distance from the transducer. In this paper, an exponential horn was designed, fabricated and tested using theoretical and computer-aided methods. Results showed that highly sophisticated horns can be designed using computer-aided method with a high accuracy. Analysis of the number of elements on the natural frequency of horn proved that the analysis was not precise at the low number of elements. Therefore, the number of elements should be increased when natural frequency of horn is almost fixed. The minimum number of elements was obtained to be 300. A comparison between theoretical and computer-aided methods showed a desirable performance of the computer-aided method with an error less than 1% without solving very complicated equations. Based on statistical analysis of the data, the effect of produce thickness (potato and carrot) on the velocity of ultrasonic waves in the horned probe was not significant. However, for the un-horned probe, velocity changed significantly with the sample thickness which is not desirable. Therefore, horned probe is more suitable for non-destructive ultrasonic tests than the un-horned probe.

**Keywords:** Non-destructive test, Computer design, Ultrasound, Exponential horn

1, 2, 3- Ph.D. Student and Associate Professors, Department of Agricultural Machinery Engineering, Tarbiat Modares University, respectively

(\* Corresponding Author Email: [minaee@modares.ac.ir](mailto:minaee@modares.ac.ir))

## Optimization and Analysis of a $\lambda$ -Formed Straight Line Linkage for Design of Reversible Disk Plow.

S. I. Saedi<sup>1\*</sup> - M. H. Aghkhani<sup>2</sup> - A. Farzad<sup>3</sup>

Received: 15-10-2010

Accepted: 13-03-2012

### Abstract

Disk plows are one of the most important tillage tools. Two way (reversible) disk plows can perform continues plowing. So they can save time and costs and hence improve overall efficiency. In this study, a “two-way” disk plow was designed based on a  $\lambda$ -formed straight-line, four-bar linkage (Daniel mechanism). This design contains disk and rear wheel reversing mechanism, stabilization mechanism of the plow, a disk angle adjustment tool and transport condition for safe operation of the mechanism. Disk reversing mechanism was designed based on a geometrical analysis considering working condition of the disk plow. The suitable displacement of the plow's frame was achieved by dimensional analysis of Daniel mechanism and a derived mathematical equation. The rear wheel mechanism was made by means of adding a slotted link to the previous four-bar linkage. The synthesized five-bar linkage was then analyzed for its kinematical and force conditions. For each analysis, related diagrams were plotted and discussed. This innovation has the advantages of low production cost and maintenance as well as easy operation, because of its design simplicity with minimum mechanical auxiliaries. The modeling and analysis was done by the aid of CATIA software.

**Keywords:** Mechanism optimization, Kinematical analysis, Force analysis, Two-way disk plow, Daniel mechanism

1- Instructor, Shahrood University of Technology

(\* Corresponding Author Email: [i\\_saedi@yahoo.com](mailto:i_saedi@yahoo.com))

2, 3 - Associate Professors, College of Agriculture, Ferdowsi University of Mashhad

## Effect of Frequency and Vibration Time on Shaker Performance for Mechanized Harvesting of Orange (Thomson cultivar)

H. Ghorbanpour<sup>1</sup> - M. H. Khoshtaghaza<sup>2\*</sup> - M. R. Mostofi Sarkari<sup>3</sup>

Received: 25-09-2011

Accepted: 16-04-2012

### Abstract

Manual citrus harvesting is commonly performing hard, expensive and time consuming. In this study, a factorial experiment with a completely randomized design in three replications was performed to find out the effect of frequency (three levels of 5, 7.5 and 10 Hz), vibration time (three levels of 10, 15 and 20 seconds) on harvesting capacity and losses of Thomson cultivar of orange. The results indicated that the effect of frequency and vibration time was significant ( $P \leq 0.01$ ) on the harvesting capacity and losses, but their interaction effects weren't significant. The harvesting capacity significantly increased by increasing frequency, and the highest harvesting capacity was 62.8 % at 10 Hz frequency. Although the harvesting capacity increased by increasing the vibration time, but there was no significant difference in vibration times between 15 and 20 seconds at 10 Hz frequency. Also the fruit loss was increased by increasing the vibration time. Due to these reasons, frequency of 10 Hz and vibration time of 15 seconds were selected as the most suitable condition for mechanized harvesting of this cultivar of orange. Finally a linear mathematical model was developed based on the frequency and vibration time for the harvesting capacity and fruit loss of Thomson cultivar of orange.

**Keywords:** Frequency, Thomson, Vibration time, Mathematical model, Harvesting, Damaged fruit

1, 2 - M.Sc. Student and Associate Professor, Department of Agricultural Machinery Engineering, Tarbiat Modares University, respectively

(\* Corresponding Author Email: khoshtag@modares.ac.ir)

3 - Assistant Prof., Karaj-Agricultural Engineering Research Institute, Karaj, Iran

## Optimum Adjustments of Cereal Combine Harvester Platform for Canola Harvesting by Using of a Simulated Platform

M. Soleimani<sup>1\*</sup> - M. Kasraei<sup>2</sup>

Received: 12-03-2011

Accepted: 10-06-2012

### Abstract

In recent decades, canola has been considered as the most important oilseed. Harvesting is the most major problem of canola cultivation, since canola pods are very sensitive to shocks and vibrations. Large amount of produce will fall on the ground especially when the combine's head is not adjusted properly. When canola harvested with a combine, the losses may reach up to 50%. The yields can be improved by decreasing seed losses during the harvesting operation. The objective of this study was to determine the optimal harvesting conditions of combine platform to minimize grain losses. In order to achieve this, a laboratory test stand platform was designed and built in the Department of Mechanics of Agricultural Machinery in Shiraz University. Three factors which are more effective on the losses were assessed to determine the best adjustments. These factors were combine forward speed at three levels; 1.5, 2 and 2.5 km h<sup>-1</sup>, cutter bar speed at three levels; 800, 1100 and 1400 cycles per minute and the relative linear speed of reel in respect of forward speed also at three levels; 1, 1.3 and 1.5. Desired experiment were accomplished on Talaiee variety at 16% m.c (d.b). The grain losses were measured at each level, with three replicates. By considering the interaction of factors, results showed that the effect of these factors at 5% level was significant, and the minimum loss occurred at 2 km h<sup>-1</sup> for forward speed, 1400 cut per minute for cutter bar speed and 1.5 for relative reel speed to forward speed.

**Keywords:** Harvesting, Combine head adjustment, Simulated platform, Grain loss, Canola

1, 2 - M.Sc. student and Assistant Professor, Department of Agricultural Machinery Engineering, Shiraz University  
(\* Corresponding Author Email: Soleimanmajid64@gmail.com)

## The Effect of Nozzle Types and Time of Herbicide Incorporation in Soil on Corn (*Zea mays L.*) Weed Control

K. Gerami<sup>1\*</sup> - M. Safari<sup>2</sup>

Received: 19-02-2011

Accepted: 16-04-2012

### Abstract

This experiment was conducted to study the effect of nozzle types and the time of herbicide incorporation in soil on weed control, using split plot design by randomized block design. The main plots were soil and herbicide mixing time and the subplots were nozzle types with three replications. This study was performed in Karaj station of Seed and Plant Improvement Institute, located 25 km west of Tehran, in 2008. Treatments were including: T-Jet standard nozzle, Flood-Jet nozzle and Air induction nozzle as well as mixing with the soil immediately, three, six and nine hours after spraying. The parameters were measured includes: the number of weeds before spraying, 15 days and 30 days after spraying; dry weed at two stages of 15 and 30 days after the spraying; and yield of corn. The results revealed that the spraying quality coefficient was greater for T-jet nozzle compared to the other types. However Flood-jet nozzle had a wide range of corn weeds control in comparison to other treatments. Regardless of the nozzle type, the immediate incorporation of herbicide in soil after spraying significantly increased the yield. The time of herbicide incorporation in soil and poison intermixture with soil, from zero to 4.5 hours after spraying was superior to the other times. This was mainly due to different weeds reactions to the times of herbicide incorporation in soil after spraying, and also treatments effect on yield and weed dry weight. Combined data analysis showed that treatment combination of T-Jet nozzle (with time of herbicide incorporation in soil immediately and three hours after spraying), Flood-jet nozzle (with time of herbicide incorporation in soil immediately after spraying) and air induction nozzle (with time of herbicide incorporation in soil immediately, three and six hours after spraying) produced the highest yield than the other treatment combinations.

**Keywords:** TS, FJ, AI nozzles, Corn spraying, Soil incorporation herbicide, Weed

1- Researcher, Agricultural Engineering Research Institute (AERI) Karaj

(\* Corresponding Author Email: Email: kg\_gerami@yahoo.com)

2 - Member of scientific board, Agricultural Engineering Research Institute (AERI) Karaj

## Separation of Saffron Stigma from Stamen and Petal in a Vertical Wind Tunnel and Evaluation by Fuzzy Logic

E. Alishahi<sup>1</sup> - M. Shamsi<sup>2\*</sup>

Received: 03-03-2011

Accepted: 16-04-2011

### Abstract

In this paper the separation of saffron stigma from stamen and petal in a vertical wind tunnel has been evaluated. A wind tunnel with adjustable speed of  $0.1 \text{ m s}^{-1}$  intervals has been developed and used for the experiments. Floating velocities of flower components (petal, stigma and stamen) were measured at one, eight, 38 and 60 hours after harvesting. Subsequently, the separation was tested by putting all flower components in the tunnel. The experimental results were also analyzed by fuzzy logic. The average floating velocities of stigma, stamen and petal at one hour after harvesting were measured as  $3.21$ ,  $2.20$  and  $1.41 \text{ m s}^{-1}$ , respectively. The results showed that because of the high difference among the floating velocities of flower components, it is possible to separate the components in a vertical wind tunnel. Experimental results analysis showed that at the best condition which was one hour after harvesting and wind speed of  $2.8 \text{ m s}^{-1}$  in the tunnel, the system leaves 81% of the stigmas in the tunnel and blows out of the tunnel 84% of stamens and 89% of petals. The results also showed that as much as the time passes over the harvested flowers, the separation efficiency decreases.

**Keywords:** Membership function, Fuzzy decision making, Floating velocity, Saffron processing, Stigma

1, 2 - M.Sc. student and Assistant Professor, Department of Agricultural Machinery Engineering, Shahid Bahonar University of Kerman

(\* \_ Corresponding Author Email: [mbkshamsi@gmail.com](mailto:mbkshamsi@gmail.com) )

## Brief Report

### Selection of a Relevant Mathematical Model for Drying of Tomato Slices Using Solar Dryer

H. Bagheri<sup>1\*</sup> - A. Arabhosseini<sup>2</sup> - M. H. Kianmehr<sup>3</sup>

Received: 10-09-2011

Accepted: 16-04-2012

#### Abstract

In this research, solar drying of a thin layer of tomato slices was evaluated. The experiments were carried out at the air velocities of 0.5 and 1.0 m s<sup>-1</sup> and thicknesses of 3, 5 and 7 mm. In order to find the most suitable form of thin layer drying model, nine different mathematical drying models were fitted to the experimental data to determine the pertinent coefficients of each model. The goodness of the fit was determined by calculating and comparing the values of the correlation coefficient ( $R^2$ ) Root mean square error ( $RMSE$ ) and chi-square ( $\chi^2$ ) for all models. The Page model with  $R^2 = 0.9974$ ,  $\chi^2 = 0.01351$ ,  $RMSE = 0.02$  showed the best fit.

**Keywords:** Drying, Solar dryer, Thin layer, Mathematical modeling, Tomato slice

---

1, 2, 3 - M.Sc. and Assistant Professors, Department of Agro-technology, College of Abouraihan, University of Tehran, respectively

(\* Corresponding Author Email: [h\\_b13179@yahoo.com](mailto:h_b13179@yahoo.com))